

Prof. Giorgio Sartor

# Motori molecolari

**IV – Movimento**  
*Miosina su actina*  
*Kinesina e Dineina su microtubuli*

Copyright © 2001-2019 by Giorgio Sartor.  
All rights reserved.

M09 - Versione 2.4.1 - 07/10/2019 15:25

1

Prof. Giorgio Sartor

# Motori molecolari

**IV – Movimento**  
*Miosina su actina*  
*Kinesina e Dineina su microtubuli*

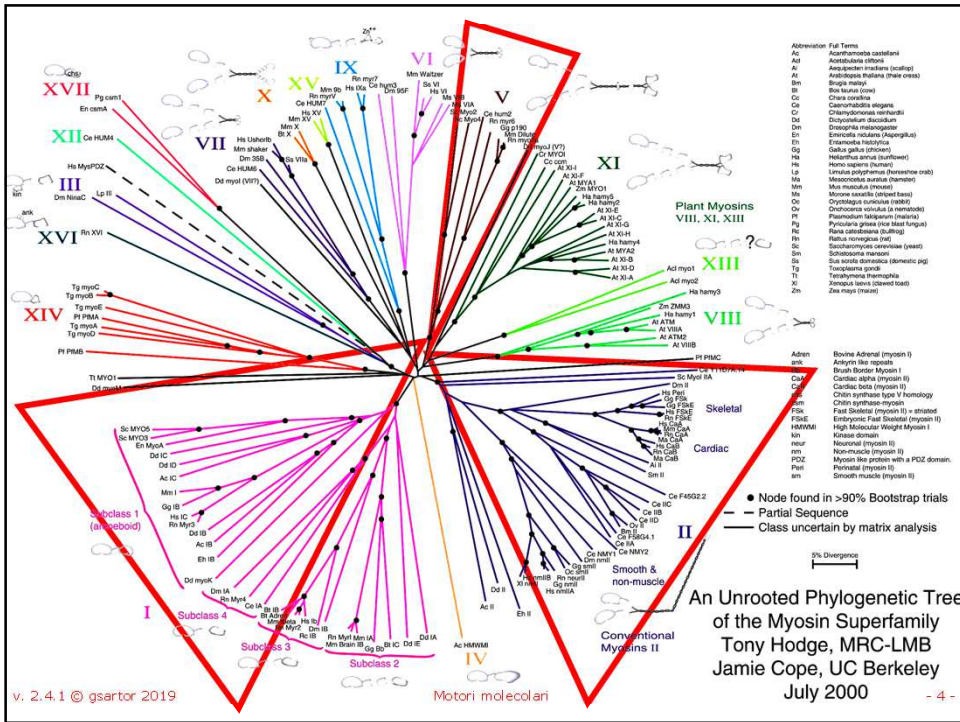
Copyright © 2001-2016 by Giorgio Sartor.  
All rights reserved.

M09 - Versione 2.1 - nov 2016

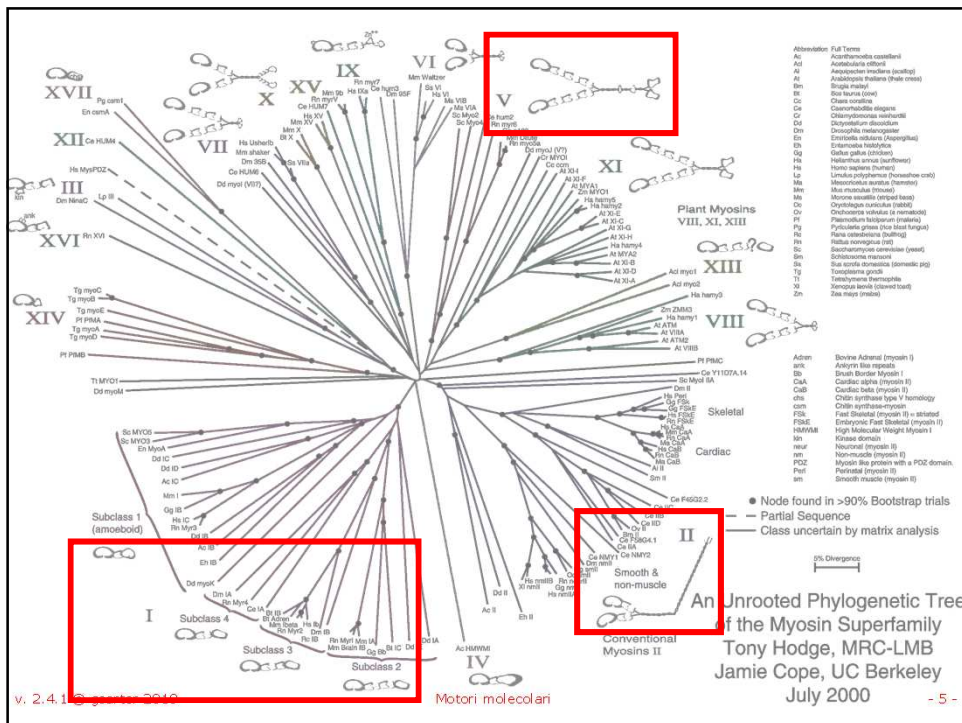
2



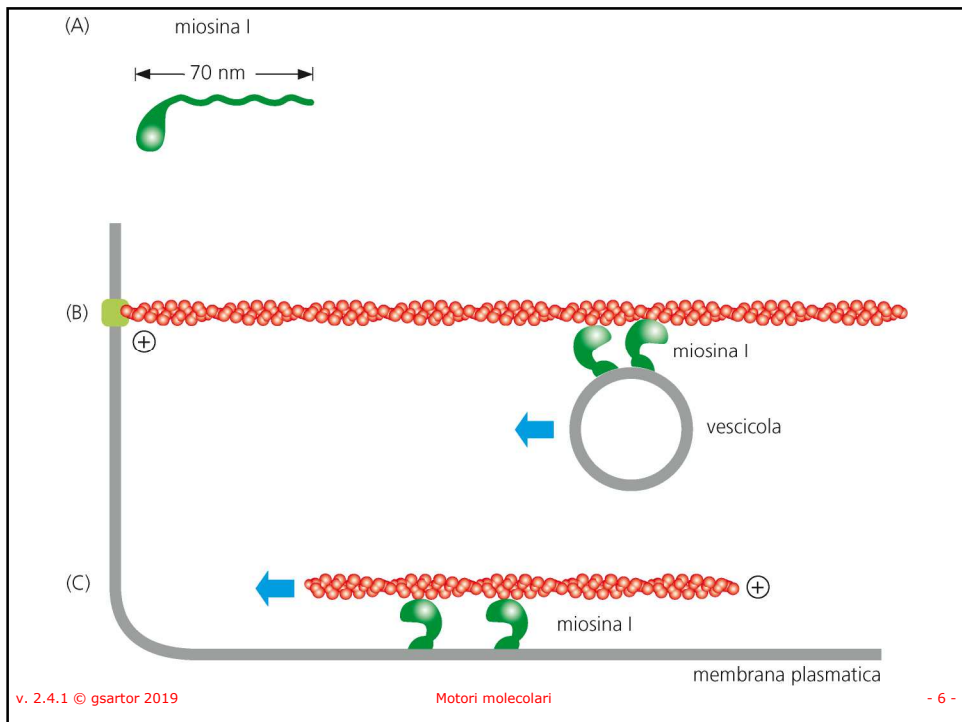
3



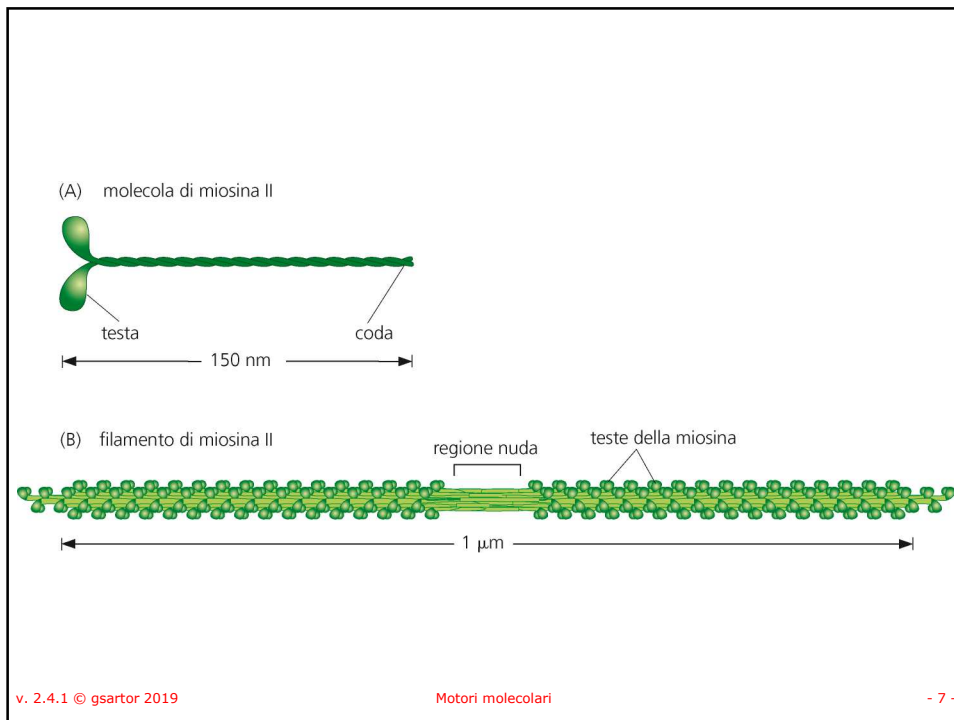
4



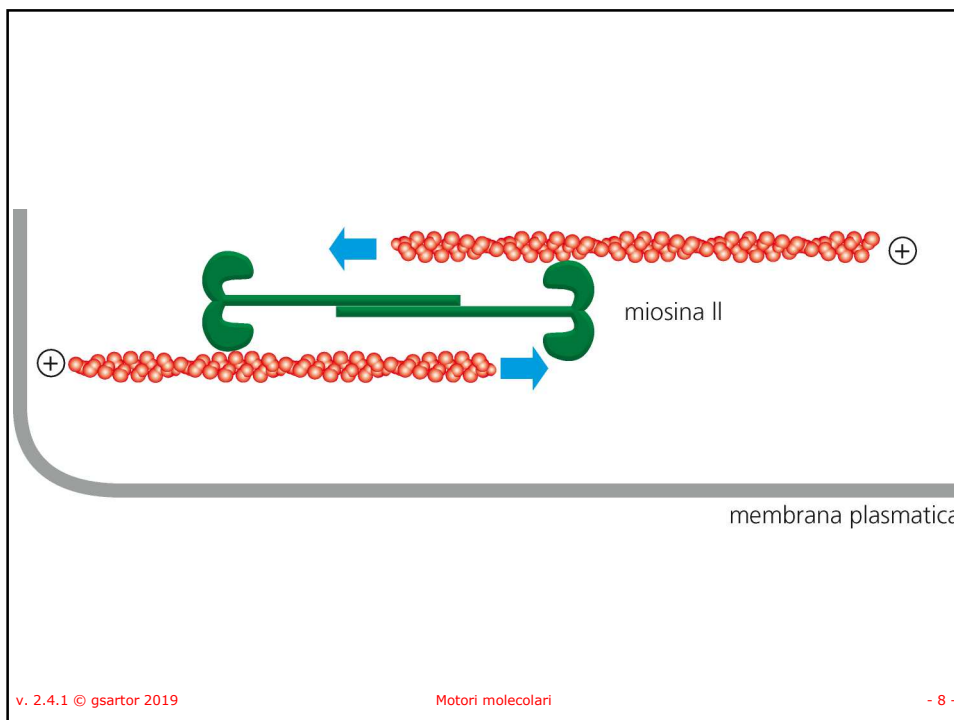
5



6

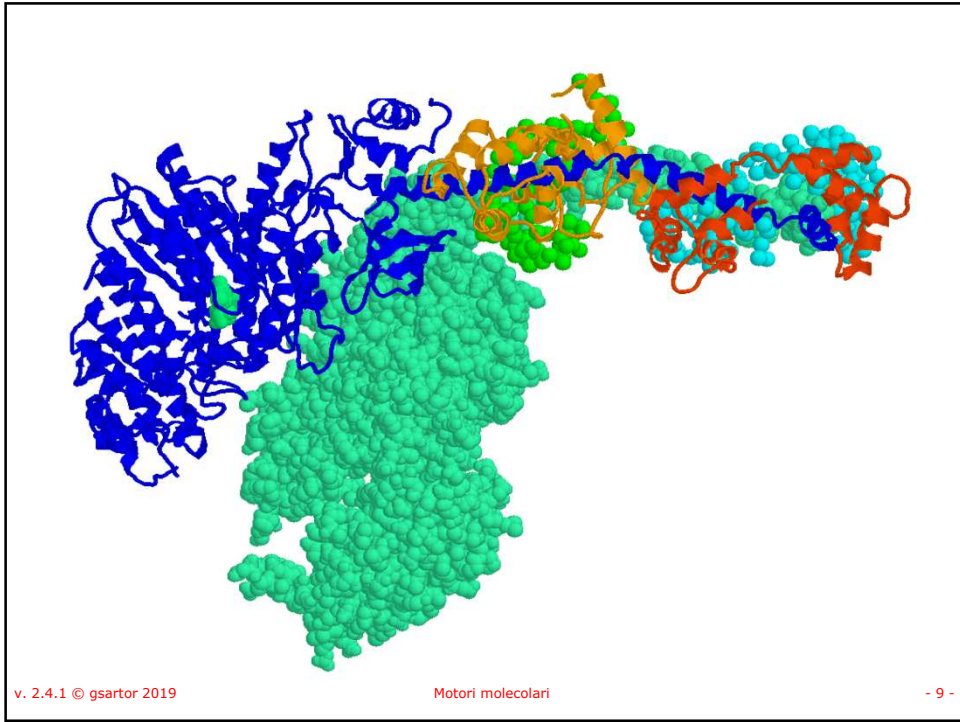


7

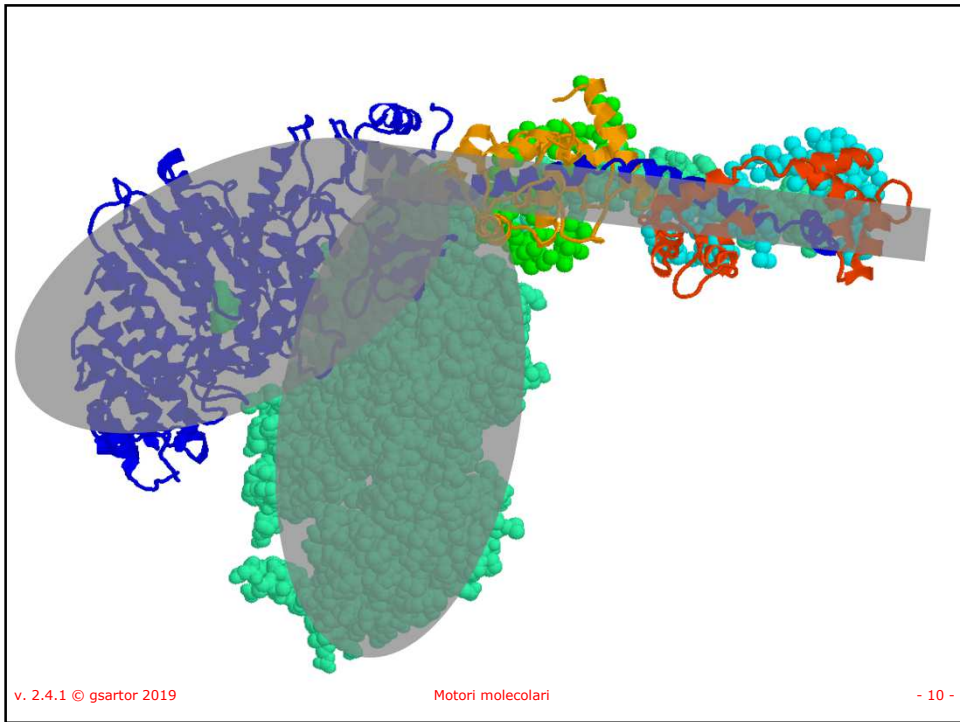


8

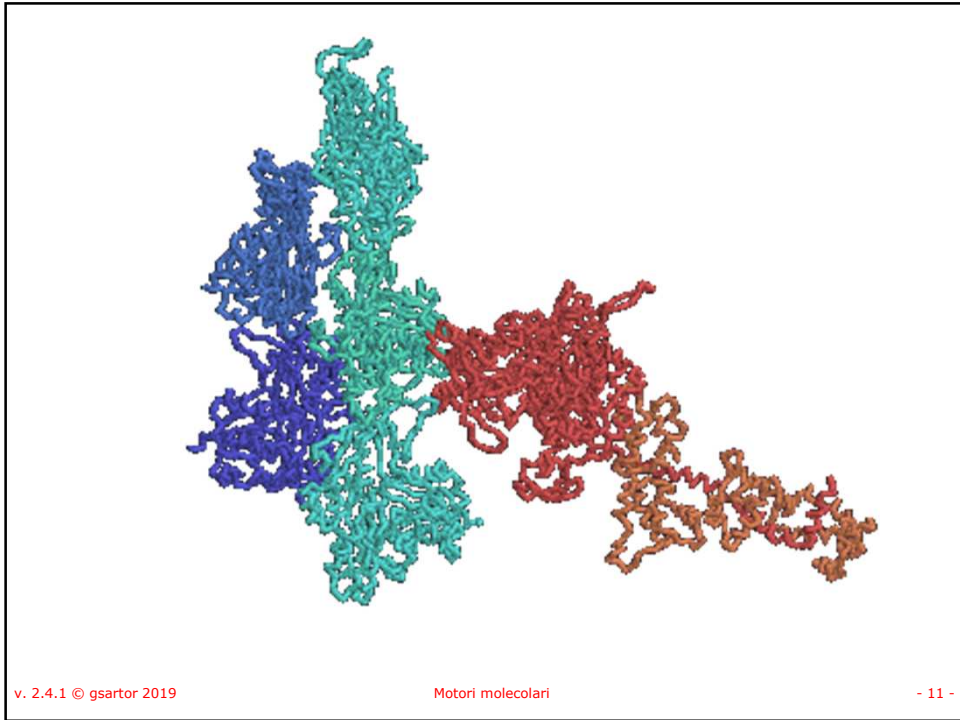




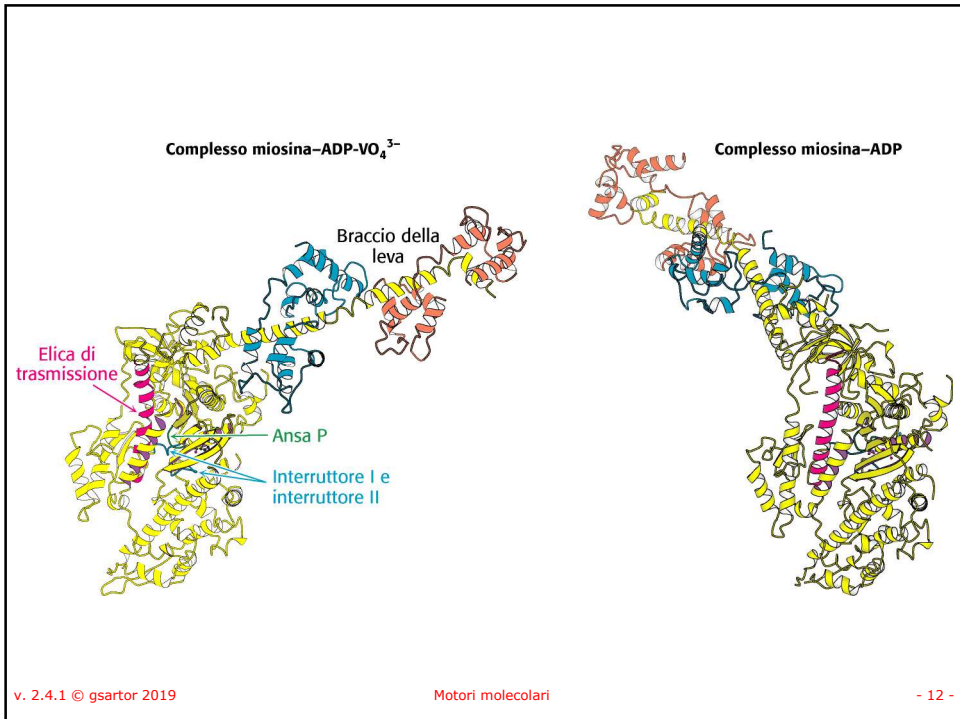
9



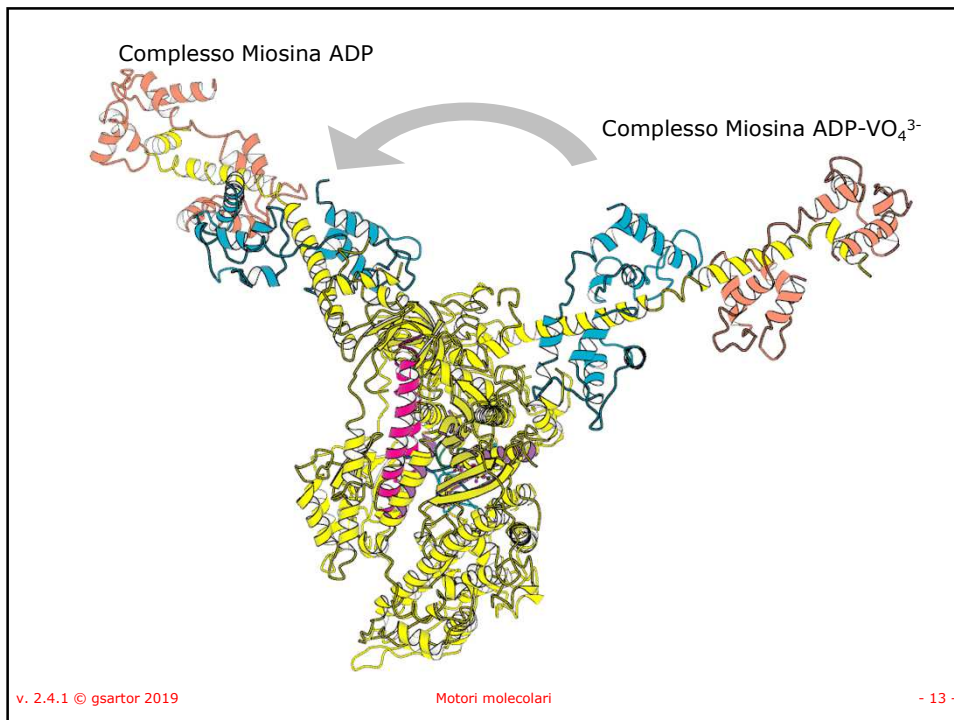
10



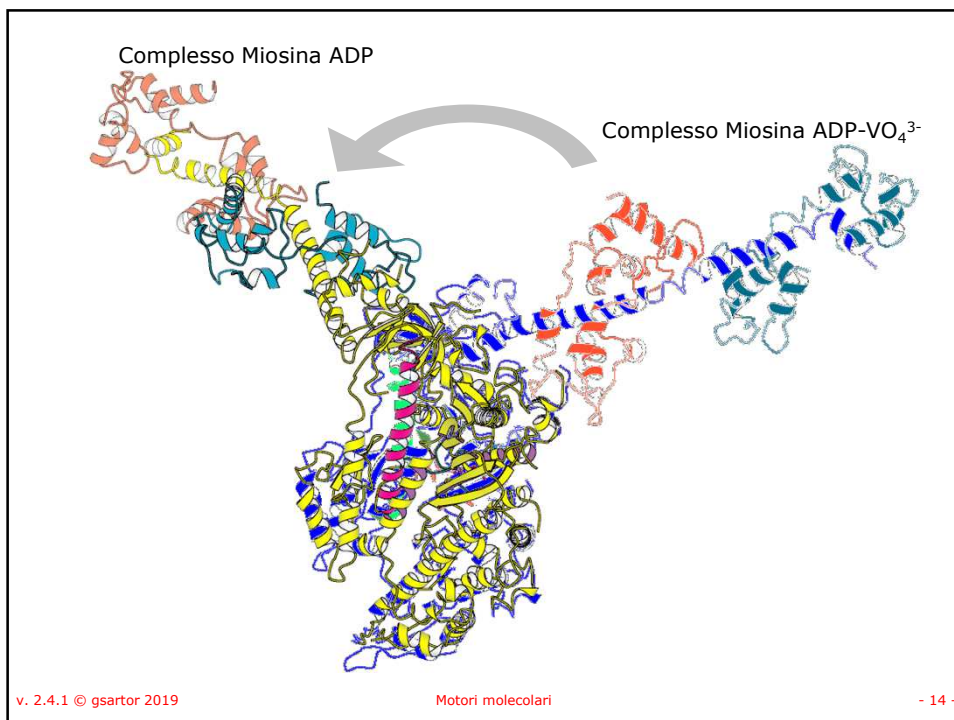
11



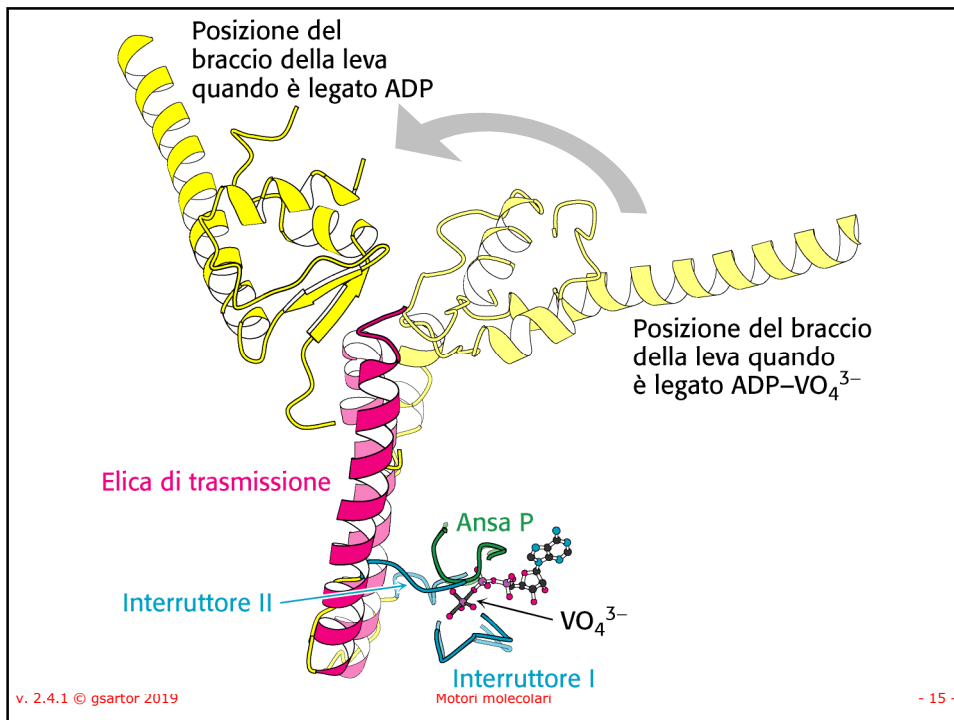
12



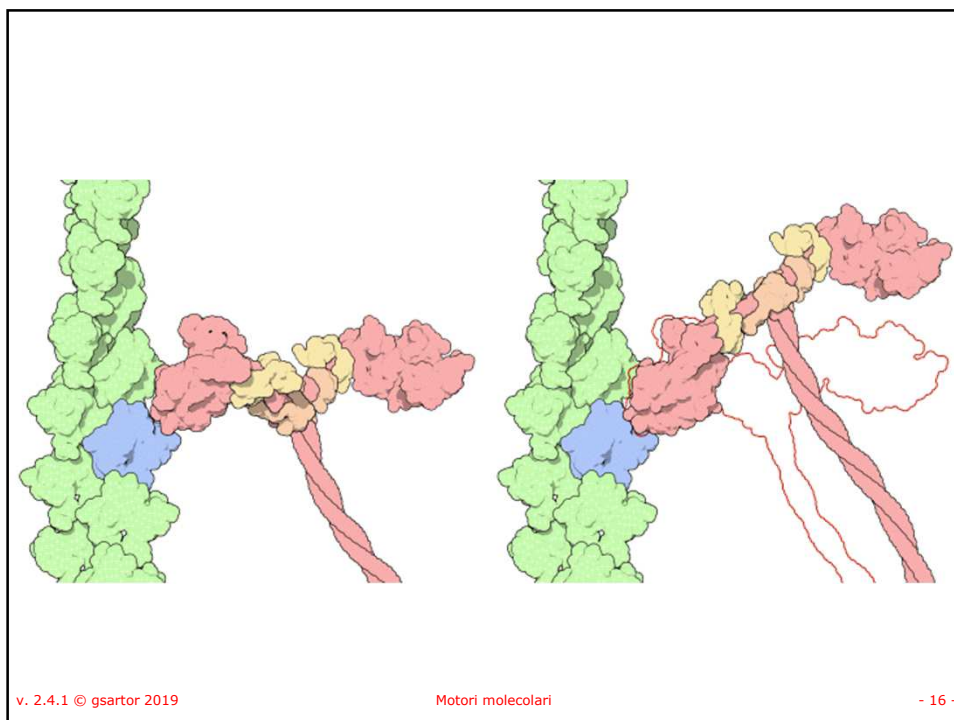
13



14

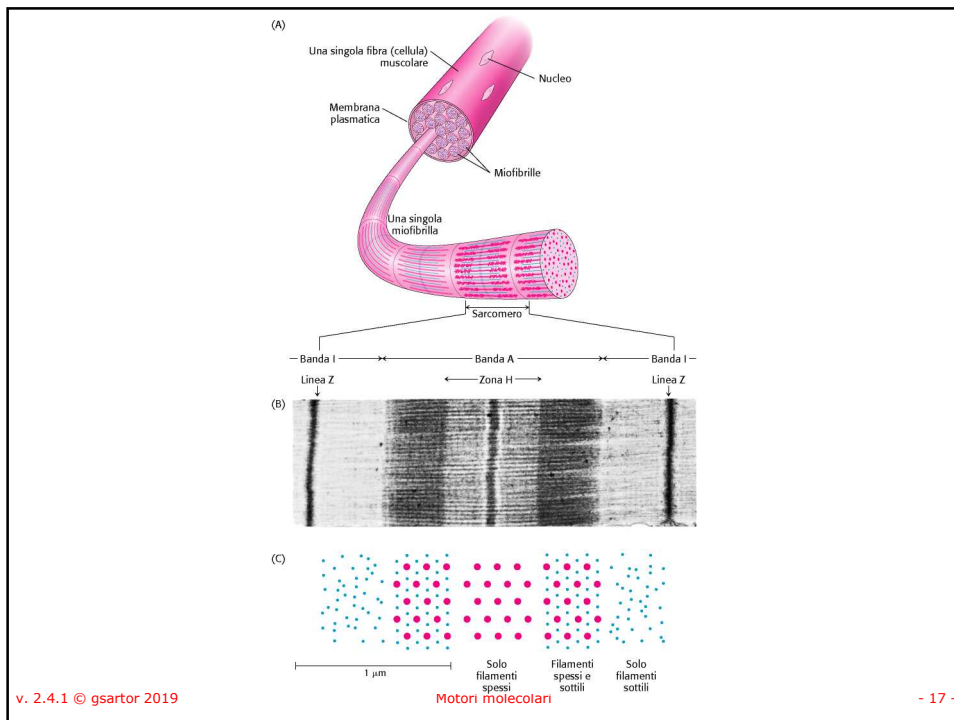


15

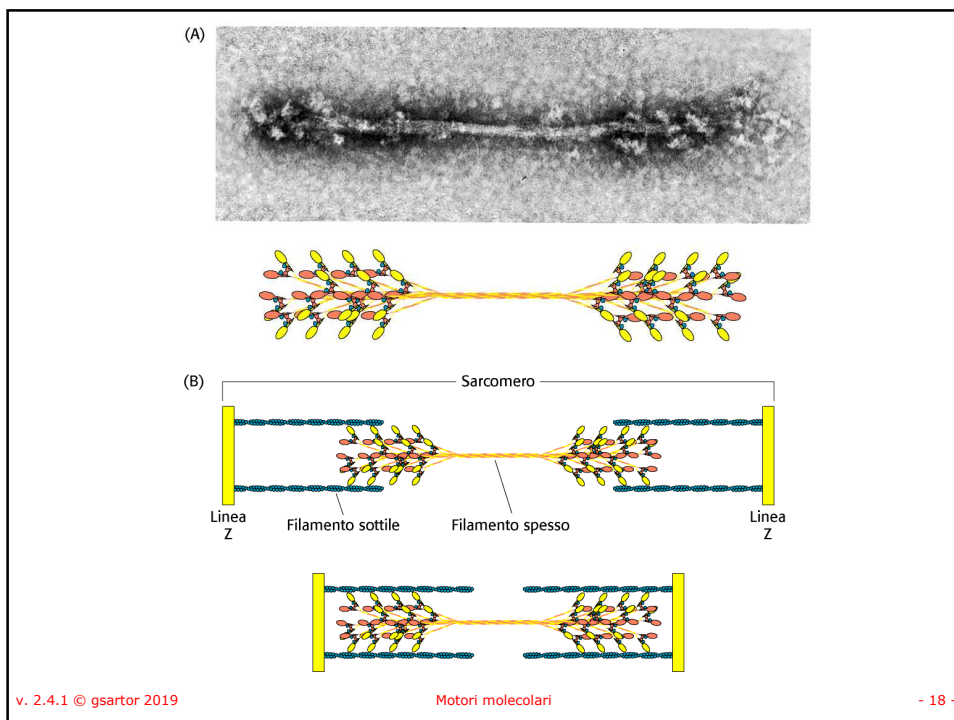


16

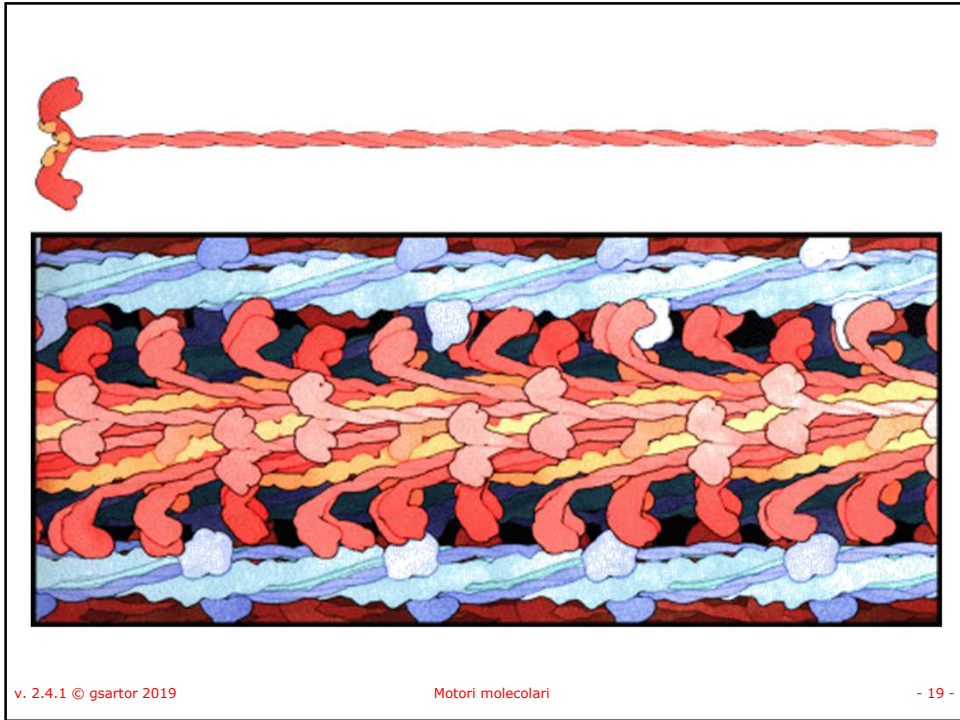




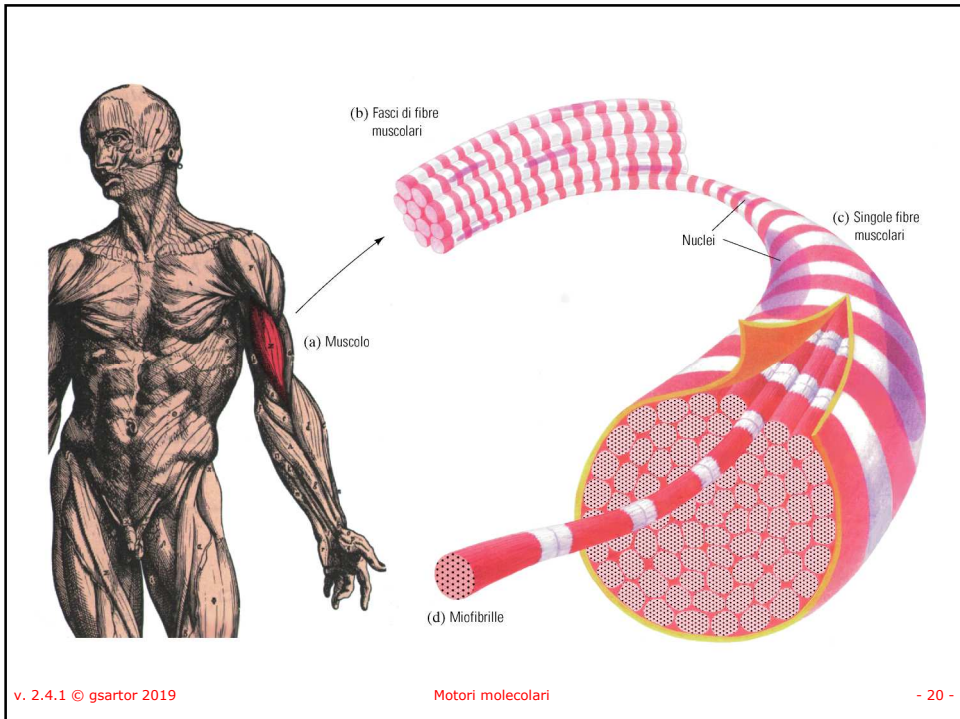
17



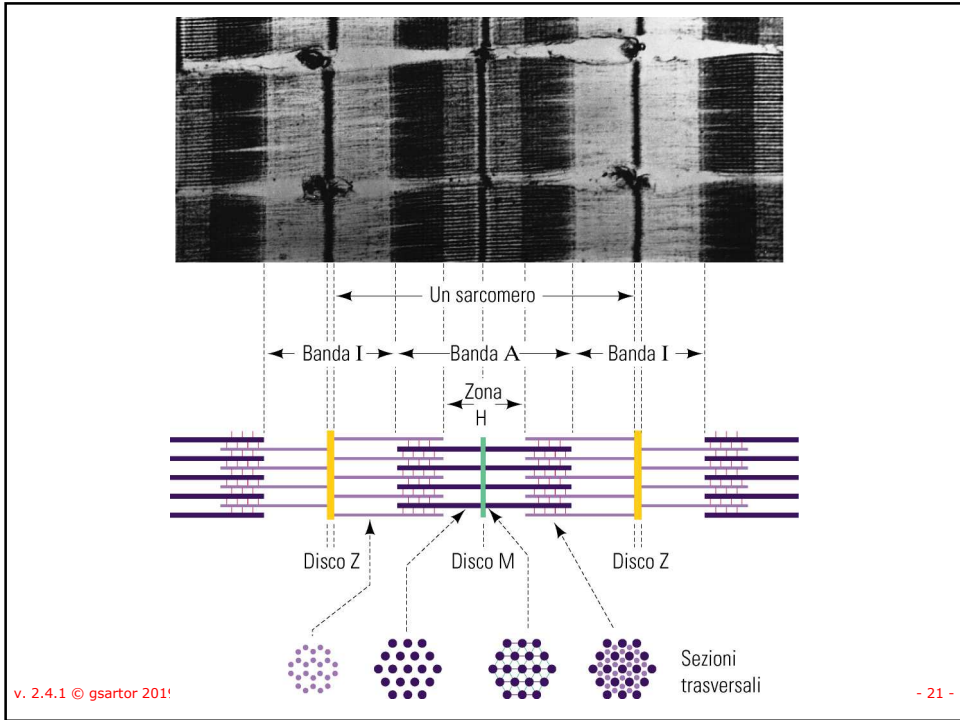
18



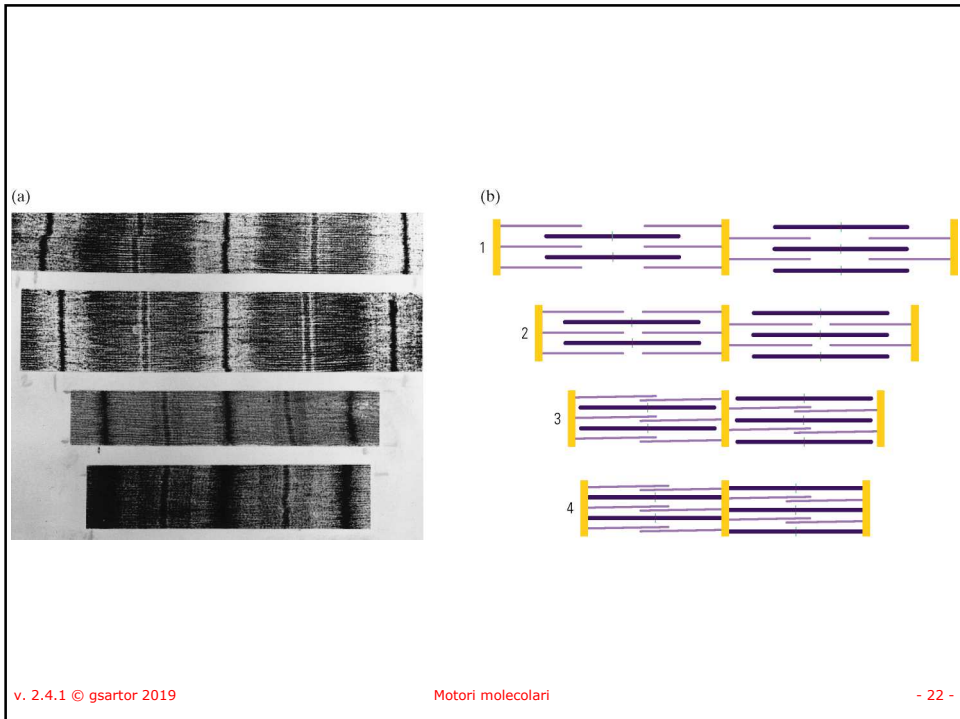
19



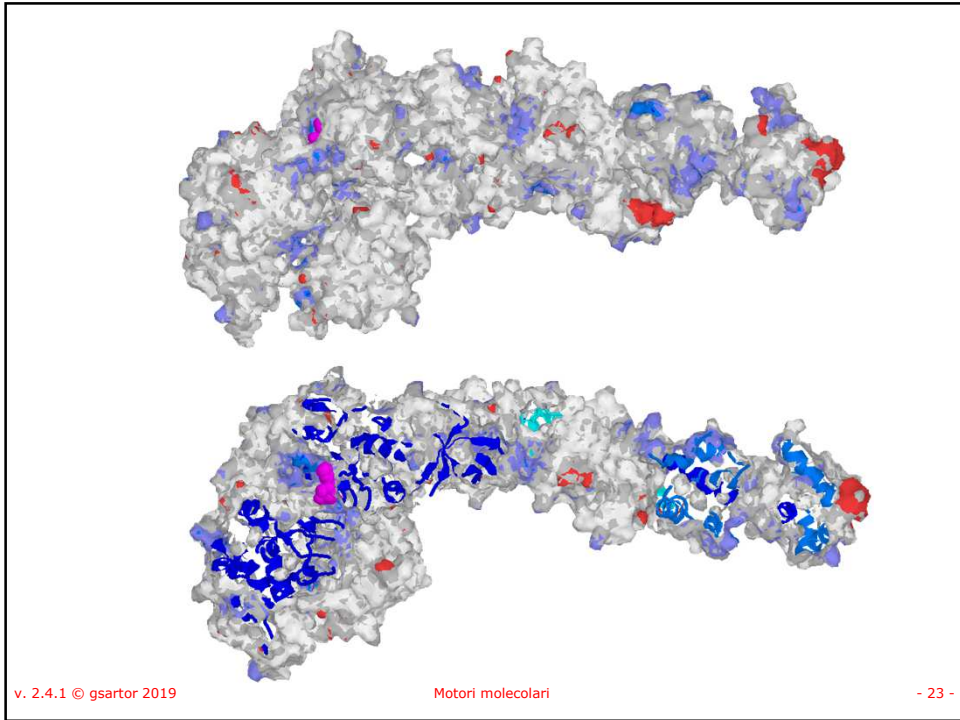
20



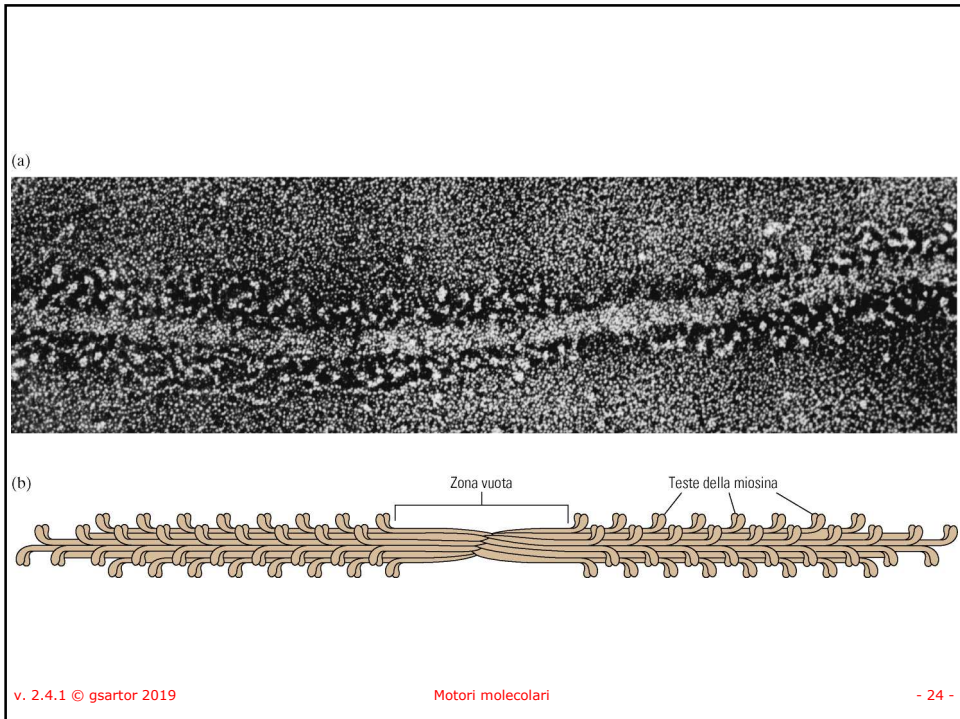
21



22

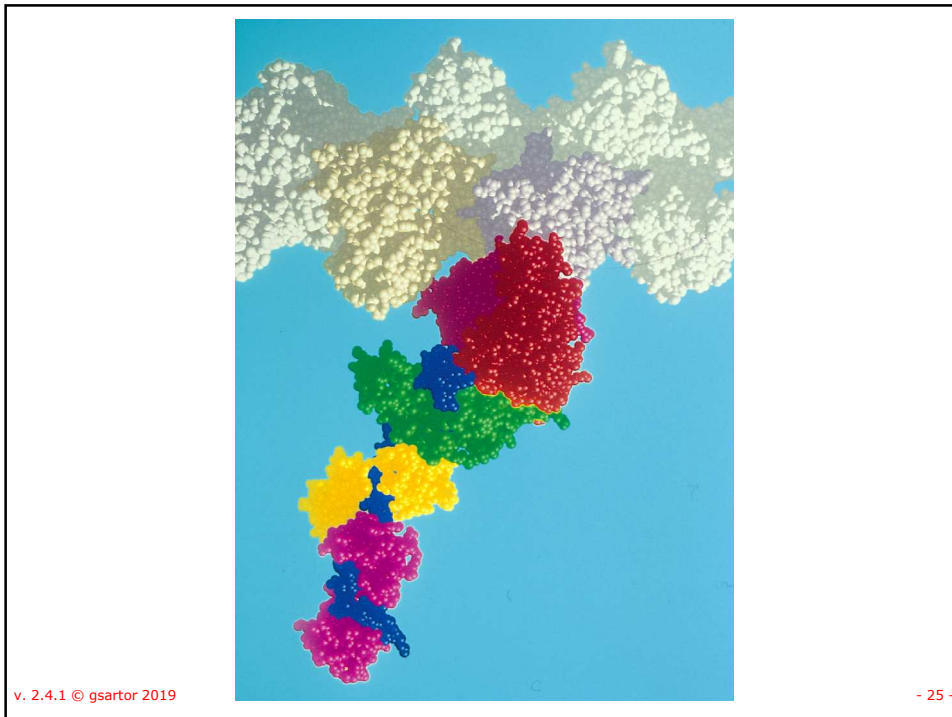


23

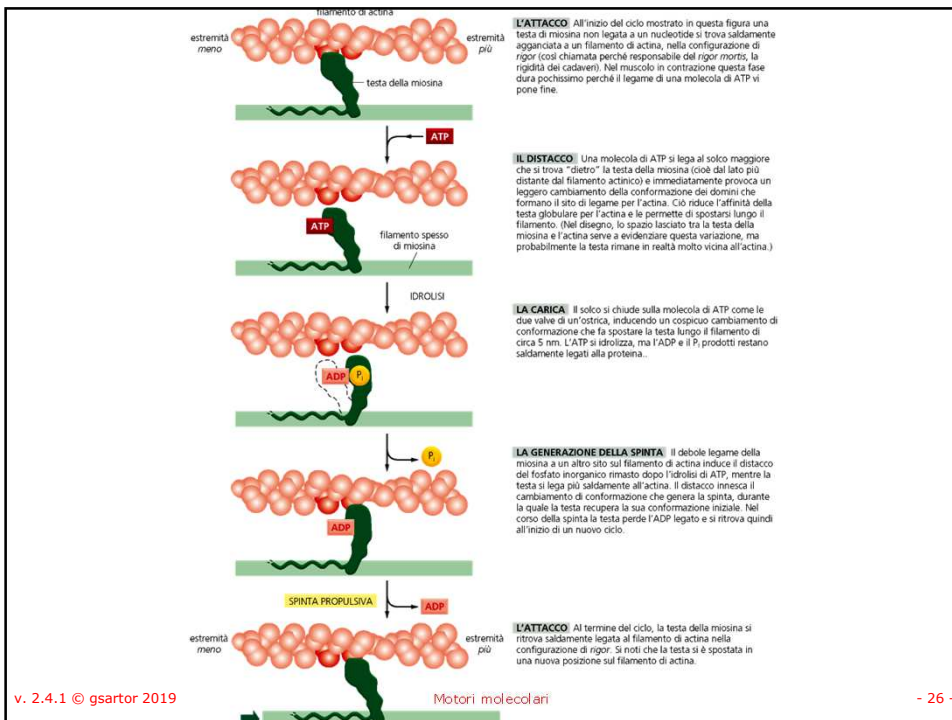


24

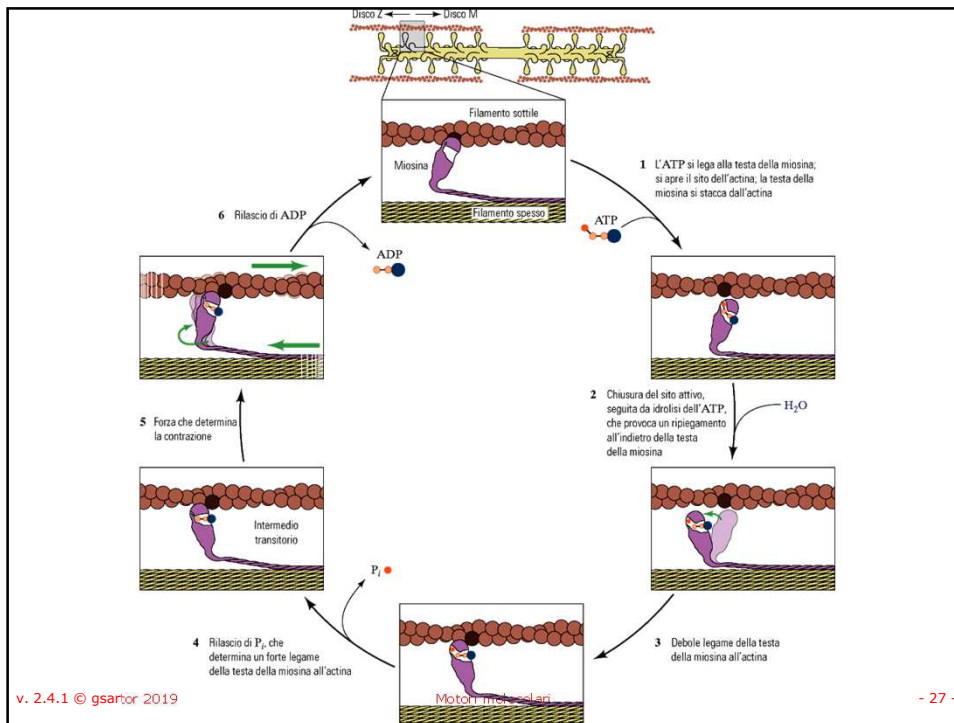




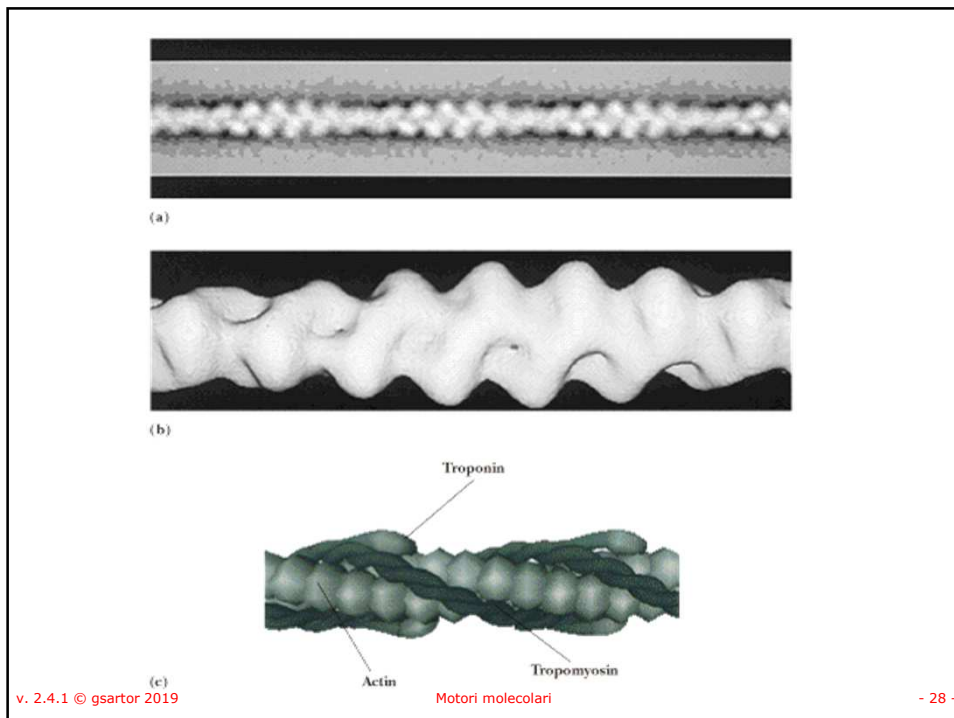
25



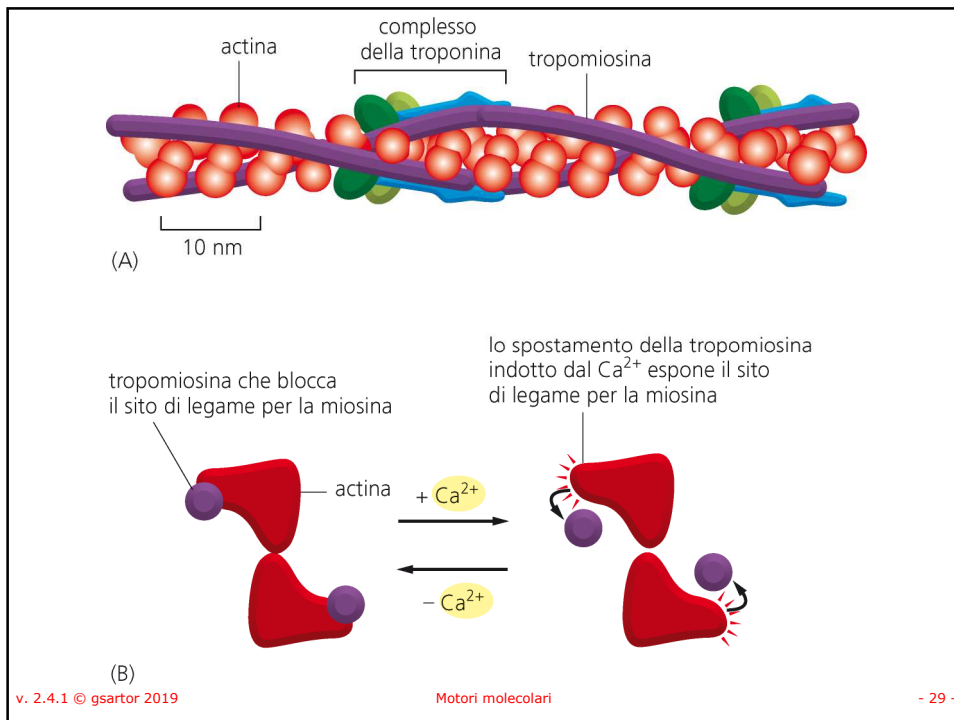
26



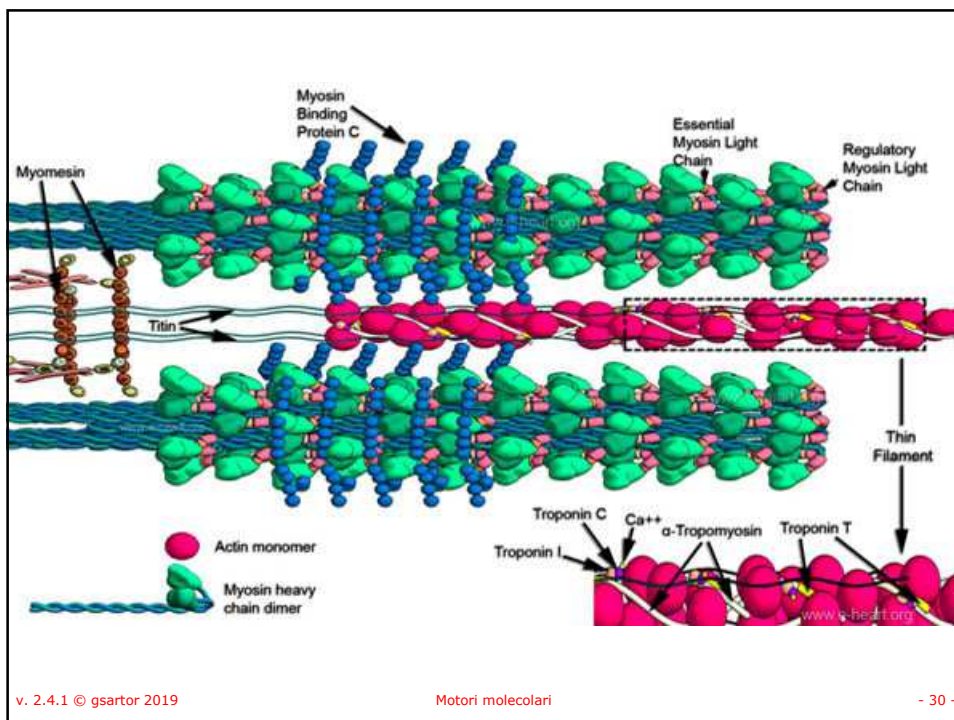
27



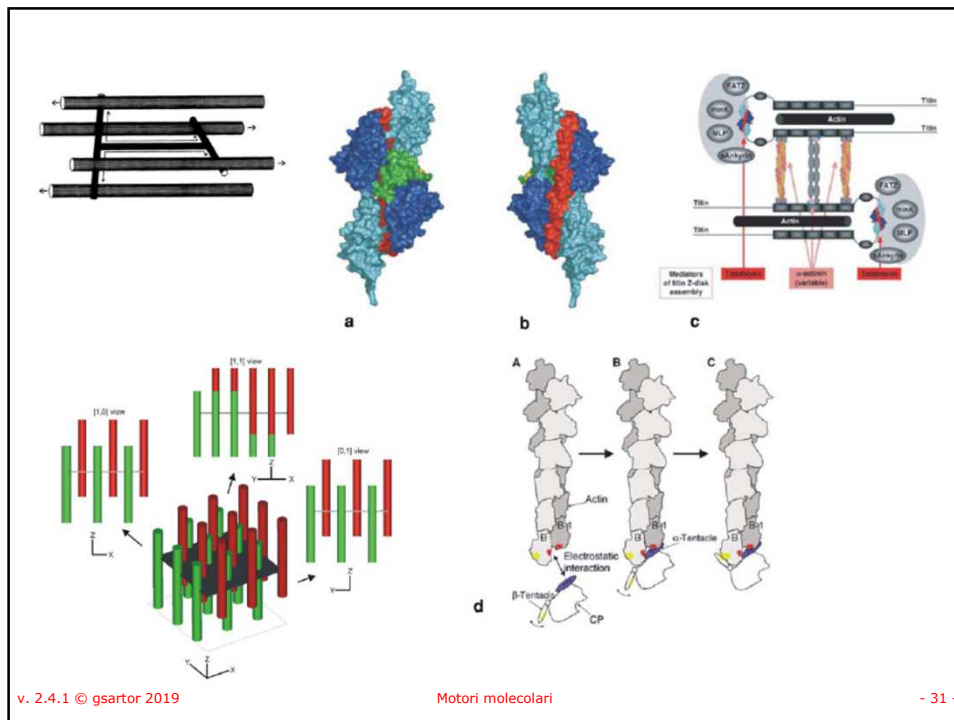
28



29



30



31

## Tropomiosina

- La tropomiosina è una proteina del peso di circa 70 kDalton composta da due subunità (eterodimeriche) ripiegate ad  $\alpha$ -elica.
- La proteina ha una forma filamentosa molto allungata
- È implicata nel controllo della contrazione muscolare prevenendo, in combinazione con il complesso della troponina, il legame dell'actina con la miosina e quindi la contrazione.
- Queste interazioni sono calcio-dipendenti:
  - a basse concentrazioni di  $\text{Ca}^{++}$ , la tropomiosina blocca stericamente il sito di legame della miosina all'actina,
  - ad alte concentrazioni  $\text{Ca}^{++}$ , il suo legame al complesso della troponina induce una modifica conformazionale provocando a sua volta il demascheramento del sito di legame actina-miosina permettendo quindi la contrazione muscolare

v. 2.4.1 © gsartor 2019

Motori molecolari

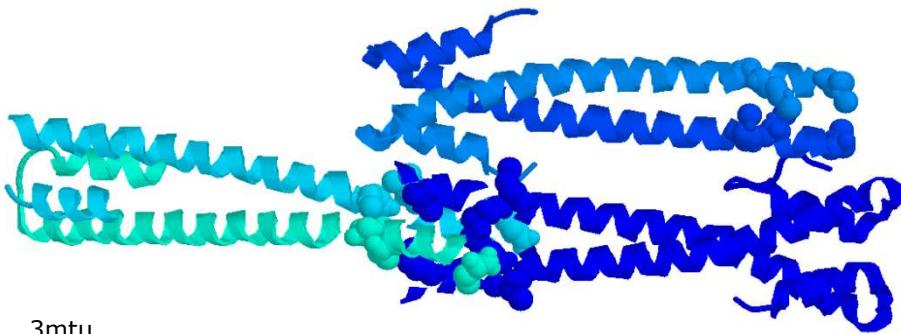
- 32 -

32



## Tropomiosina

- Polimerizza come  $\alpha$ -elica coiled coil per formare dei filamenti che si adagiano sulla actina polimerizzata
- L'interazione avviene attraverso al sovrapposizione di segmenti C-terminali di una molecola e N-terminali di un'altra molecola.



3mtu

v. 2.4.1 © gsartor 2019

Motori molecolari

- 33 -

33

## Troponina

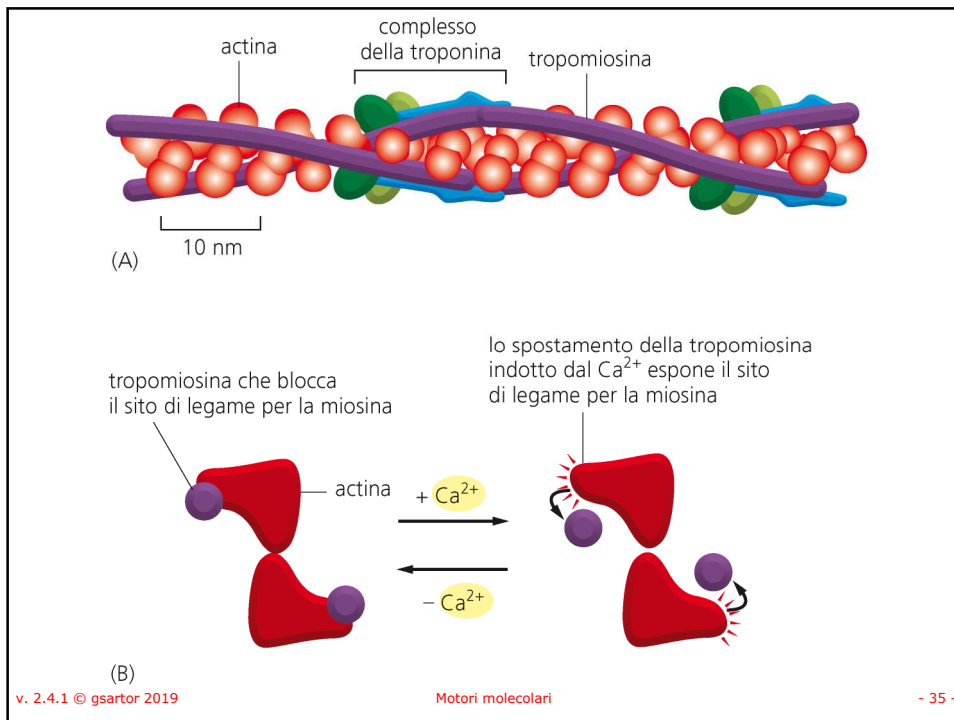
- È fondamentale nella fase di eccitazione-contrazione muscolare scheletrica.
- La troponina C lega il  $Ca^{++}$ , si produce un cambiamento conformazionale nella troponina I
- La troponina T si lega alla tropomiosina bloccandola per formare il complesso troponina - tropomiosina;
- La troponina I si lega alla actina per tenere fissato il complesso troponina - tropomiosina;
- Questi, a loro volta, potranno scivolare sui filamenti spessi di miosina attraverso un'inclinazione di 45 gradi provocando quindi la contrazione muscolare.

v. 2.4.1 © gsartor 2019

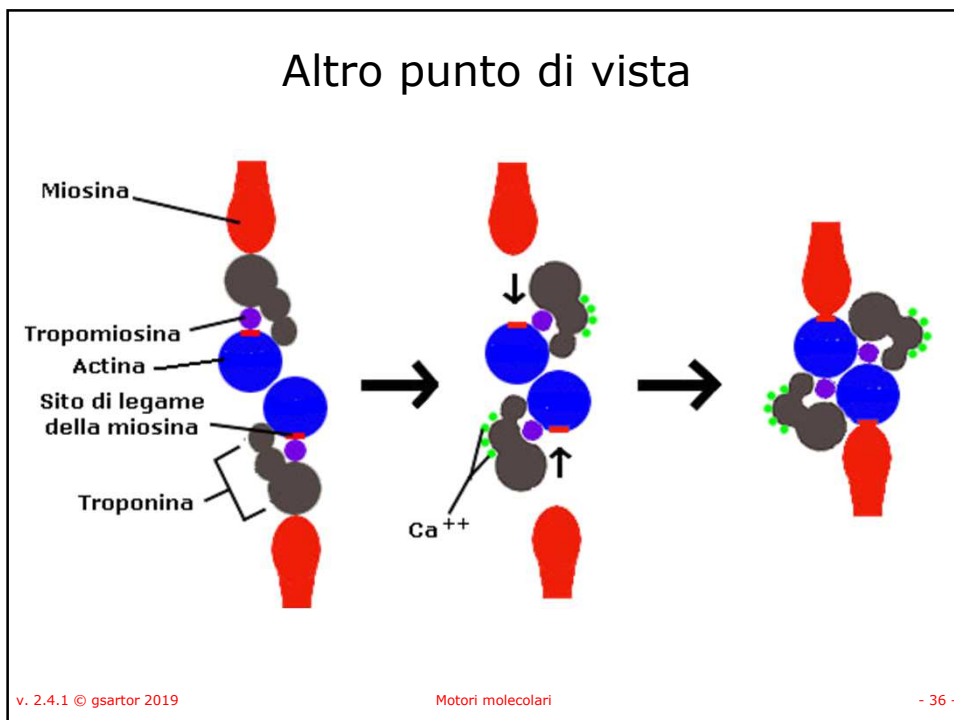
Motori molecolari

- 34 -

34



35



36

## Animazioni



<http://www.youtube.com/watch?v=qJ309LfHQ3M>



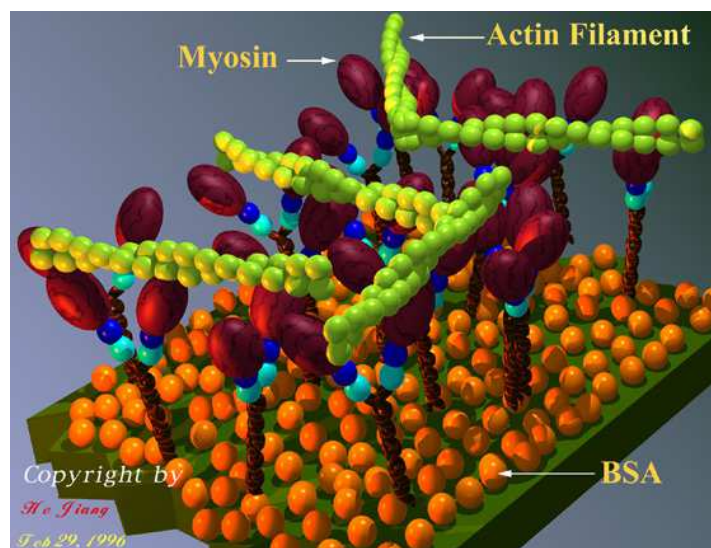
<http://www.youtube.com/watch?v=VQ4OMSi6gAq&feature=related>

v. 2.4.1 © gsartor 2019

Motori molecolari

- 37 -

37



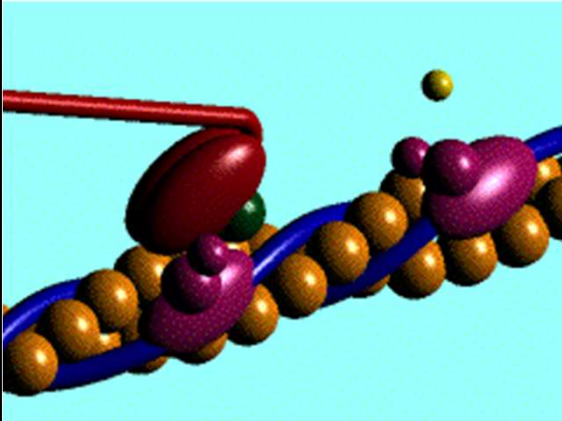
v. 2.4.1 © gsartor 2019

Motori molecolari

- 38 -

38

# Contrazione muscolare



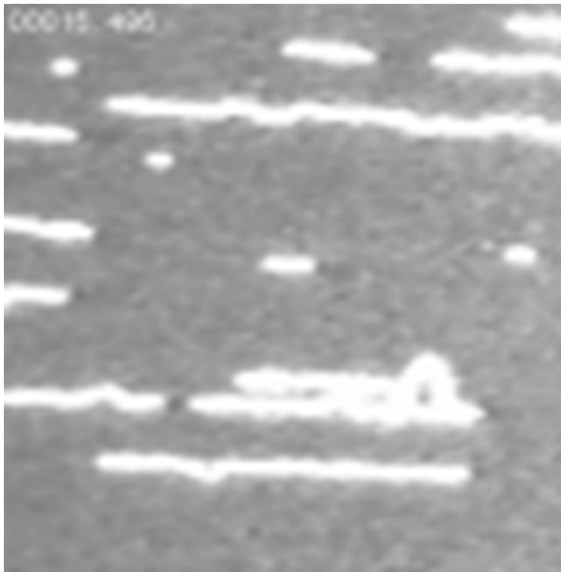
v. 2.4.1 © gsartor 2019

Motori molecolari

- 39 -

39

# Movimento di actina su vetrino coperto di miosina

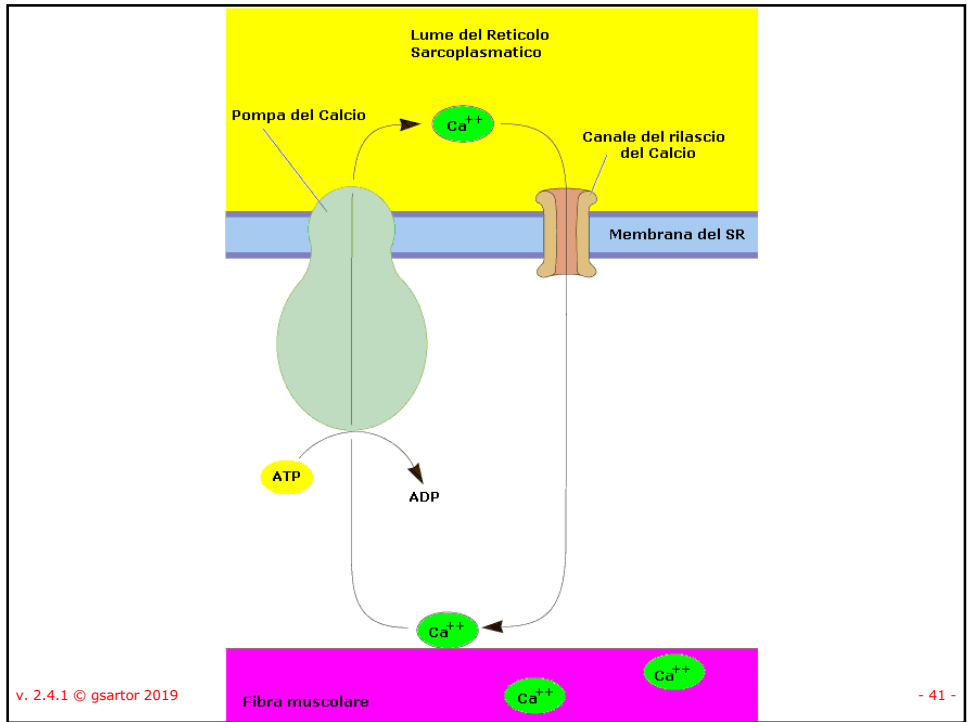


v. 2.4.1 © gsartor 2019

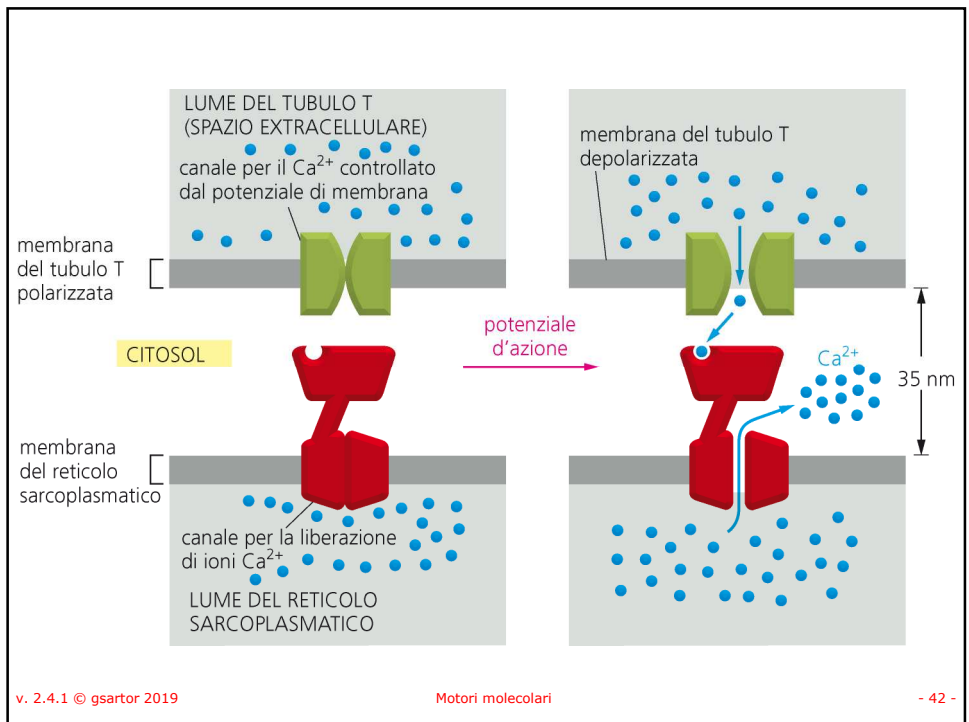
- 40 -

40





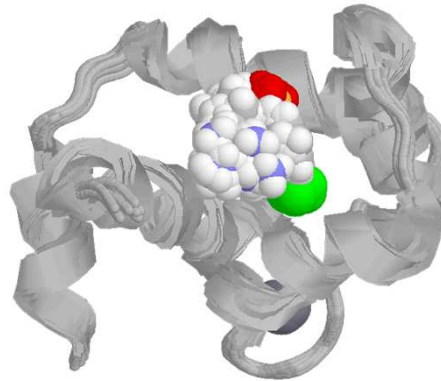
41



42

## Troponina C

- W7, antagonista alla Camodulina, (N-(6-aminoesil)-5-cloro-1-naftalenesulfonamide) si lega alla troponina C in presenza di  $\text{Ca}^{++}$  e inibisce la contrazione del muscolo striato.



2kfx

v. 2.4.1 © gsartor 2019

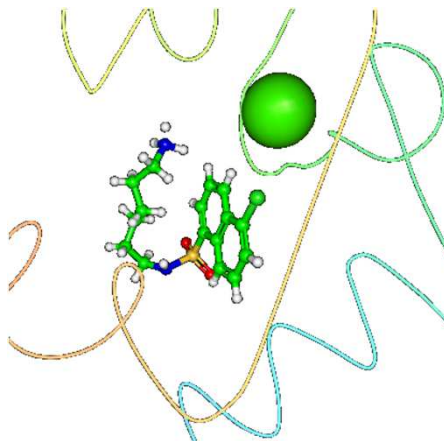
Motori molecolari

- 43 -

43

## Troponina C

- W7, antagonista alla Camodulina, (N-(6-aminoesil)-5-cloro-1-naftalenesulfonamide) si lega alla troponina C in presenza di  $\text{Ca}^{++}$  e inibisce la contrazione del muscolo striato.



2kfx

v. 2.4.1 © gsartor 2019

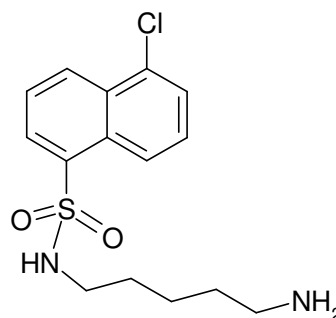
Motori molecolari

- 44 -

44

## Troponina C

- W7, antagonista alla Camodulina, (N-(6-aminoesil)-5-cloro-1-naftalenesulfonamide) si lega alla troponina C in presenza di  $\text{Ca}^{++}$  e inibisce la contrazione del muscolo striato.



v. 2.4.1 © gsartor 2019

Motori molecolari

- 45 -

45

## Structure of *trans*-Resveratrol in Complex with the Cardiac Regulatory Protein Troponin C<sup>†</sup>

Sandra E. Pineda-Sanabria,<sup>‡</sup> Ian M. Robertson,<sup>‡</sup> and Brian D. Sykes\*

**ABSTRACT:** Cardiac troponin, a heterotrimeric protein complex that regulates heart contraction, represents an attractive target for the development of drugs for treating heart disease. Cardiovascular diseases are one of the chief causes of morbidity and mortality worldwide. In France, however, the death rate from heart disease is remarkably low relative to fat consumption. This so-called “French paradox” has been attributed to the high level of consumption of wine in France, and the antioxidant *trans*-resveratrol is thought to be the primary basis for wine’s cardioprotective nature. It has been demonstrated that *trans*-resveratrol increases the myofilament  $\text{Ca}^{2+}$  sensitivity of guinea pig myocytes [Liew, R., Stagg, M. A., MacLeod, K. T., and Collins, P. (2005) *Eur. J. Pharmacol.* 519, 1–8]; however, the specific mode of its action is unknown. In this study, the structure of *trans*-resveratrol free and bound to the calcium-binding protein, troponin C, was determined by nuclear magnetic resonance spectroscopy. The results indicate that *trans*-resveratrol undergoes a minor conformational change upon binding to the hydrophobic pocket of the C-domain of troponin C. The location occupied by *trans*-resveratrol coincides with the binding site of troponin I, troponin C’s natural binding partner. This has been seen for other troponin C-targeting inotropes and implicates the modulation of the troponin C–troponin I interaction as a possible mechanism of action for *trans*-resveratrol.

*Biochemistry* **2011**, 50, 1309–1320

v. 2.4.1 © gsartor 2019

Motori molecolari

- 46 -

46

## Troponina Troponina e resveratrolo

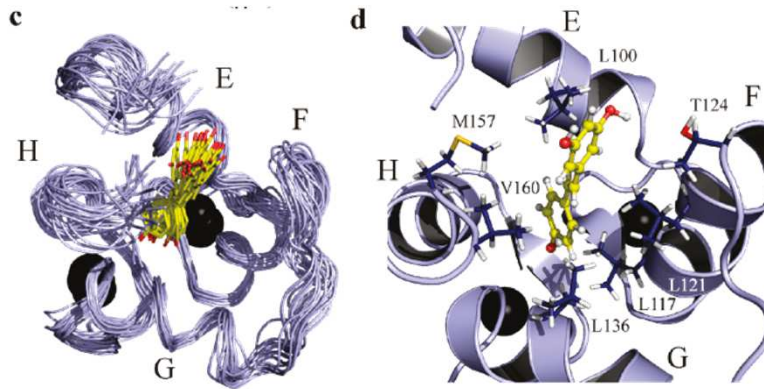


FIGURE 5: Structure of the cTnC-resveratrol binary complex. (a) Strip plots showing the NOEs between resveratrol and cTnC. The resveratrol assignments are at the top of the spectrum; cTnC assignments are indicated at the right. Peaks that are circled represent intramolecular cTnC NOEs that were not adequately filtered. (b) Ensemble of resveratrol from the binary complex. The carbon atoms are colored yellow and the oxygen atoms red. (c) Twenty lowest-energy structures of the cTnC-resveratrol complex with the backbone trace of cTnC colored light blue and helices E-H labeled. (d) Resveratrol's binding pocket on the lowest-energy structure of cTnC. Residues for which NOEs were measured are labeled and depicted as sticks with carbon atoms colored dark blue; resveratrol is shown in ball-and-stick representation (hydrogen atoms colored white). Calcium ions are shown as black spheres.

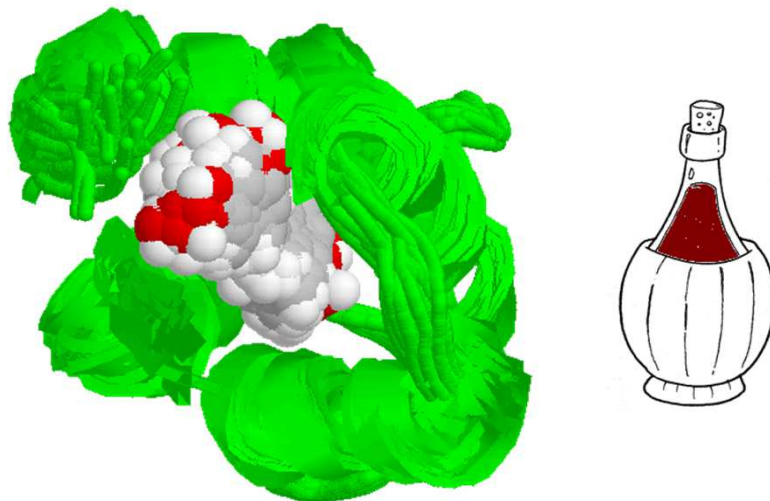
v. 2.4.1 © gsartor 2019

Biochemistry 2011, 50, 1309–1320

- 47 -

47

## Troponina e resveratrolo



2198

v. 2.4.1 © gsartor 2019

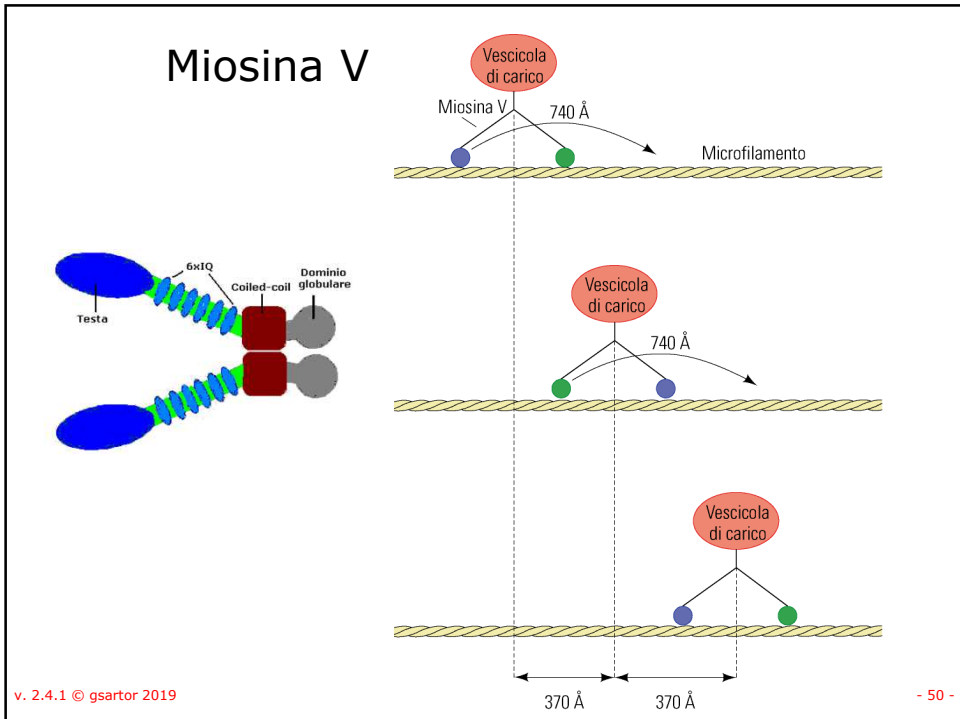
Motori molecolari

- 48 -

48




49



50




<http://www.youtube.com/watch?v=KfEbuHCGIIo>

v. 2.4.1 © gsartor 2019 Motori molecolari - 51 -

51

## Miosina VI

**Figure 1** Proposed hand-over-hand mechanism for myosin VI. Left panel, a myosin VI molecule walking to the left with its putative flexible element C-terminal to the labeled calmodulin. A fluorescent label attached to one calmodulin (red) moves -72 nm associated with one ATP hydrolysis. Thus, the trailing head (yellow) becomes the new leading head. The next ATP hydrolysis does not alter the fluorophore position and results in a 0-nm step. Right panel, a molecule walking to the left with its putative flexible element N-terminal to the labeled calmodulin. In this model, with each ATP hydrolysis, the fluorophore (red) moves -36 nm.

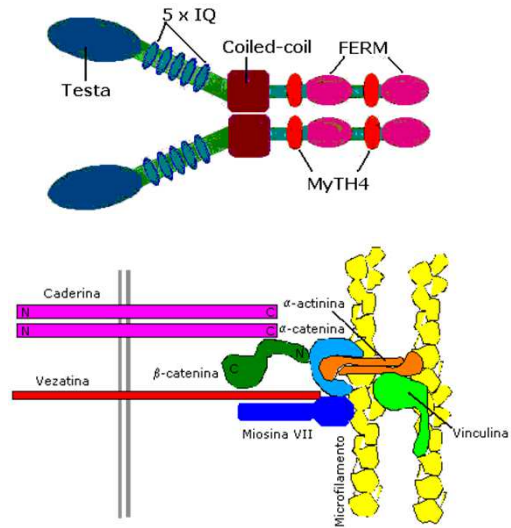
**Myosin VI walks hand-over-hand along actin**  
 Zeynep Ökten<sup>1,2</sup>, I Stirling Churchman<sup>1,2</sup>, Ronald S Rock<sup>1</sup> & James A Spudich<sup>1</sup>  
 VOLUME 11 NUMBER 9 SEPTEMBER 2004 NATURE STRUCTURAL & MOLECULAR BIOLOGY

v. 2.4.1 © gsartor 2019 Motori molecolari - 52 -

52

## Miosina VII

- Utilizzata nella formazione delle ciglia.
- Adesione cellulare



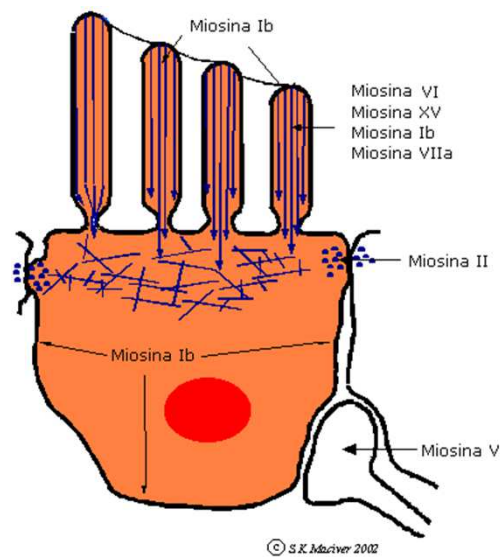
v. 2.4.1 © gsartor 2019

Motori molecolari

- 53 -

53

## Cellule acustiche ciliate



v. 2.4.1 © gsartor 2019

Motori molecolari

- 54 -

54



# Camminando sui microtubuli

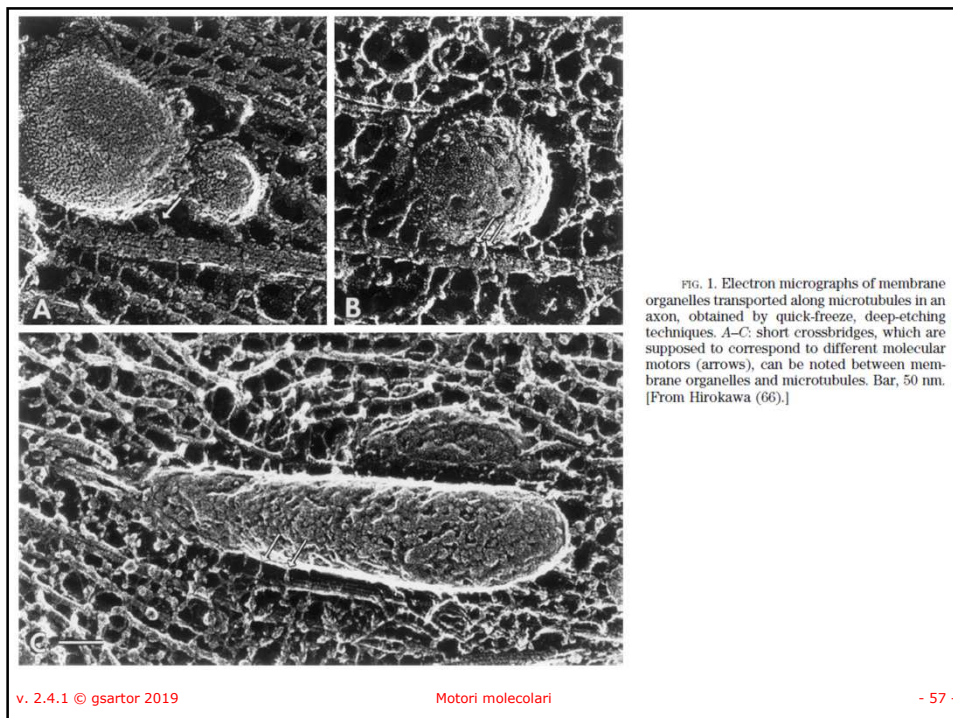
55



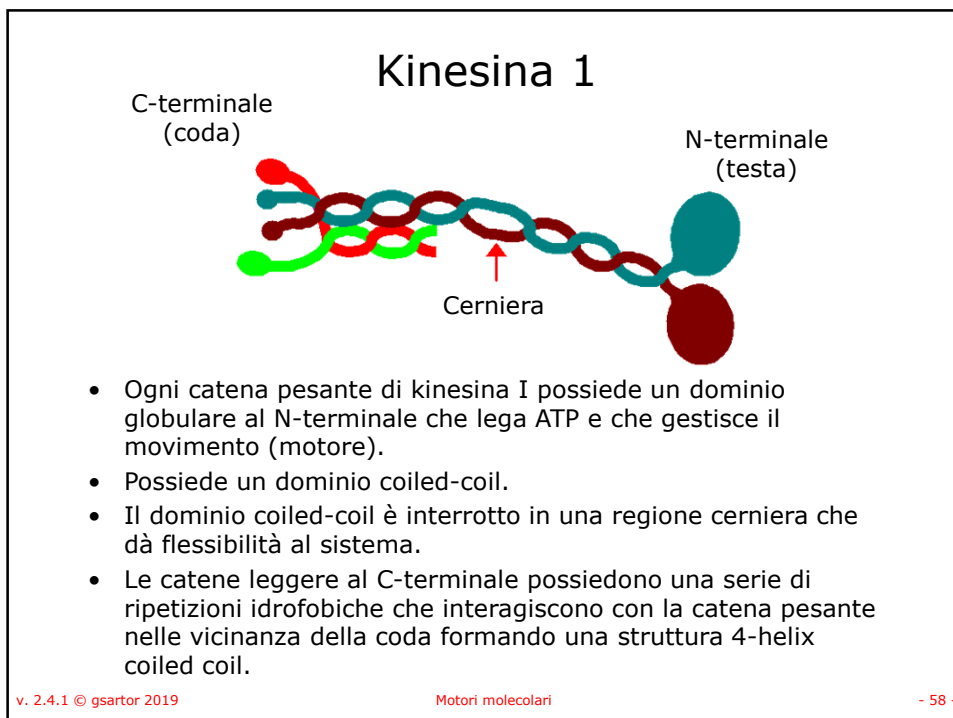
# KINESINA (KIF)

Intracellular Transport and Kinesin Supersfamily Proteins, KIFs: Structure,  
Function, and Dynamics  
Nobutaka Hirokawa and Yasuko Noda  
Physiol Rev 88: 1089-1118, 2008

56



57



58

## Kinesina

C-terminale  
(coda)

N-terminale  
(testa)

Cerniera

- Il dominio C-terminale della coda contiene una serie di "tetratricopeptide repeats" (TPRs). Una sequenza di 34 residui che media l'interazione proteina-proteina.
- Il dominio TPR della catena leggera è coinvolta nel legame con il cargo, allo stesso scopo può partecipare anche il C-terminale

v. 2.4.1 © gsartor 2019 Motori molecolari - 59 -

59

## Trasporto

- Le proteine cargo legate alle kinesine sono diverse
- Alcuni organelli contengono dei recettori transmembrana che legano le kinesine.
- La kinectina è un recettore della membrana del ER per la kinesina-1.
- Le proteine scaffold sono coinvolte nella formazione del complesso con il cargo.

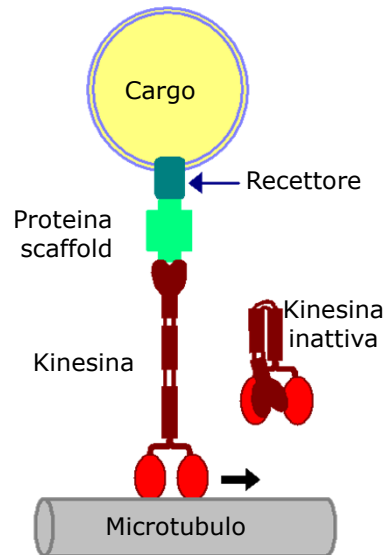
v. 2.4.1 © gsartor 2019 Motori molecolari - 60 -

60



## Trasporto

- In assenza di carico la catena pesante della kinesina si piega sulla regione cardine portandola a contatto con il dominio motore
- In questo stato diminuisce l'attività ATPasica e diminuisce il legame al microtubulo
- In questo modo si evita il consumo di ATP senza trasporto di carico.



v. 2.4.1 © gsartor 2019

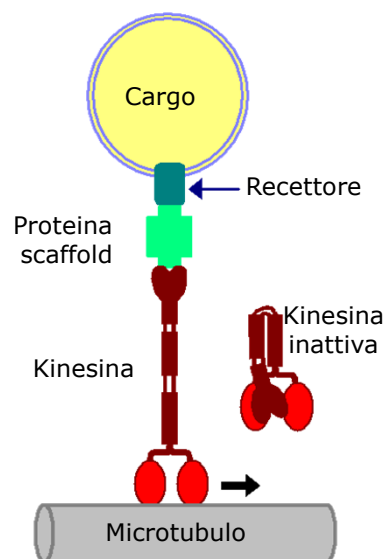
Motori molecolari

- 61 -

61

## Trasporto

- La conversione della kinesina nella forma estesa è promossa da:
  - la fosforilazione della catena leggera catalizzata da una specifica kinasi o
  - dal legame con il carico.

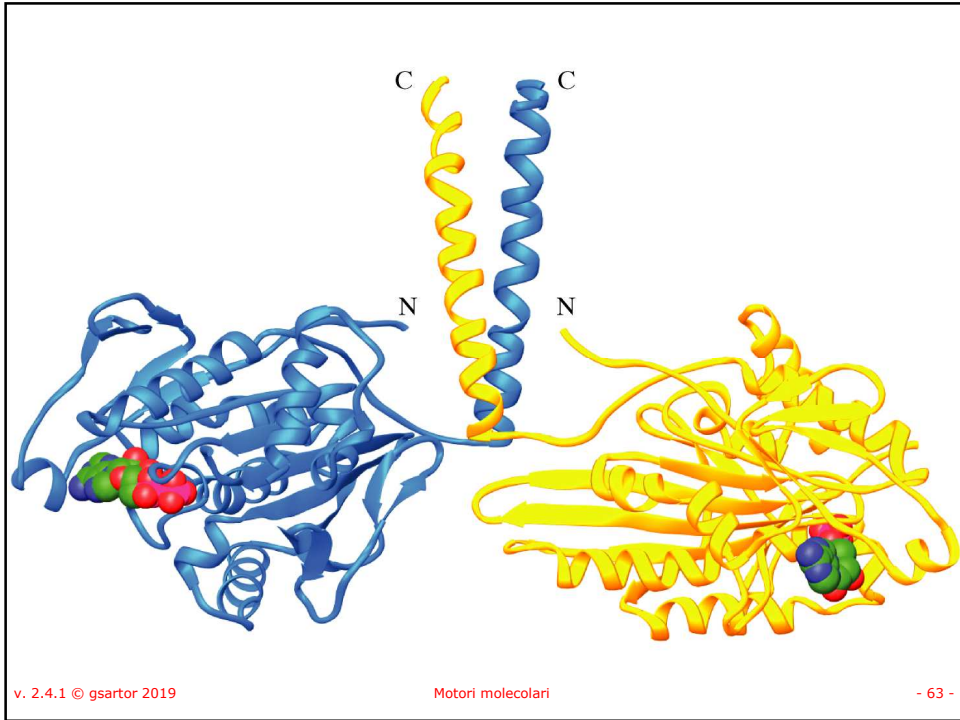


v. 2.4.1 © gsartor 2019

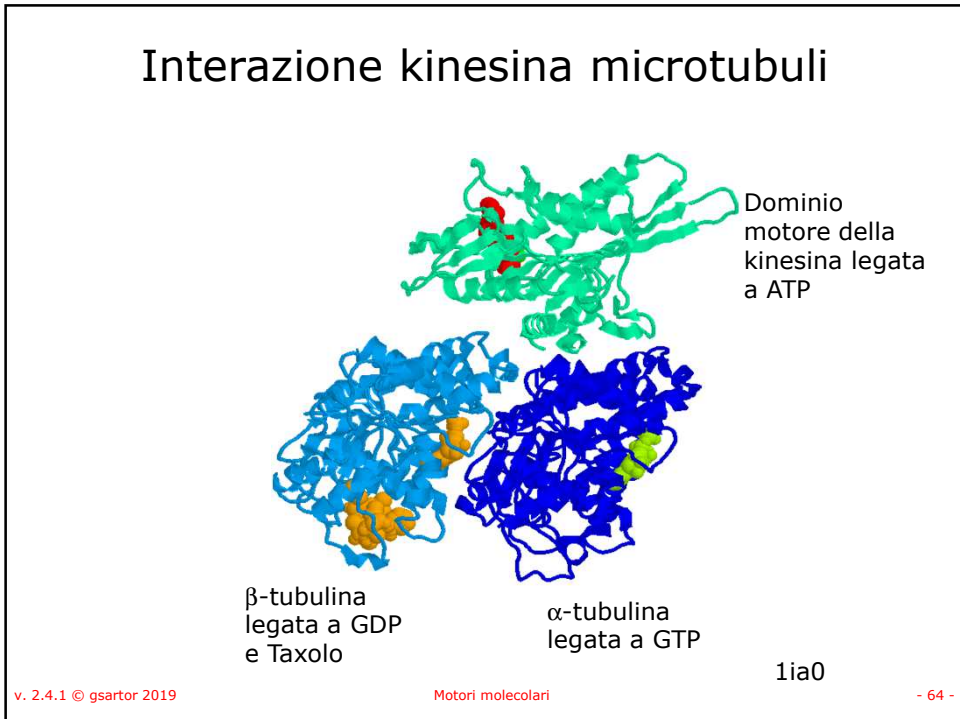
Motori molecolari

- 62 -

62

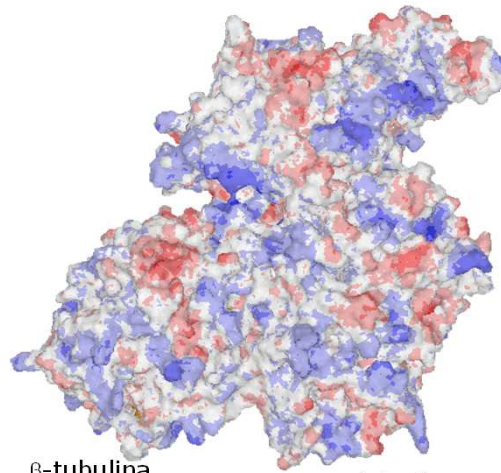


63



64

## Interazione kinesina microtubuli



Dominio motore della kinesina legata a ATP

$\beta$ -tubulina legata a GDP e Taxolo

$\alpha$ -tubulina legata a GTP

1ia0

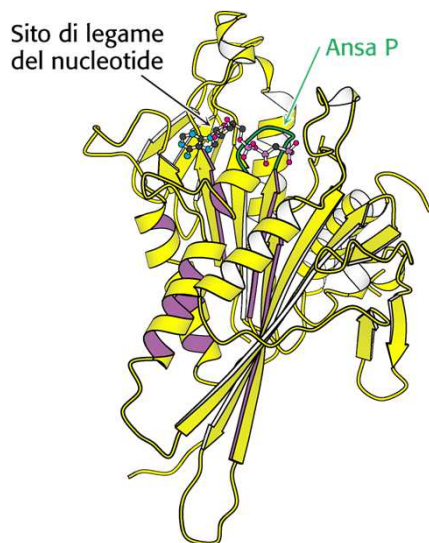
v. 2.4.1 © gsartor 2019

Motori molecolari

- 65 -

65

## Kinesina



• Struttura simile alla miosina:

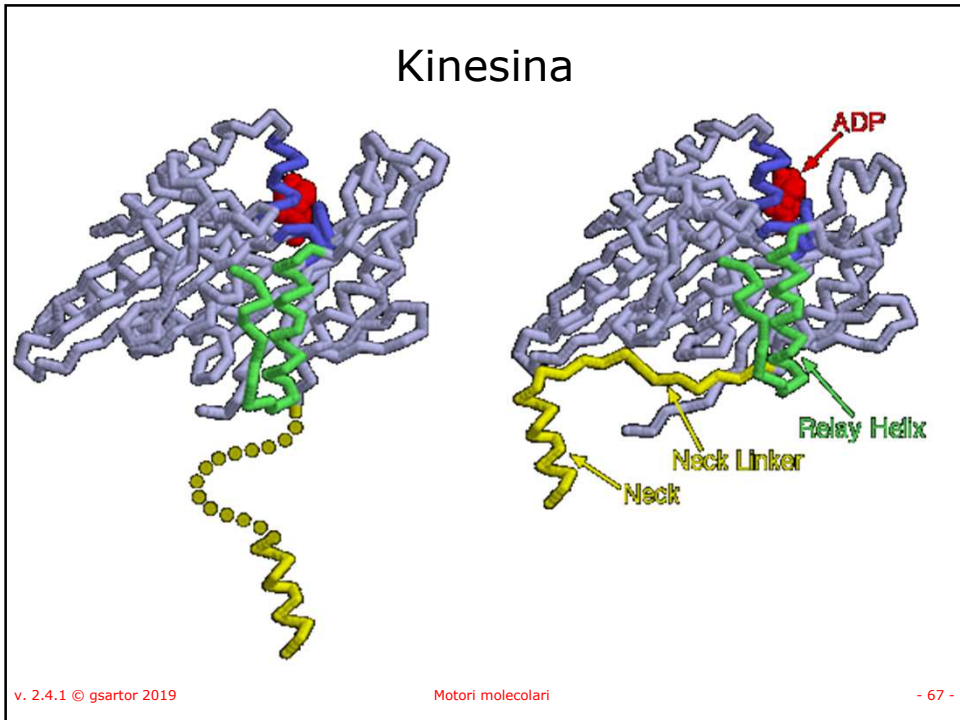
- Testa
- Coda

v. 2.4.1 © gsartor 2019

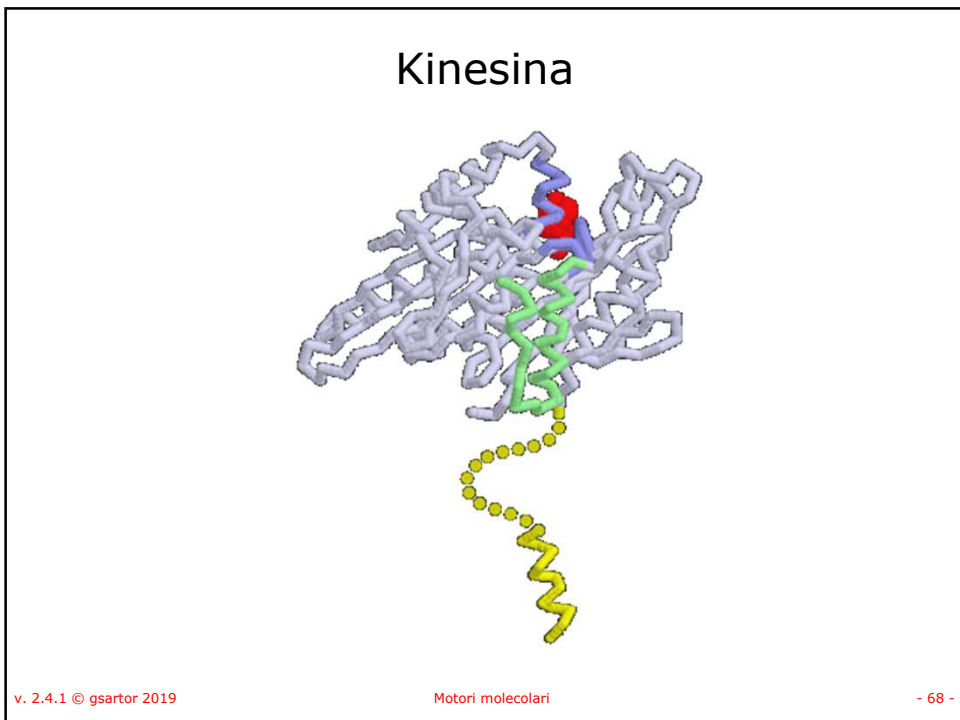
Motori molecolari

- 66 -

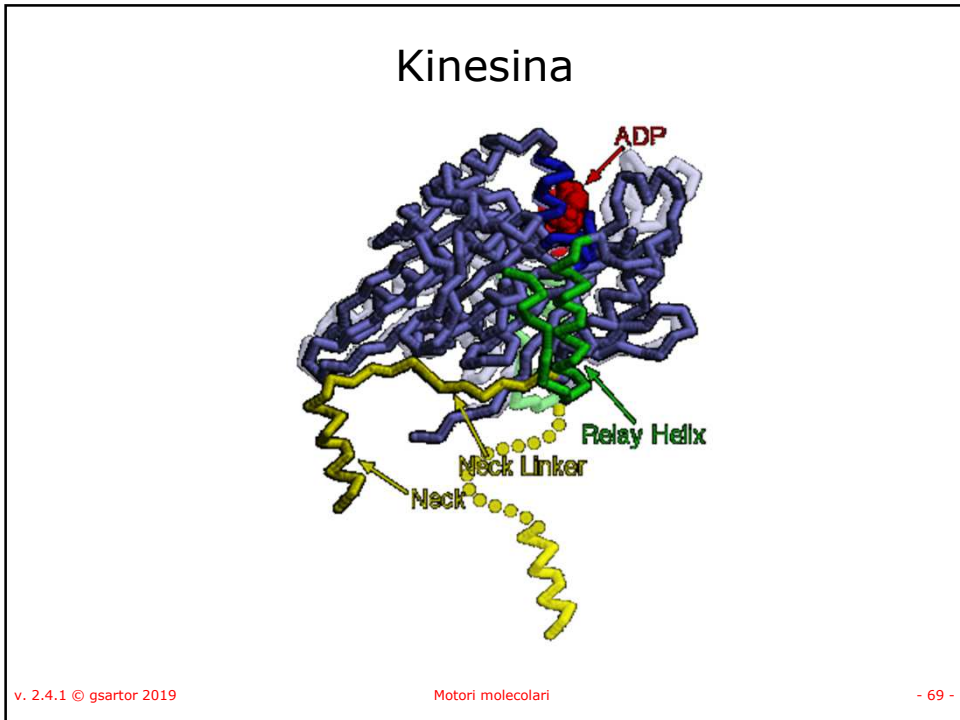
66



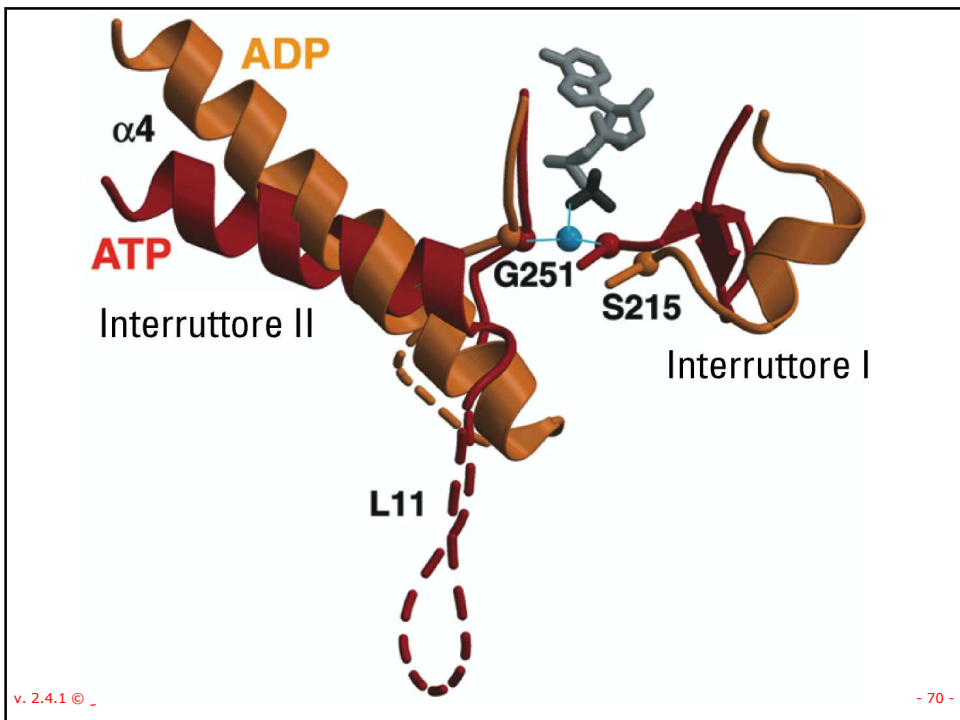
67



68

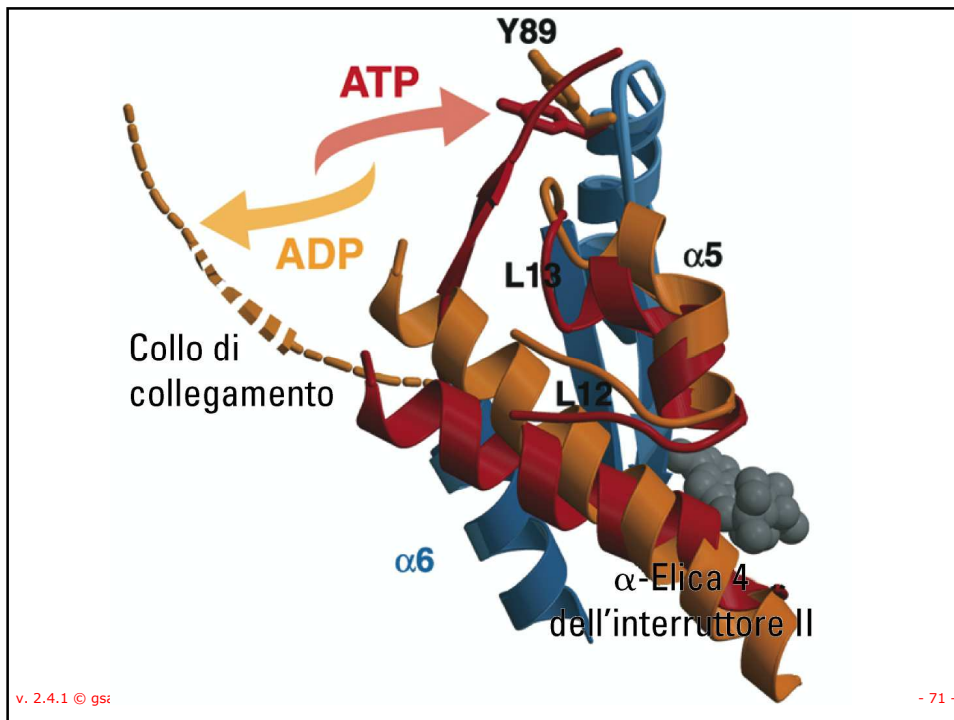


69

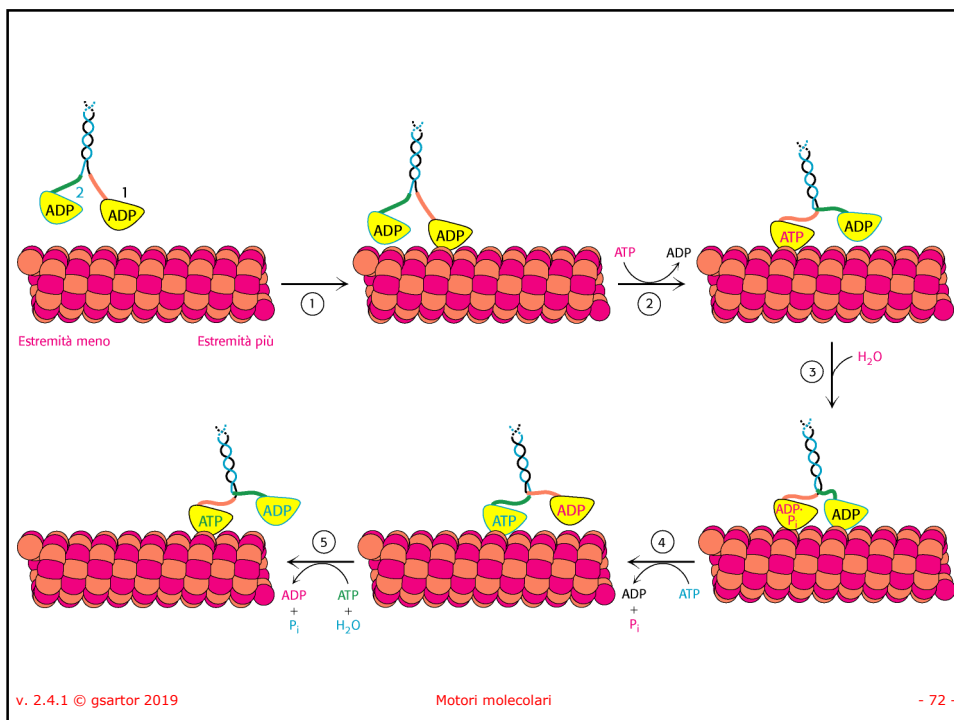


70

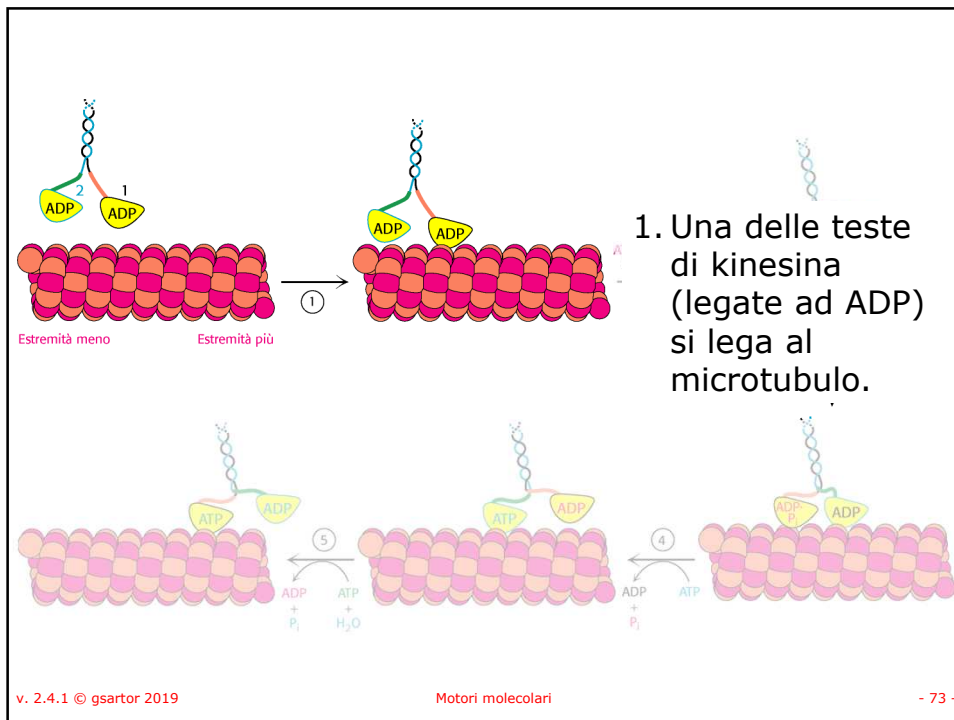




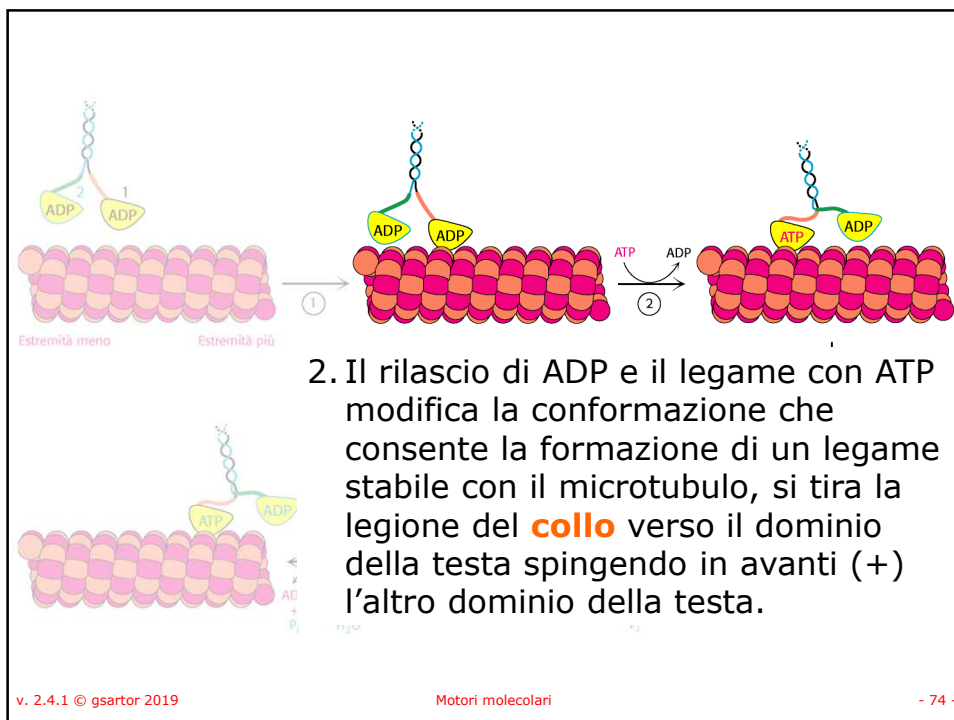
71



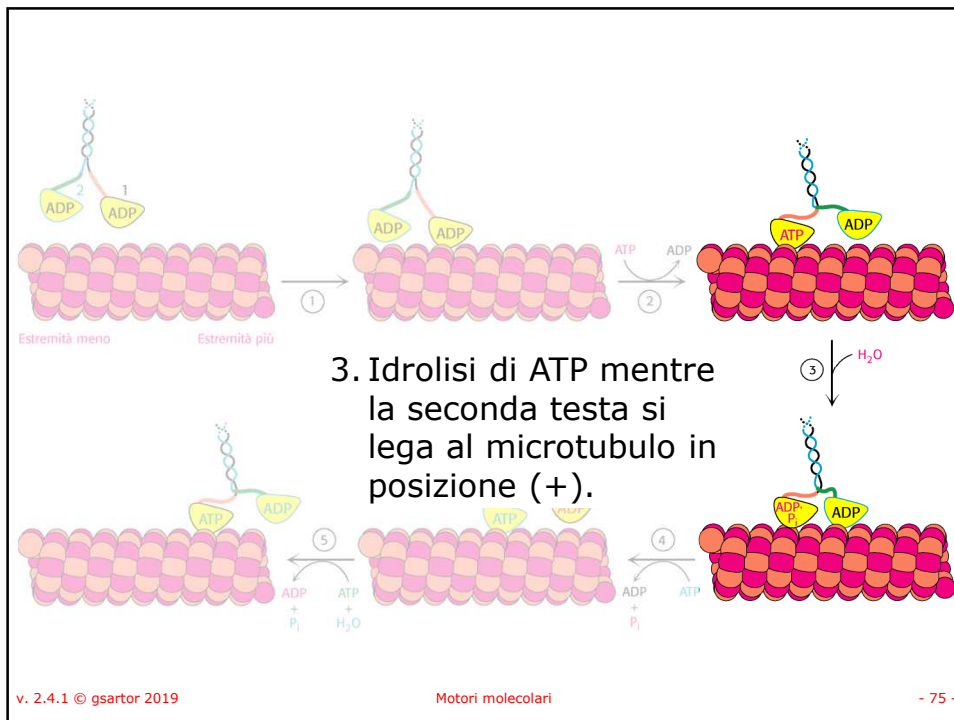
72



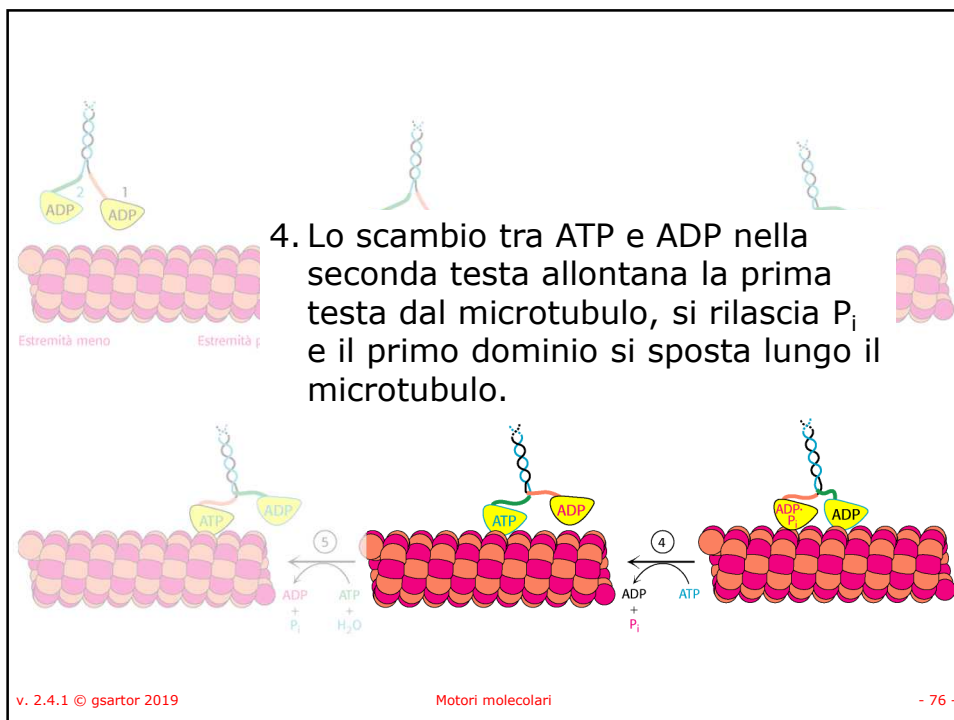
73



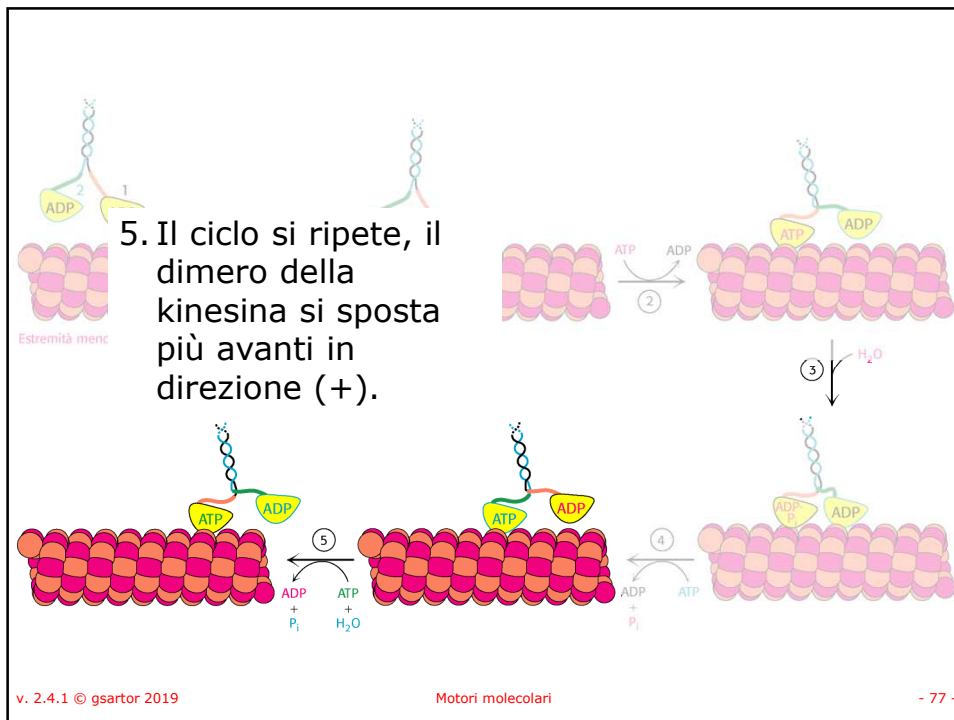
74



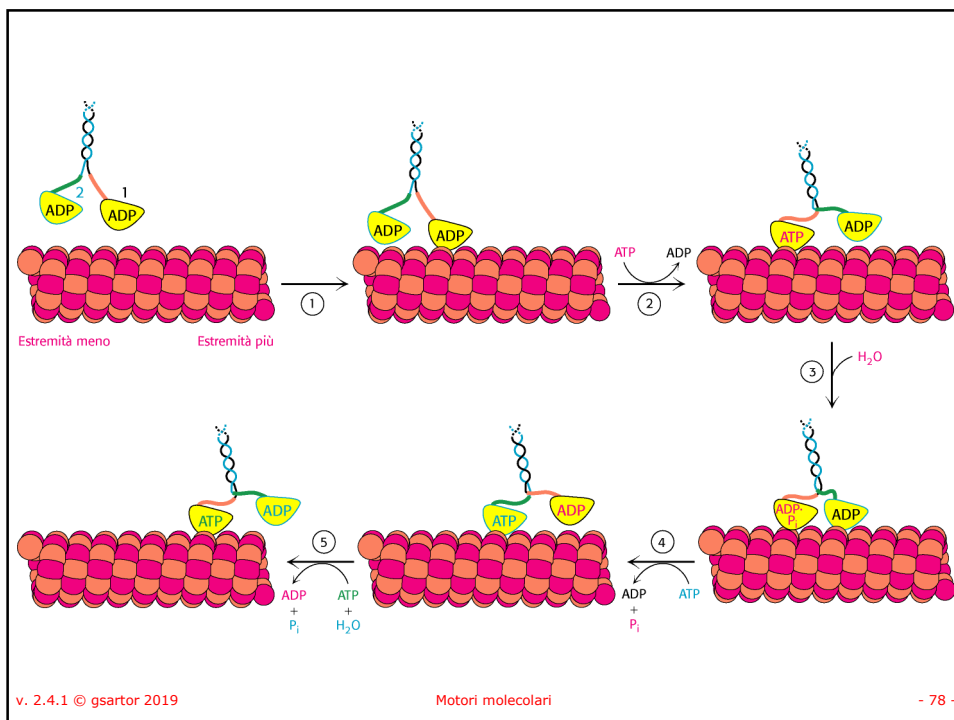
75



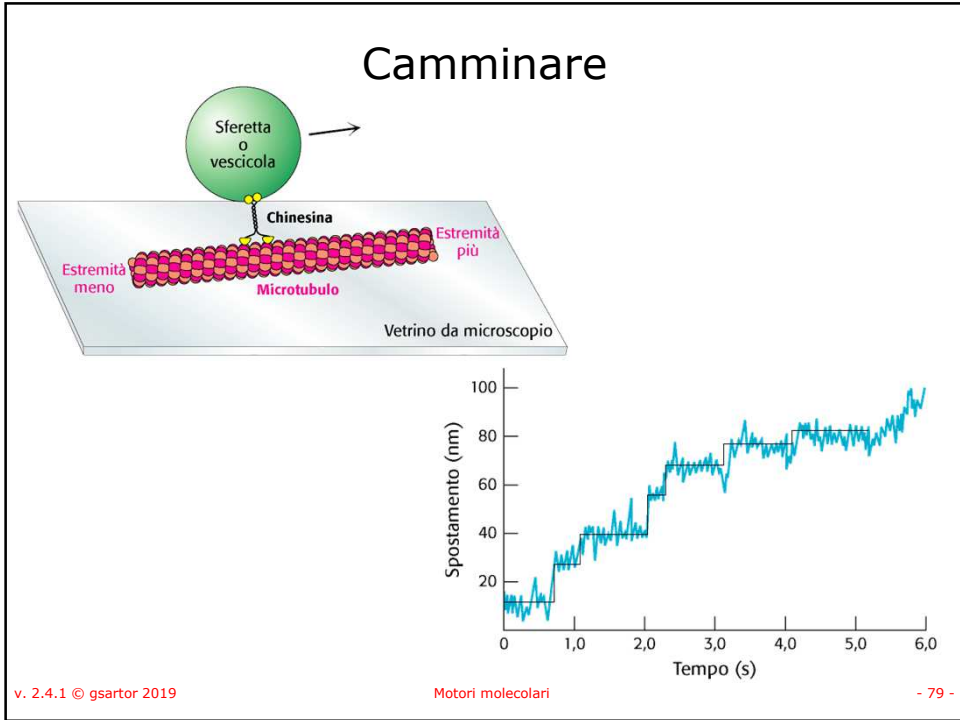
76



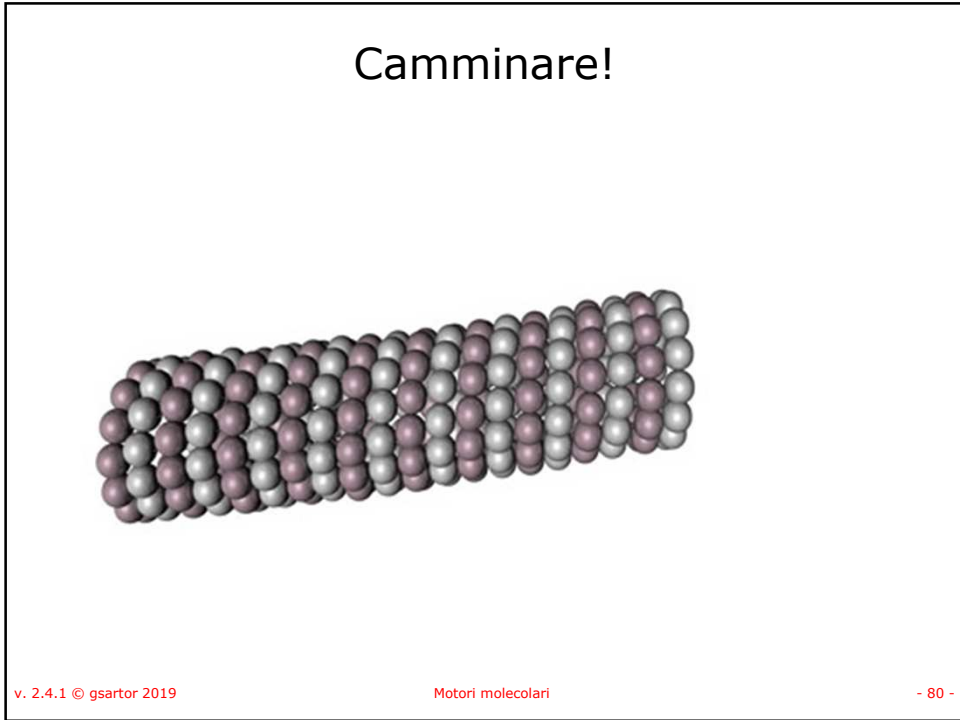
77



78

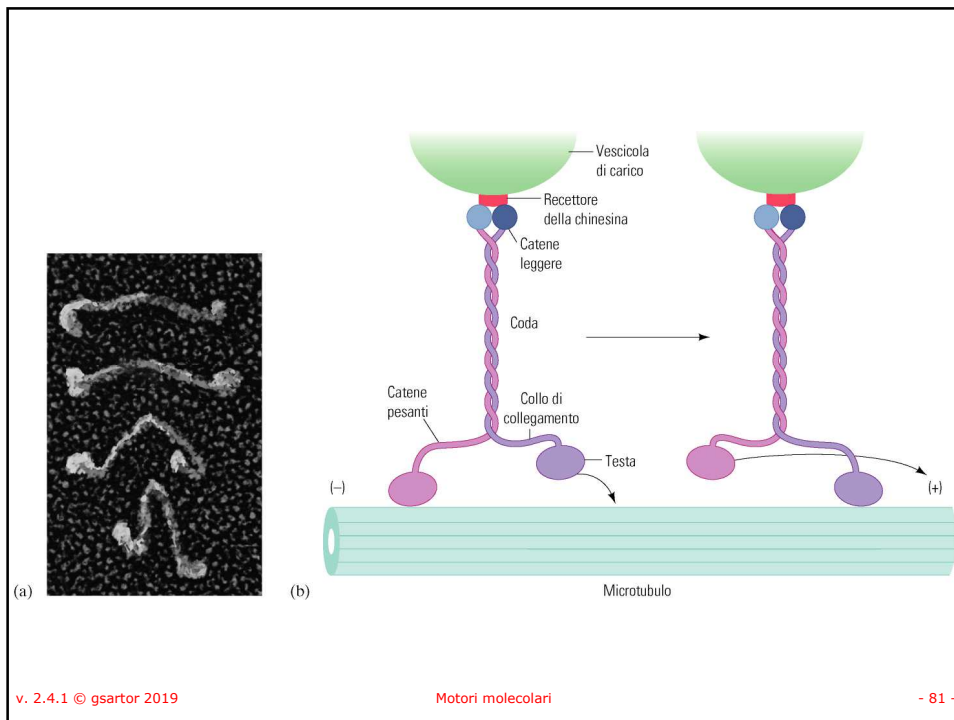


79



80





81

### Meccanica dell'interazione kinesina-microtubulo

- La kinesina "cammina verso l'estremità (+) del microtubulo (a destra). Il dominio motore si lega alla successiva subunità di  $\beta$ -tubulina lontana 8 nm. Ogni testa avanza di 16 nm alla volta.
- Le due teste si muovono in modo non equivalente per evitare l'avvolgimento della coda.

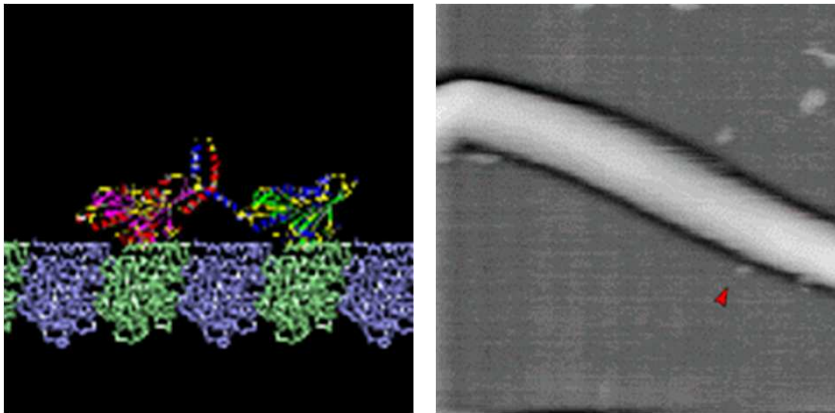
v. 2.4.1 © gsartor 2019

Motori molecolari

- 82 -

82

## Meccanica dell'interazione kinesin-microtubulo



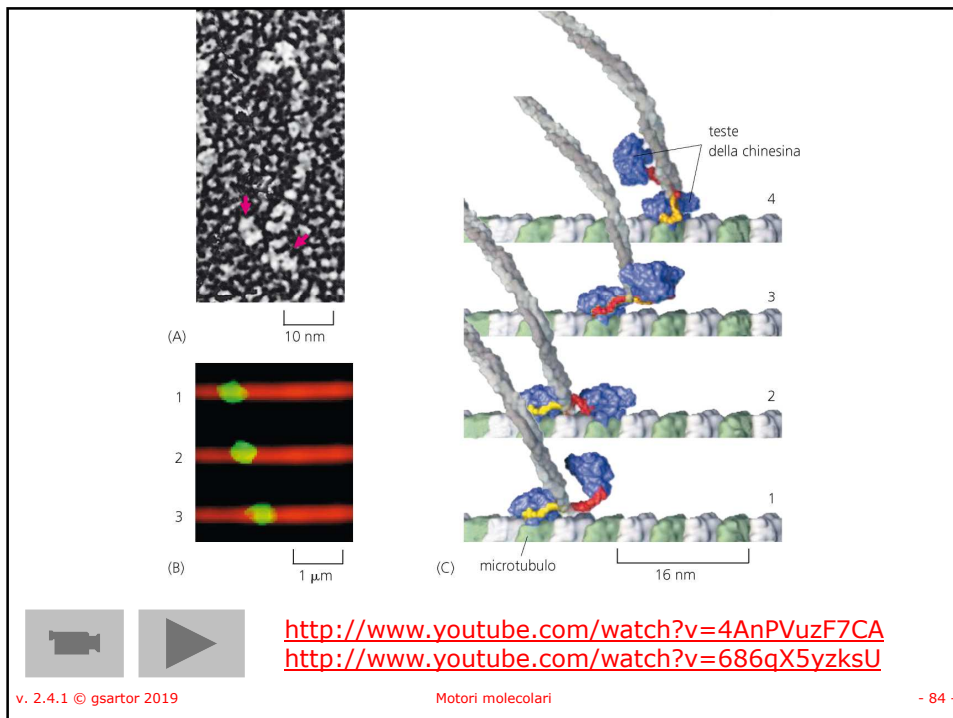
- La parte C-terminale del collo coiled-coil (in alto) è sempre connessa.
- La parte inferiore del collo si apre e chiude permettendo il distacco, il movimento e l'attacco della testa motore al microtubulo
- Questa operazione è accoppiata con la riorientazione del regione linker (in giallo) tra l'elica del collo e il dominio motore.

v. 2.4.1 © gsartor 2019

Motori molecolari

- 83 -

83



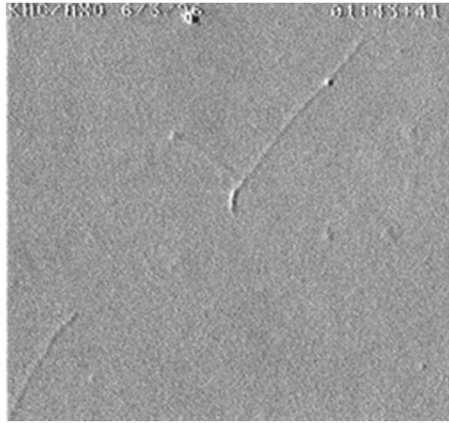
v. 2.4.1 © gsartor 2019

Motori molecolari

- 84 -

84

# Kinesina



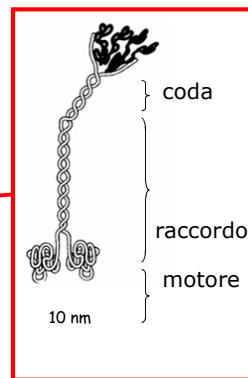
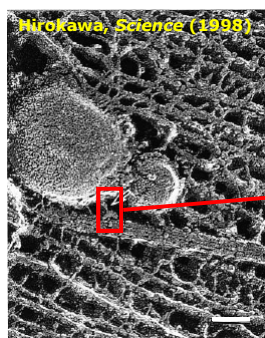
v. 2.4.1 © gsartor 2019

Motori molecolari

- 85 -

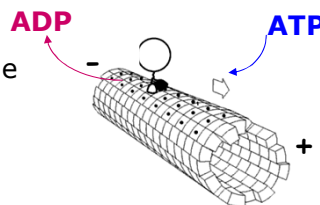
85

## Kinesina: motore molecolare che si muove lungo microtubuli



— Kinesina-1  
— Microtubuli

- trasporto di membrane
- passo di 8 nm

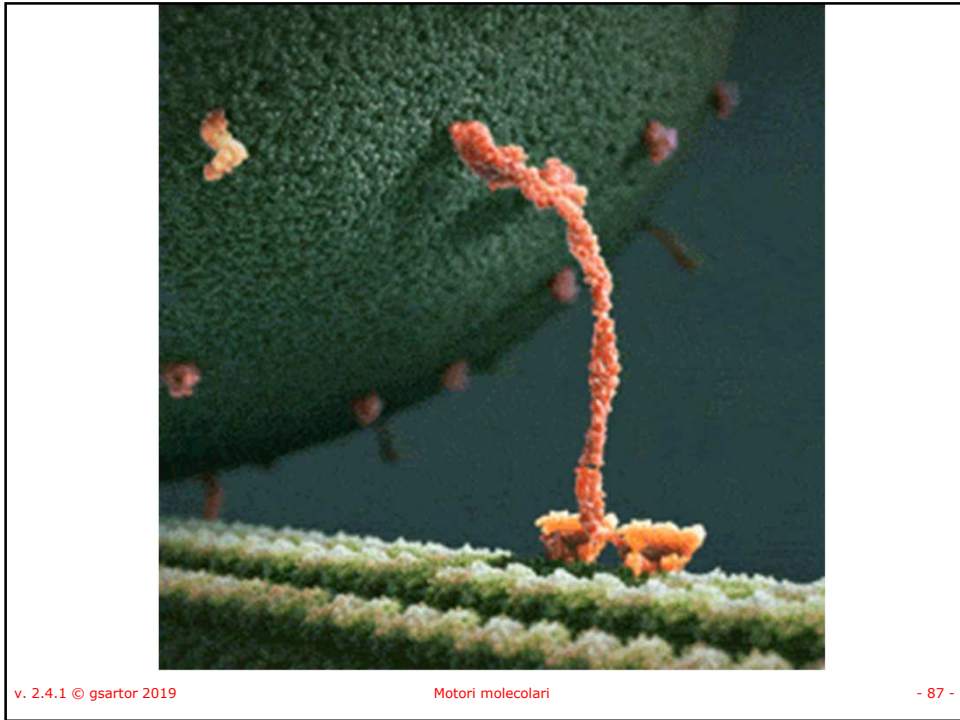


v. 2.4.1 © gsartor 2019

Motori molecolari

- 86 -

86



87

### Kinesine

C-terminale  
(coda)

N-terminale  
(testa)

The diagram illustrates the structure of a kinesin molecule. It consists of two globular head domains (N-terminale) at one end, connected by a long, flexible tail region (C-terminale) that contains a hinge (Cerniera). The head domains are shown in red and blue, while the tail is a long, thin, multi-colored structure.

Cerniera

- Ci sono diversi membri della famiglia delle kinesine che hanno diversa struttura e funzione.
- Alcune kinesine hanno il dominio motore nella catena pesante o al C-terminale invece che al N-terminale (come nella kinesina-I).
- Le kinesine con i motori al C-terminale, (KIFC2 nei neuroni), si muovono in direzione opposta (-).

v. 2.4.1 © gsartor 2019 Motori molecolari - 88 -

88

**Table 1. Proposed kinesin superfamily protein (KIF) family nomenclature and features**

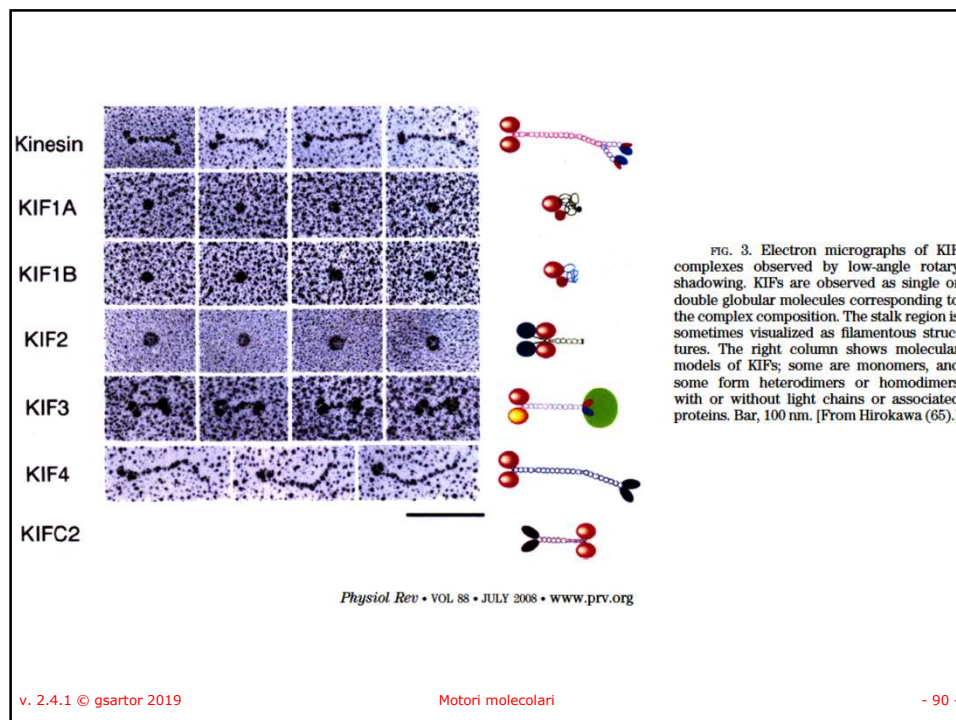
Standardized name	Previous nomenclature	Founding members <sup>a</sup>	Representative family members	Reported function/structural features	Member no. <sup>b</sup>
Kinesin-1	N-1 [2,16], KIN N-Conventional [5], KHC [20], Kinesin-I [19]	LpKHC P [21,22], DmKHC N [108]	KIF5B, KHC, NKin, DdK3, DdK5	Vesicle transport, conventional	3/1/14/3
Kinesin-2	N-4 [2,16], KIN N-Hetero [5], KRP85/95 [20], Kinesin-II [19]	MmKIF3A N [7], StrPuKRP85/95 P [30]	KIF3A/3B, KIF17, Krp85/95, Osm3, Fla10	Vesicle-intraflagellar transport/heterotrimeric	4/3/3/0/0
Kinesin-3	N-3 [2,16], KIN N-Monomeric [5], Unc104/KIF1 [20], Unc104 [19]	CeUnc104 N [36], MmKIF1B P [38]	KIF1A, KIF1B, KIF13A, UNC104, DdUnc104	Organelle transport/monomeric	8/4/2/0/1
Kinesin-4	N-5 [2,16], KIN N-Chromo [5], Chromokinesin /KIF4 [20], Chromokinesin [19]	MmKIF4 [45]	KIF4A, KIF21A/B, Chromokinesin	Organelle transport, chromosome movement	5/3/2/3/1
Kinesin-5	N-2 [2,16], KIN N-Bipolar [5], BimC [19,20]	AnBimC N [57], SchPoCut7 P [109]	KIF11, Eg5, BimC, CIN8, KIP1, Cut7	Spindle formation/homotetrameric, bipolar	1/1/1/4
Kinesin-6	N-6 [2,16], MKLP1 [20], MKLP [19]	CgCHO1 [61]	KIF20, KIF23, Rab6/Kinesin, CHO1, MKLP1	Cytokinesis, spindle polarity	5/2/1/0/1
Kinesin-7	N-7 [2,16], CENP-E [19,20]	ScKip2 N [110], HsCENP-E P [111]	KIF10, CENP-E, CMET, CANA, KIP2	Kinetochores microtubule capture	1/2/0/14/2
Kinesin-8	N-8 [2,16], KIP3 [19,20]	DmKLP67A [67]	KIF18B, KIF19A, KLP67A, KIP3	Nuclear migration, mitochondrial transport	3/2/1/2/0
Kinesin-9		CkKLP1 [72]	KIF6, KIF9, KRP3, CkKLP1	Unclear	2/0/0/0/0
Kinesin-10		DmNod N [112] P [113]	KIF22, KID, Nod	Chromosome segregation/helix-hairpin-helix DNA-binding motif	1/1/0/1/0
Kinesin-11	N-11 [2,16]	ScSmy1 N [74], P [75]	KIF26A, KIF26B, VAB8, SMY1	Signal transduction/divergent catalytic core	2/1/1/2/0
Kinesin-12		Xixmp2 [114]	KIF12, KIF15, HKLP2, KLP54D, Xkip2, PAKRPd	Organelle transport/homologous tail	2/1/0/6/0
Kinesin-13	M [2,16], KIN I [5], MCAK/KIF2 [20], I-Type [19]	MmKIF2A N [7], CgMCAK P [115]	KIF2A, MCAK, XKCM1, PKinI	Microtubule depolymerizing/central motor	4/3/2/1/1
Kinesin-14A	C-1 [2,16], KIN C-Mitotic [5], C-I [19]	ScKAR3 N [87], DmNCD P [116]	KIFC1, CHO2, Ncd, Kar3, KatA	Chromosome segregation/ C-terminal motor,	1/1/4/4/1
Kinesin-14B	N-1 [2,16], KIN C-Neuronal [5], C-II [19]	AiKCBP [117]	KIFC2, KIFC3, KatD, KCBP, KIF25, CeKLP10, DdK9	Organelle transport/C-terminal motor	3/0/1/16/0
Orphans				Ungrouped	0/0/2/2/1
					Total:
					45/25/19/60/10

<sup>a</sup>Code: N, founding member deduced from nucleotide sequence; P, founding member deduced from protein sequence.  
<sup>b</sup>Numbers of members in Human/Drosophila/Cenorhabditis elegans/Arabidopsis/Dictyostelium genomes.

**Analysis of the kinesin superfamily: insights into structure and function**  
 Harukata Miki, Yasushi Okada and Nobutaka Hirokawa  
 TRENDS in Cell Biology Vol.15 No.9 September 2005

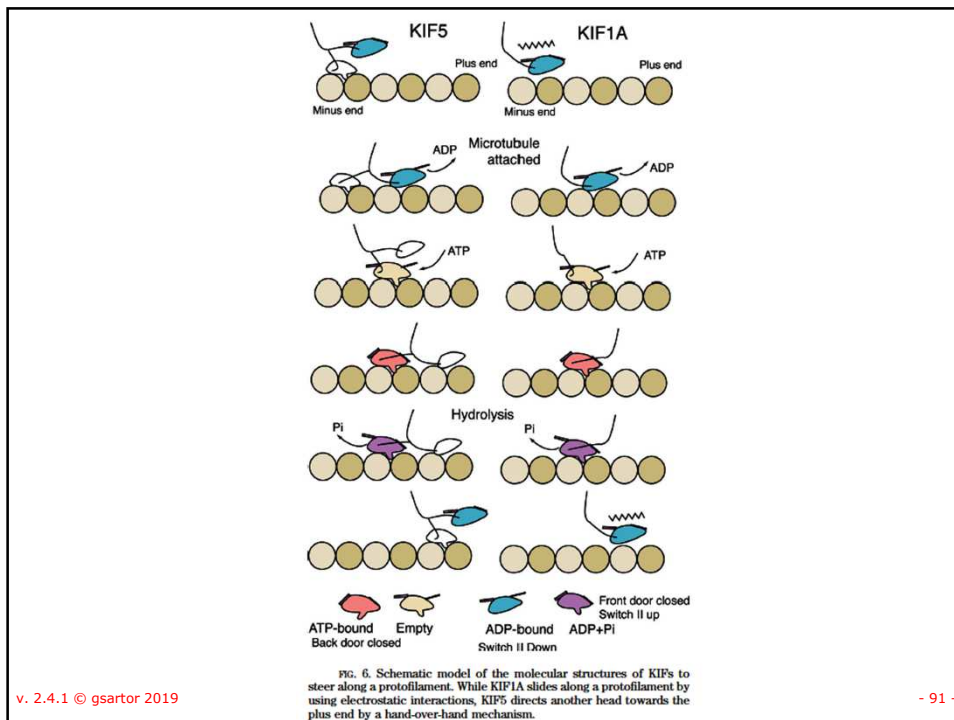
v. 2.4.1 © gsartor 2019 Motori molecolari

89

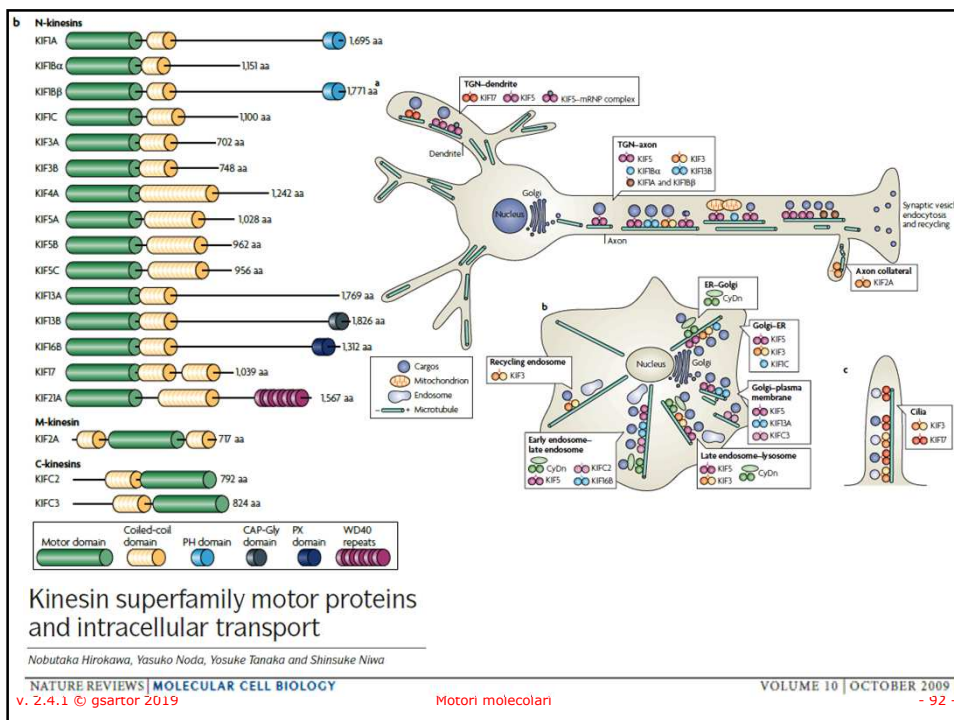


90

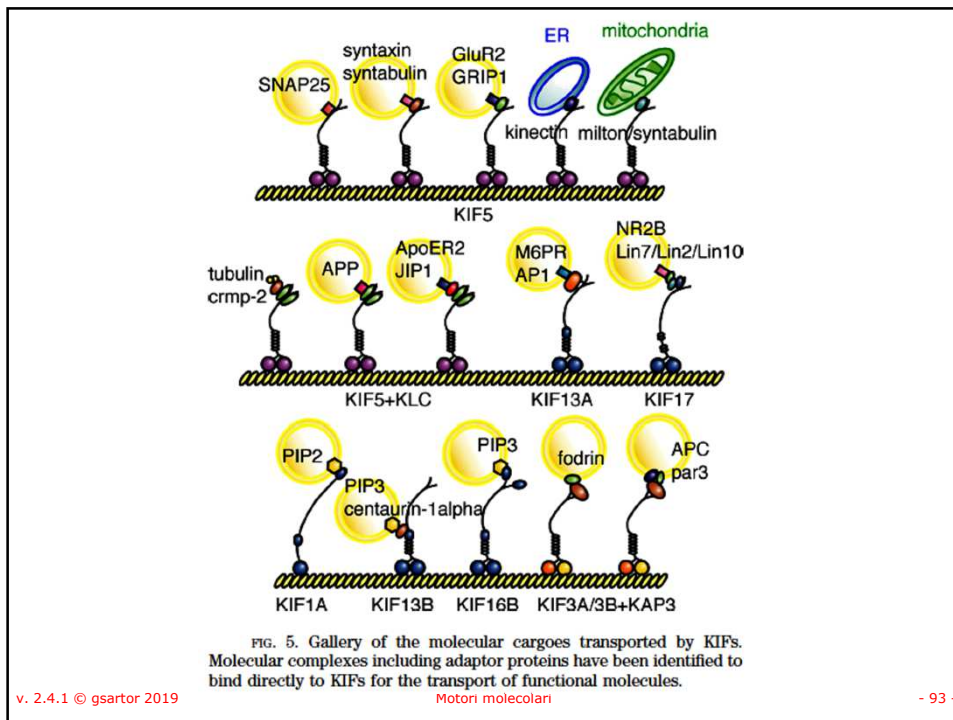




91



92



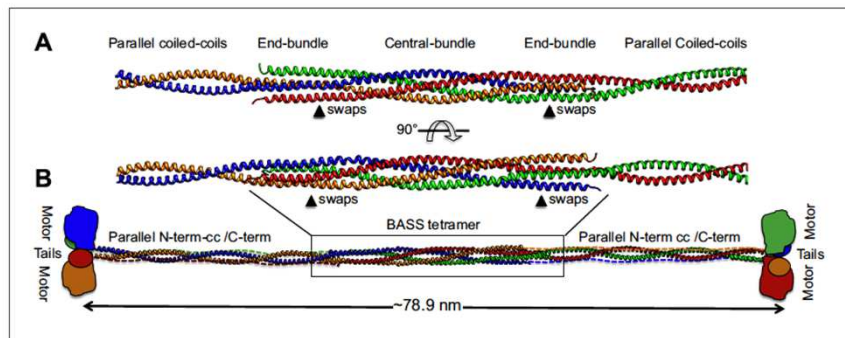
93

## Altre kinesine

- KIF1 manca il dominio coiled-coil e la catena pesante è monomerica.
- KIF11 è richiesta per la stabilizzazione del fuso mitotico, il suo blocco arresta le cellule in mitosi.
- La BimC è una kinesina coinvolta nella mitosi. il suo dominio di coda permette l'assemblaggio in dimeri che mediano il movimento reciproco di microtubuli. Simile come comportamento alla Miosina II con l'actina

v. 2.4.1 © gsartor 2019 - 94 -

94



**Figure 9.** Modeling the Kinesin-5 tetramer minifilament. (A) Model of Kinesin-5 central rod coiled-coil junction. Parallel coiled-coil structures were fit to the poles of the BASS tetramer by superimposing alpha carbons. The regions where the structures swap organization from an anti-parallel coiled-coil bundle to a parallel coiled-coil dimer are marked by arrowheads (swaps). (B) Cartoon of a full-length Kinesin-5 minifilament based on a model for the rod structure showing the central role of the BASS tetramer in organizing the N-terminal coiled-coil registers and positioning the C-terminal region to fold onto the N-terminal coiled-coil filament. The Kinesin-5 N-terminal motor and C-terminal tail domains, both bind MTs, are organized through long range folding of the BASS tetramer at the center of the Kinesin-5 rod.  
 DOI: 10.7554/eLife.02217.019

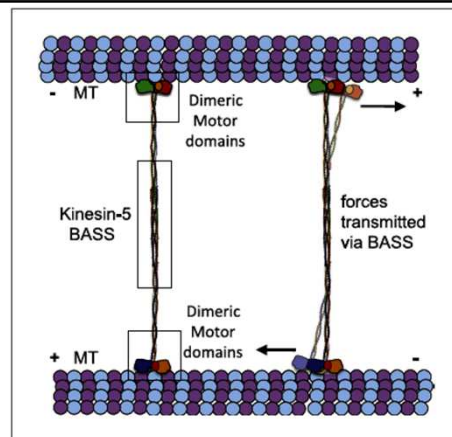
### Structural basis for the assembly of the mitotic motor Kinesin-5 into bipolar tetramers

Jessica E Scholey<sup>†</sup>, Stanley Nithianantham<sup>†</sup>, Jonathan M Scholey, Jawdat Al-Bassam\*  
 Motori molecolari

v. 2.4.1 © gsartor 2019

- 95 -

95



**Figure 10.** The implications of BASS structure on the Kinesin-5 motility and force transfer mechanism. Schematic model of Kinesin-5 minifilament showing the potential role of BASS in force transfer between two motile ends of Kinesin-5 tetramers: the orientation of Kinesin-5 tetramers and role of BASS bipolar tetramer in transmitting the forces between two motile Kinesin-5 ends.

v. 2.4.1 © gsartor 2019

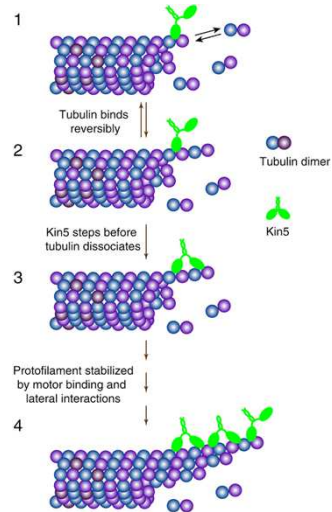
Motori molecolari

- 96 -

96

## Altre funzioni

- Le kinesine-5 sono responsabili della separazione dei microtubuli e il mantenimento della loro polarità nella separazione delle cellule e della regolazione della crescita degli assoni nelle cellule nervose.



Kinesin-5 is a microtubule polymerase  
Yalei Chen & William O. Hancock  
NATURE COMMUNICATIONS (2015) 6:8160

v. 2.4.1 © gsartor 2019

Motori molecolari

- 97 -

97



98

## Dineina/e

- Le dineine si possono dividere in due gruppi: citoplasmatiche e di assonema (dette anche dineine ciliari o flagellari).
  - **Dineine citoplasmatiche**
    - Geni che codificano per la catena pesante: DYNC1H1, DYNC2H1
    - Geni che codificano per la catena intermedia: : DYNC1I1, DYNC1I2
    - Geni che codificano per la catena intermedia leggera : DYNC1LI1, DYNC1LI2, DYNC2LI1
    - Geni che codificano per la catena leggera : DYNLL1, DYNLL2, DYNLRB1, DYNLRB2, DYNLT1, DYNLT3
  - **Dineine di assonema**
    - Geni che codificano per la catena pesante: DNAH1, DNAH2, DNAH3, DNAH5, DNAH6, DNAH7, DNAH8, DNAH9, DNAH10, DNAH11, DNAH12, DNAH13, DNAH14, DNAH17
    - Geni che codificano per la catena intermedia: DNAI1, DNAI2
    - Geni che codificano per la catena intermedia leggera: DNALI1
    - Geni che codificano per la catena leggera: DNAL1, DNAL4

v. 2.4.1 © gsartor 2019

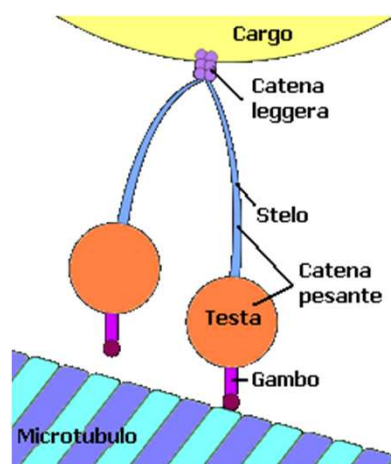
Motori molecolari

- 99 -

99

## Dineina

- Le dineine sono motori che si dirigono verso l'estremità (-) del microtubulo.
- Sono state studiate per prime nelle ciglia e nei flagelli (assonema)
- Le dineine citoplasmatiche mediano il trasporto retrogrado ATP dipendente verso il centrosoma (MTOC-microtubule organizing center).



v. 2.4.1 © gsartor 2019

Motori molecolari

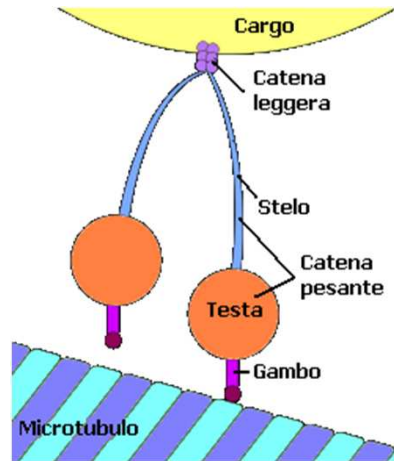
- 100 -

100



## Dineina

- La dineina citoplasmatica ha un peso molecolare maggiore di  $10^6$ .
- È formata da catene pesanti di circa 4600 AA che contengono il dominio motore.
- Sono presenti catene di peso intermedio e leggero.
- Sono anche presenti complessi o proteine che mediano il legame con il cargo (vescicole).



v. 2.4.1 © gsartor 2019

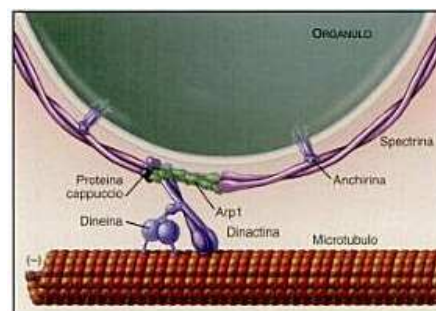
Motori molecolari

- 101 -

101

## Dineina

- La dineina citoplasmatica ha un peso molecolare maggiore di  $10^6$ .
- È formata da catene pesanti di circa 4600 AA che contengono il dominio motore.
- Sono presenti catene di peso intermedio e leggero.
- Sono anche presenti complessi o proteine che mediano il legame con il cargo (vescicole).



v. 2.4.1 © gsartor 2019

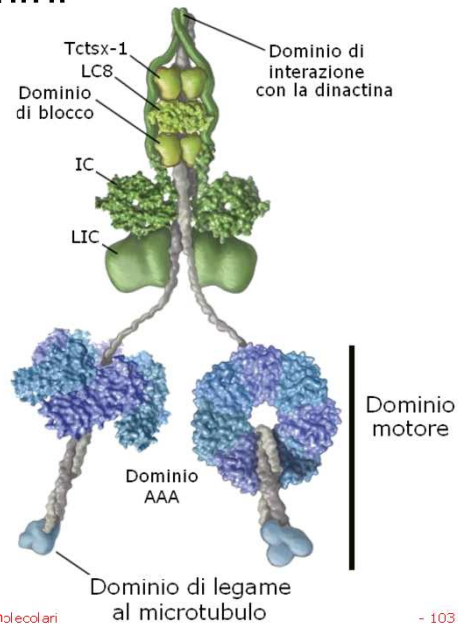
Motori molecolari

- 102 -

102

## Domini

- Dal dominio motore si estende un gambo che termina in un piccolo dominio globulare che interagisce con il microtubulo.
- Il gambo previene le interazioni steriche quando dineine multiple interagiscono con il microtubulo.
- Il gambo forma un sistema a struttura coiled-coil la cui  $\alpha$ -elica interagisce da una parte con il sistema motore (catena pesante) e dall'altra con il dominio di legame al microtubulo.



v. 2.4.1 © gsartor 2019

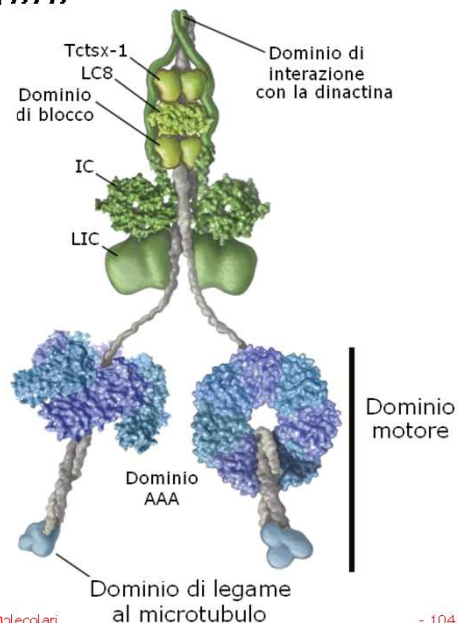
Motori molecolari

- 103 -

103

## Domini

- Ogni dominio motore è formato da sei domini ATPasi della famiglia AAA.
- Uno dei domini AAA è il dominio ATPasico che gestisce il movimento.
- Il gambo protrude tra due dei domini AAA.



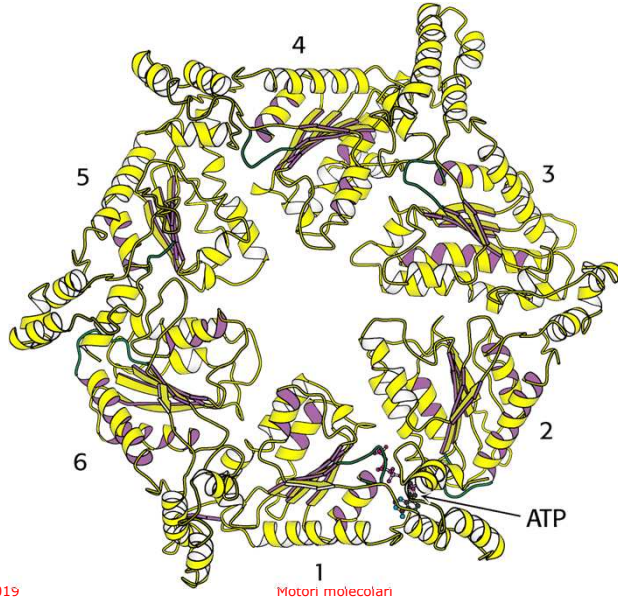
v. 2.4.1 © gsartor 2019

Motori molecolari

- 104 -

104

# Dineina



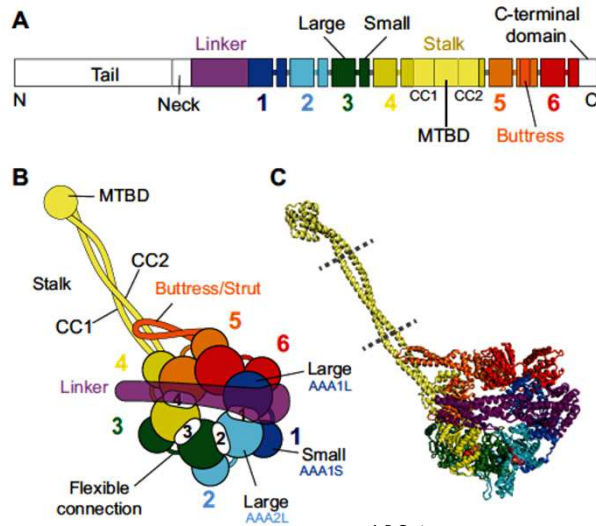
v. 2.4.1 © gsartor 2019

Motori molecolari

- 105 -

105

# Architettura del motore



A.P.Carter  
Crystal clear insights into how the dynein motor moves  
Journal of Cell Science 126, 705-713

v. 2.4.1 © gsartor 2019

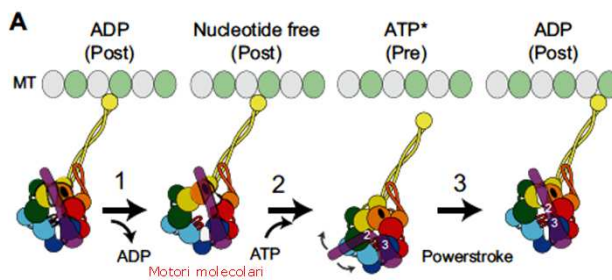
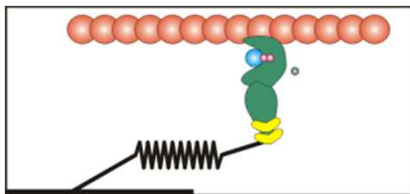
Motori molecolari

- 106 -

106

# Dineina

- Il movimento della Dineina è pilotato dall'idrolisi dell'ATP.

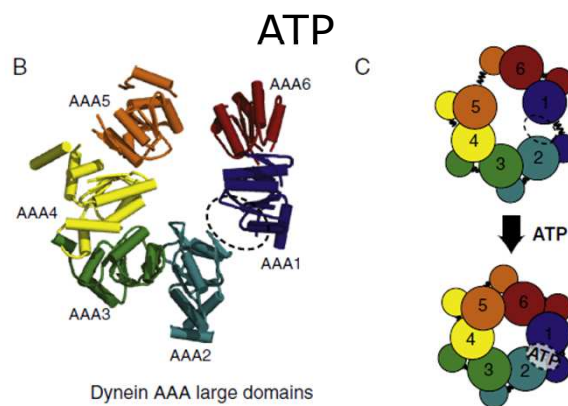


A.P.Carter  
Crystal clear insights into how the  
dynein motor moves  
Journal of Cell Science 126, 705-713

v. 2.4.1 © gsartor 2019

- 107 -

107



Dynein AAA large domains

- ATP si lega ad AAA1 (sito idrolitico principale)
- AAA1 e AAA2 si avvicinano
- Si ha il ripiegamento del linker e un cambiamento conformazionale su tutto il dominio motore
- La dineina si muove sul microtubulo
- Mutando AAA1 non si ha movimento

C.Cho, R.D.Vale.  
The mechanism of dynein motility: Insight from crystal structures of the motor domain.  
Biochimica et Biophysica Acta 1823 (2012) 182-191

v. 2.4.1 © gsartor 2019

Motori molecolari

- 108 -

108

## AAA3

- Regola la comunicazione tra AAA1 e il Linker
  - Legame con **ATP**: **Movimento bloccato**
  - Legame con **ADP**: **Movimento permesso**

**Nucleotide**

v. 2.4.1 © gsartor 2019 Motori molecolari - 109 -

109

## Interazione con il microtubulo

**A**

**B**

**C**

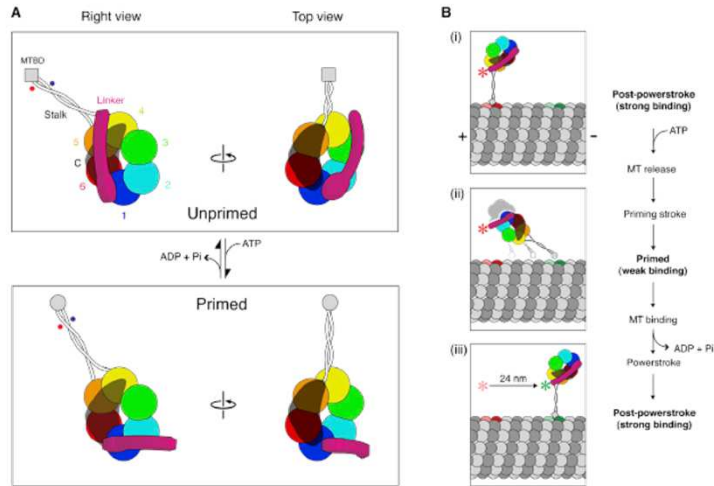
**D**

v. 2.4.1 A.P.Carter  
Crystal clear insights into how the  
dynein motor moves  
Journal of Cell Science 126, 705-713 - 110 -

110



# Meccanismo



**Figure 7.**  
Model for the Structure and Priming Stroke of Dynein

## AAA+ Ring and Linker Swing Mechanism in the Dynein Motor

Anthony J. Roberts<sup>1</sup>, Naoki Nymata<sup>2</sup>, Matt L. Walker<sup>3</sup>, Yusuke S. Kato<sup>1</sup>, Bara Malkova<sup>1</sup>, Takahide Kon<sup>2</sup>, Reiko Ohkura<sup>2</sup>, Fumio Arisaka<sup>1</sup>, Peter J. Knight<sup>1</sup>, Kazuo Sutoh<sup>2,4,5</sup>, and Stan A. Burgess<sup>1,4,5</sup>

*Cell*, 2009 February 06, 136(3): 485–495.

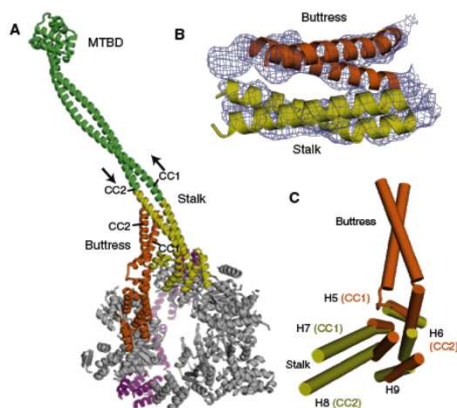
v. 2.4.1 © gsartor 2019

Motori molecolari

- 111 -

111

# Meccanismo



**Fig. 5.** The stalk and buttress coiled coils. (A) The motor domain, highlighting the stalk and buttress, viewed from the C-terminal face. The stalk from this crystal structure is highlighted in yellow, and the green extension is a continuation of the stalk modeled with an antiparallel coiled coil of the proper length. The MTBD and distal coiled coil is from a previously solved crystal structure (PDB code 3ERR). (B) The experimental electron density map (1  $\sigma$  contour) and model showing the likely interaction of the distal part of the buttress with the stalk. (C) The small domains of AAA4 and AAA5 show that H7 and H8 extend into the stalk coiled coil, and H5 and H6 extend into the buttress coiled coil.

## Crystal Structure of the Dynein Motor Domain

Andrew P. Carter,<sup>1,2,3,4</sup> Carol Cho,<sup>1,4</sup> Lan Jin,<sup>2</sup> Ronald D. Vale<sup>2,4</sup>

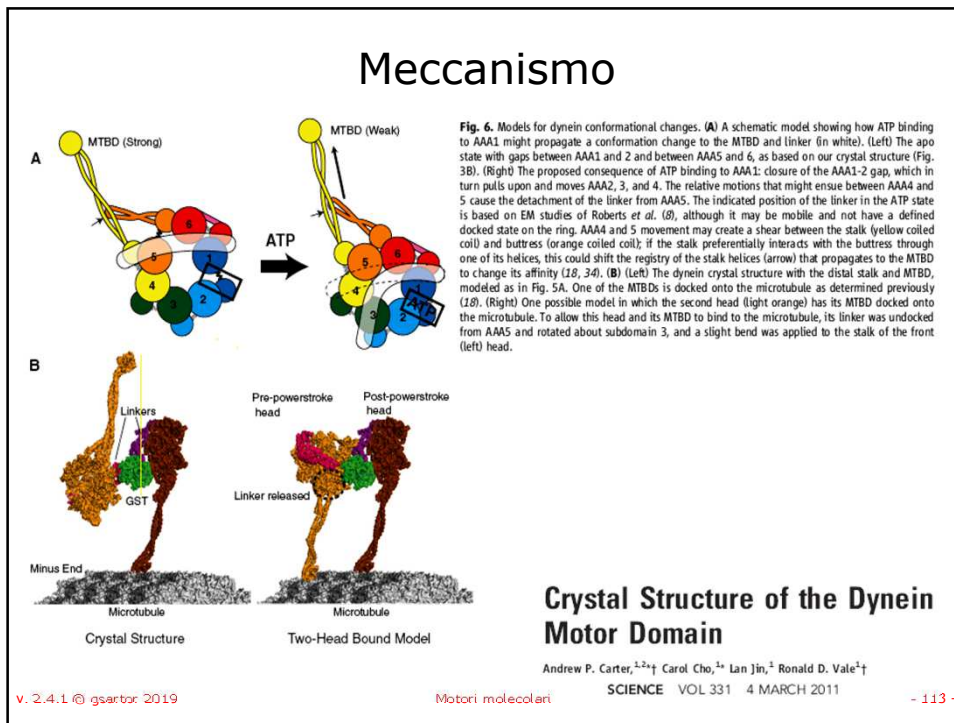
*SCIENCE* VOL 331 4 MARCH 2011

v. 2.4.1 © gsartor 2019

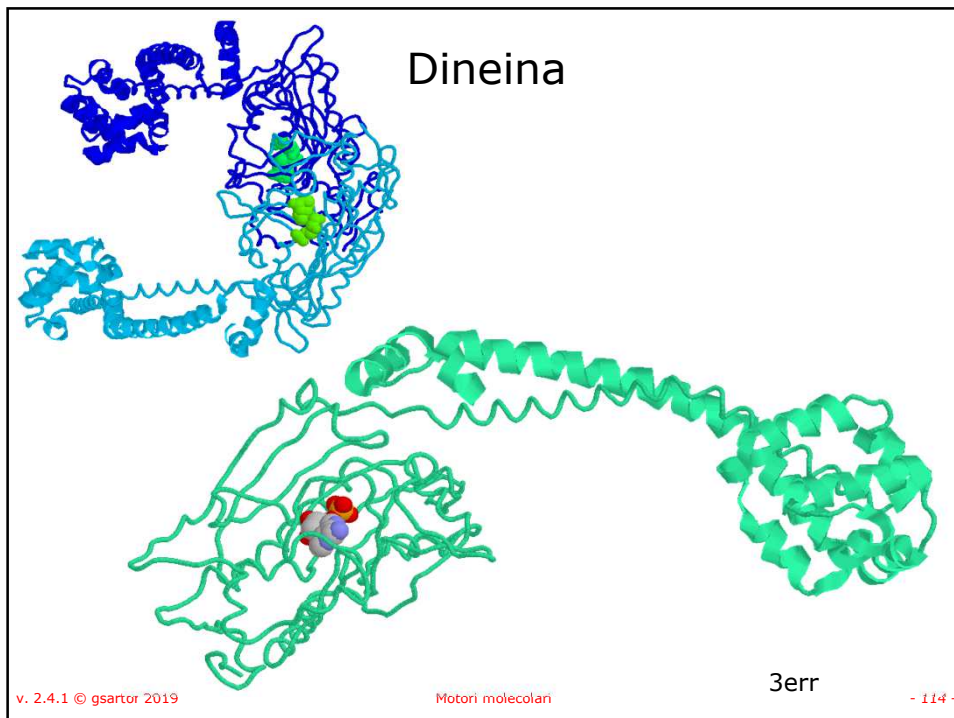
Motori molecolari

- 112 -

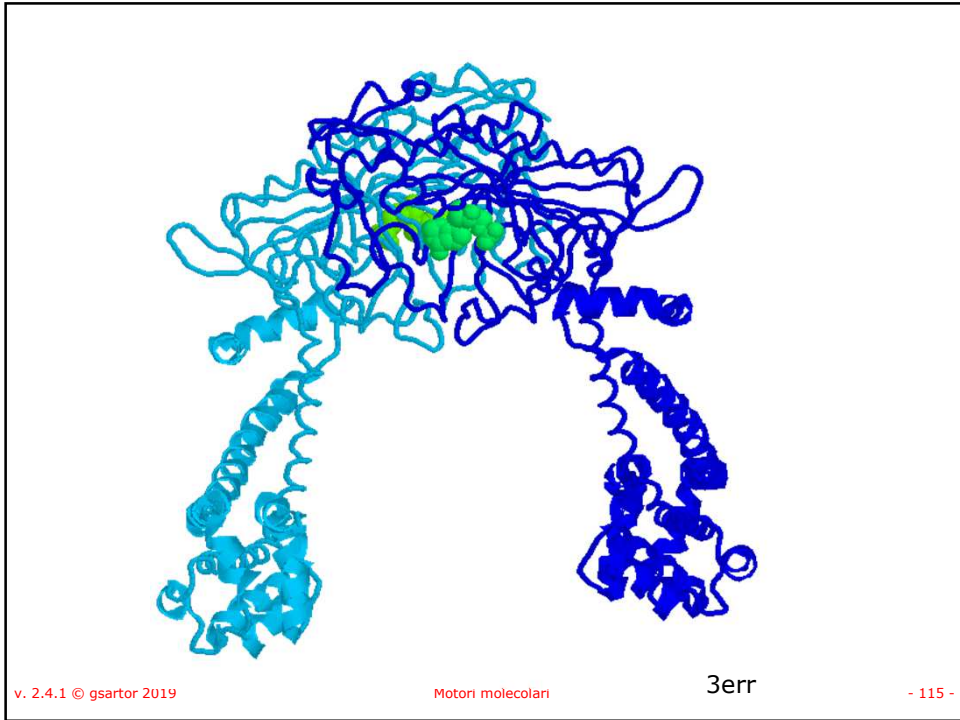
112



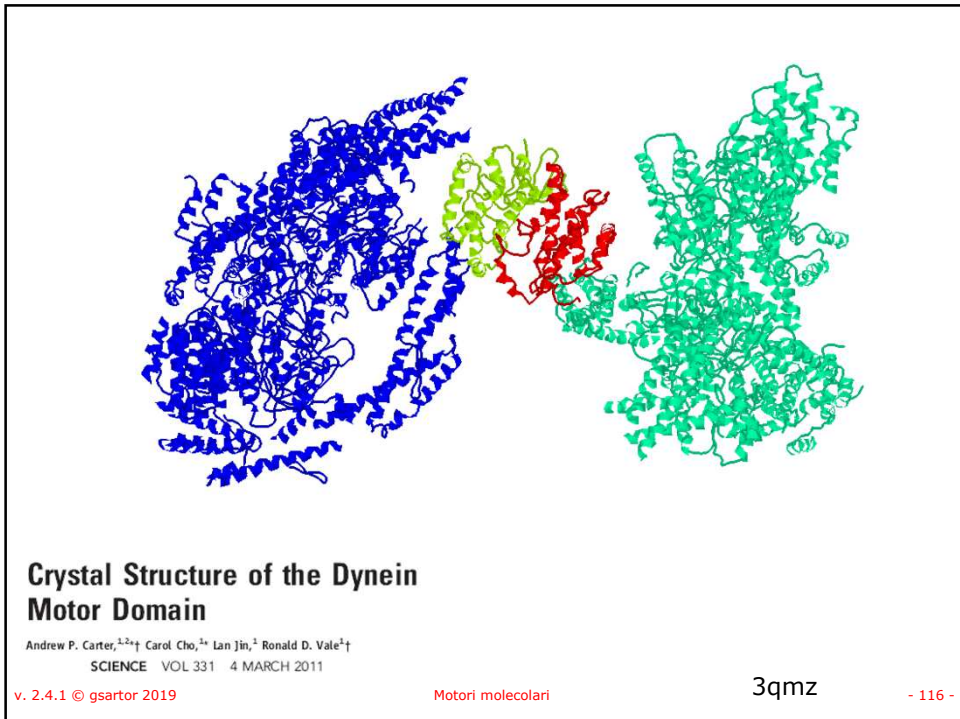
113



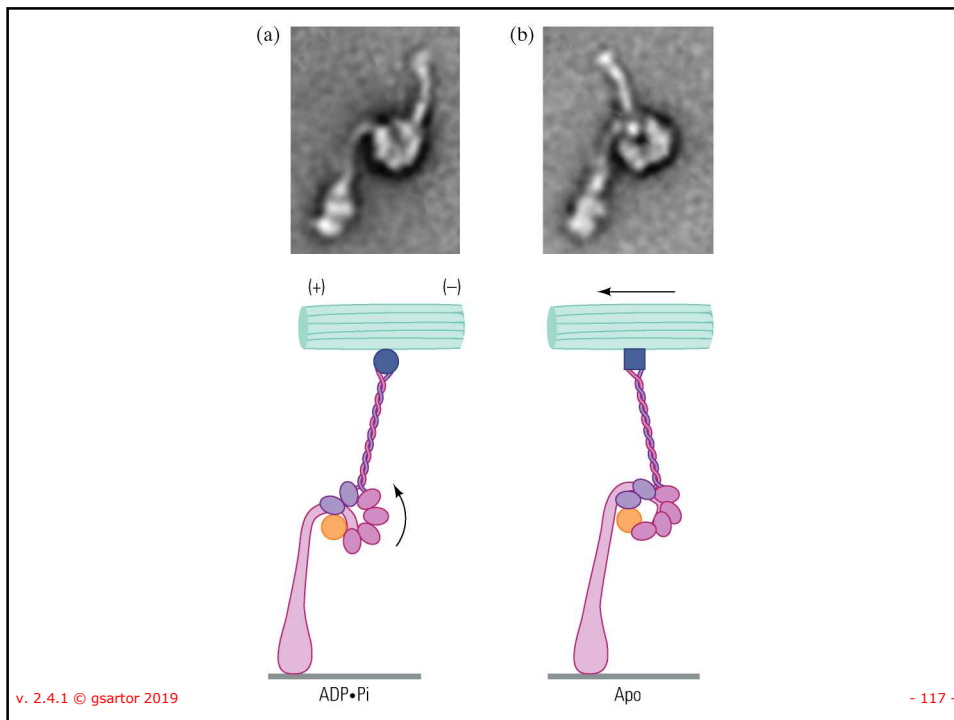
114



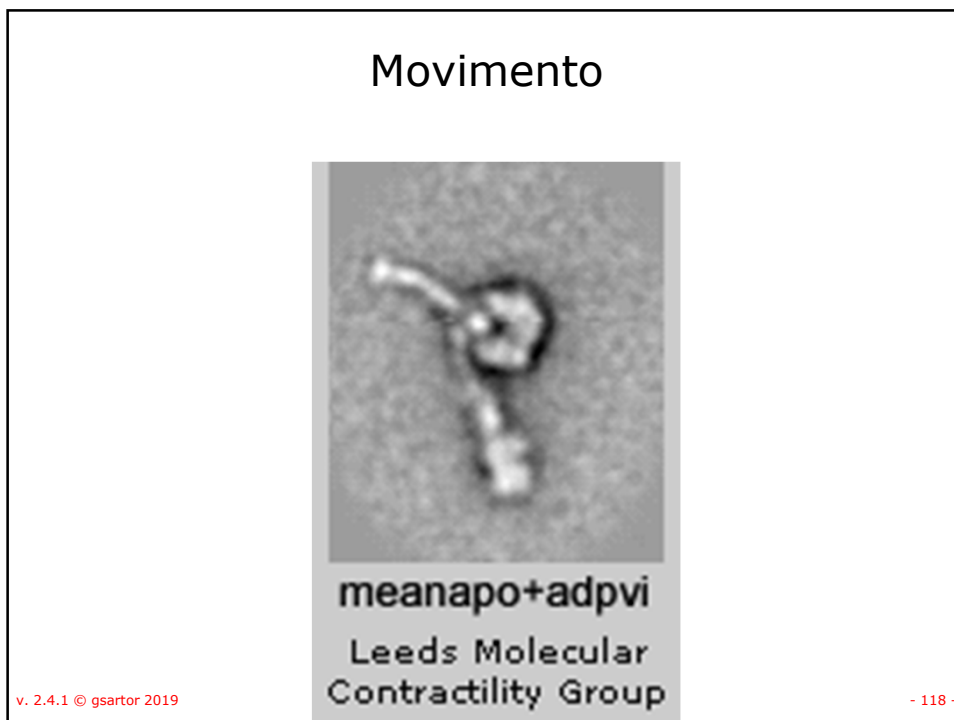
115



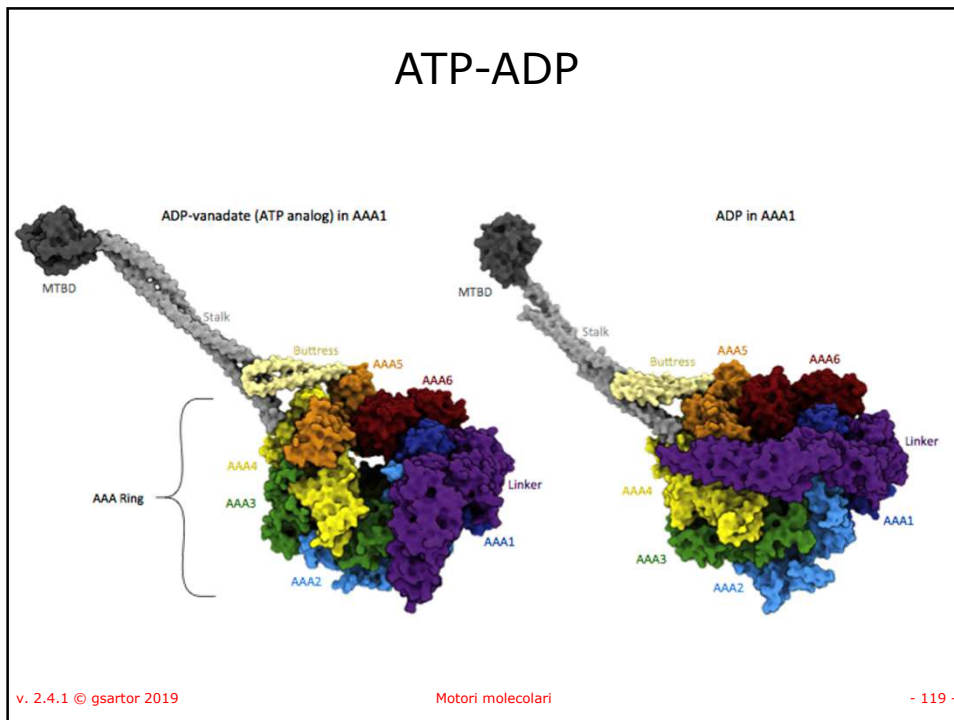
116



117



118



119

## Meccanismo

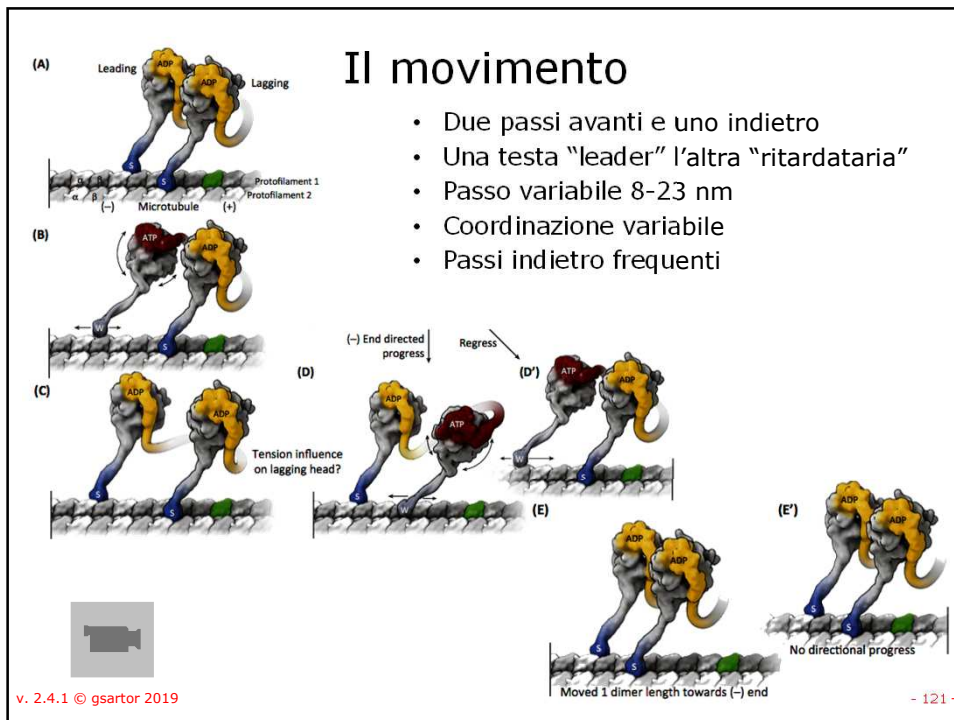
**Fig. 4.** Model for directional movement of dynein. **(A)** After release from the microtubule, the dynein is in a preconformational change (power stroke) state, with the linker domain (yellow) docked on the AAA+ domain (light blue circle) somewhat removed from the base of the stalk (gray). The rest of the dynein tail domain is represented as a loose spring attached to a cargo (red). The dynein MTBD (dark blue) is diffusing to a new site on the microtubule. **(B)** The MTBD preferentially enters a tightly bound state after binding toward the minus end, with the stalk at an angle. **(C)** An ATP-driven conformational change in the linker domain produces motion whose main vector directional component is parallel to the direction of the stalk (red arrow). The angle of the stalk thus converts this tension generated by the AAA+ domain into a displacement toward the minus end of the microtubule (as shown by the vector diagram), regardless of the orientation of the AAA+ ring.

**Structure and Functional Role of Dynein's Microtubule-Binding Domain**  
Andrew P. Carter,<sup>1\*</sup> Joan E. Garbarino,<sup>2\*</sup> Elizabeth M. Wilson-Kubalek,<sup>3</sup> Wesley E. Shipley,<sup>2</sup> Carol Cho,<sup>1</sup> Ronald A. Milligan,<sup>3</sup> Ronald D. Vale,<sup>1†</sup> I. R. Gibbons<sup>2</sup>  
 12 DECEMBER 2008 VOL 322 SCIENCE

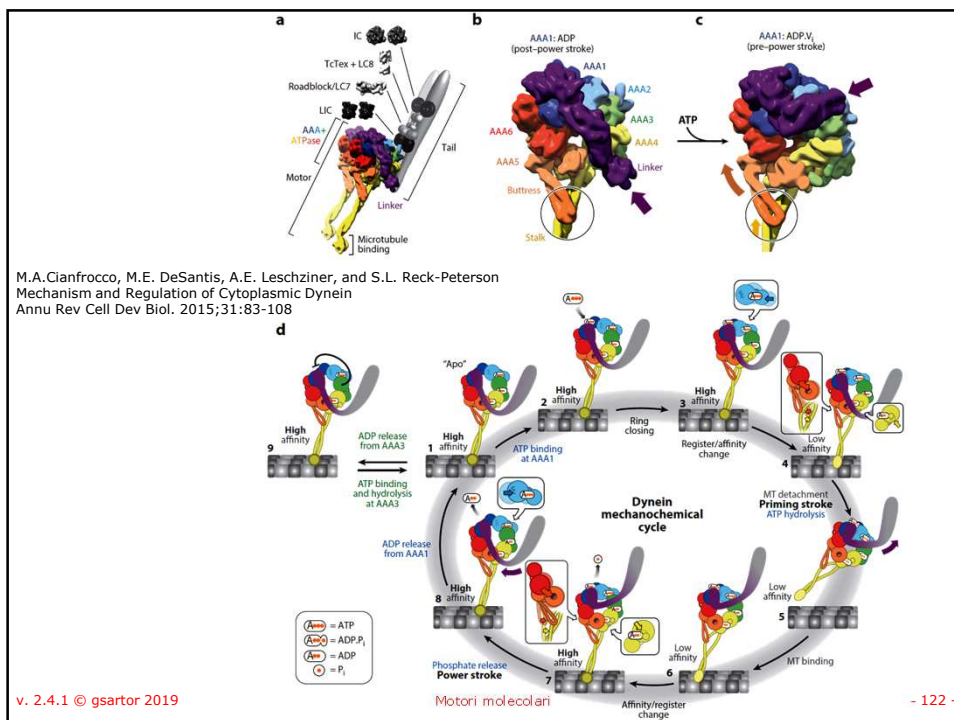
v. 2.4.1 © gsartor 2019 Motori molecolari - 120 -

120



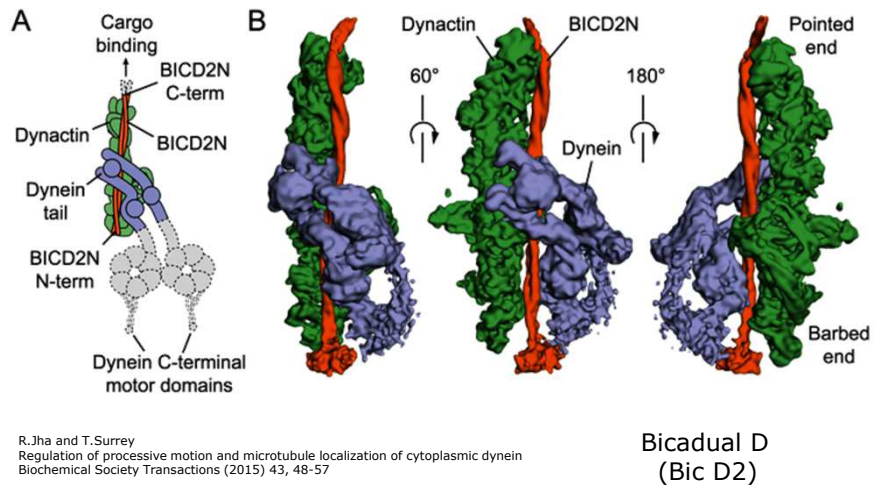


121



122

## Dineina-Dinactina-Cargo



v. 2.4.1 © gsartor 2019

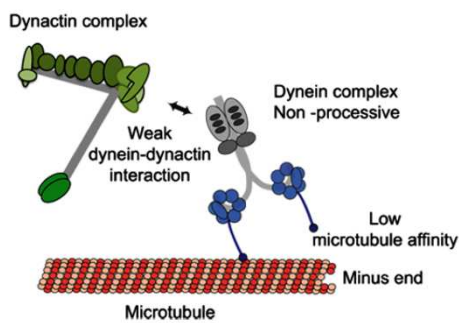
Motori molecolari

- 123 -

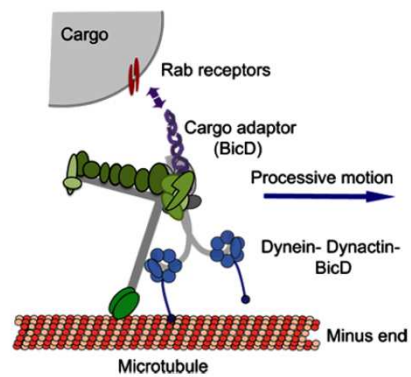
123

## Dineina-Dinactina-Cargo

Absence of cargo adaptors:



Presence of cargo adaptors:



R.Jha and T.Surrey  
Regulation of processive motion and microtubule localization of cytoplasmic dynein  
Biochemical Society Transactions (2015) 43, 48-57

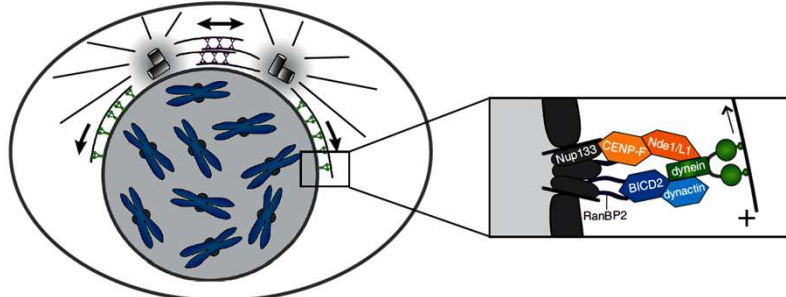
v. 2.4.1 © gsartor 2019

Motori molecolari

- 124 -

124

## Dineina e mitosi



**Fig. 2** Nuclear envelope-associated dynein drives prophase centrosome separation. In prophase, dynein (*green*) anchored to the nuclear pores pulls the centrosomes apart together with Eg5 (*purple*) that acts by pushing the centrosomes apart via antiparallel microtubule sliding. *Inlay* illustrates the players that act to recruit dynein to the nuclear envelope.

One pathway involves BICD2 that is anchored to the nuclear pores via RanBP2. A secondary pathway that contributes to dynein activity at the nuclear envelope involves CENP-F and Nde1/L1 that are recruited to the nuclear pores via Nup133

J. A. Raaijmakers & R. H. Medema  
Function and regulation of dynein in mitotic chromosome segregation  
*Chromosoma* (2014) 123:407-422

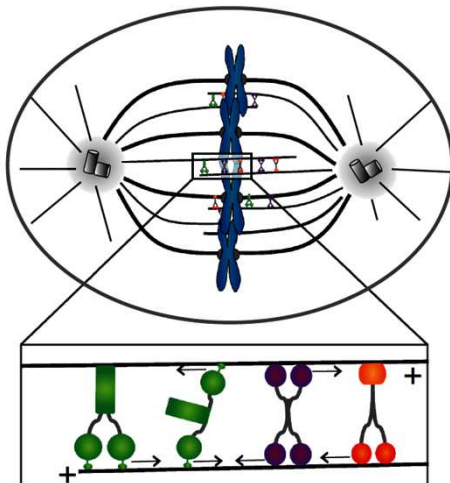
v. 2.4.1 © gsartor 2019

Motori molecolari

- 125 -

125

## Dineina e mitosi



**Fig. 3** Antagonistic forces in bipolar spindle assembly. During (pro)metaphase, dynein provides an inward force by sliding antiparallel microtubules inward. This sliding can occur by dynein walking on one microtubule with both motor domains while being anchored to the other. Alternatively, dynein can "split" its legs and produce a sliding force by walking on two individual microtubules simultaneously. In addition to dynein, kinesin-14 has also been shown to provide an inward force in the spindle. The plus-end-directed motors Eg5 and Kif15 counteract the inward forces in the spindle. Eg5 is a kinesin-5 tetrameric motor that has motor domains on two sides, thereby allowing antiparallel microtubule sliding. On the contrary, Kif15 is a dimeric motor but uses an adaptor protein, Tpx2 to create forces in the spindle. The *arrows* indicate the direction of the relevant motor and the "+" indicates the polarity of the microtubule

J. A. Raaijmakers & R. H. Medema  
Function and regulation of dynein in mitotic chromosome segregation  
*Chromosoma* (2014) 123:407-422

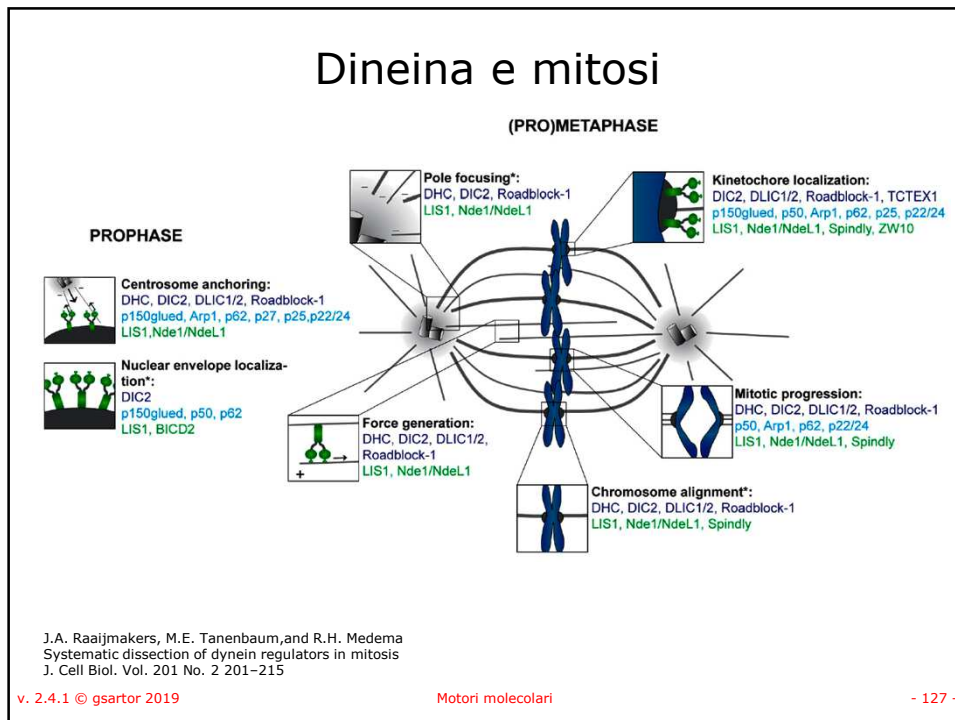
v. 2.4.1 © gsartor 2019

Motori molecolari

- 126 -

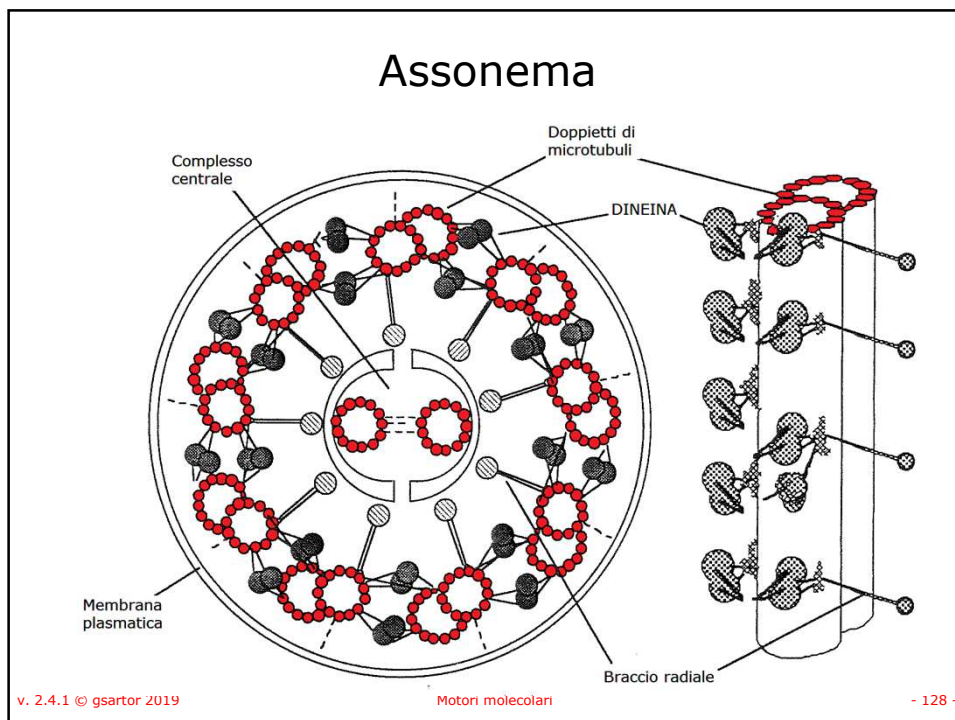
126

# Dineina e mitosi



127

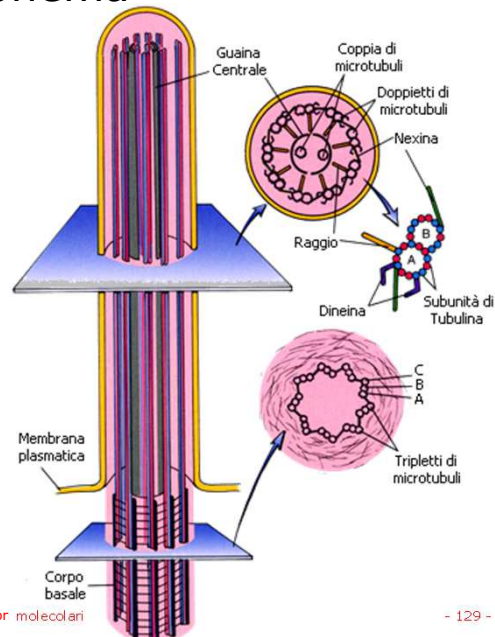
# Assonema



128

## Assonema

- Struttura tubulare che forma le ciglia e i flagelli
- I flagelli sono in genere uno o due per cellula
- Tendono ad avere un movimento sinusoidale.
- Le ciglia sono normalmente molte per cellula
- Hanno un movimento a "frusta".



v. 2.4.1 © gsartor 2019

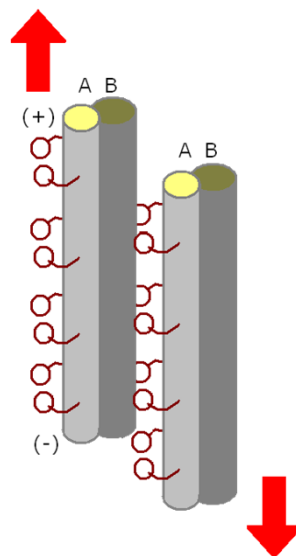
Motori molecolari

- 129 -

129

## Ciglia e flagelli

- Il piegamento delle ciglia è dovuto al movimento del dominio motore ATP-dipendente.
- Avviene lo slittamento di un filamento sull'altro
  - in microtubuli flagellari isolati, porta all'allungamento.
  - in microtubuli flagellari intatti porta la piegamento del ciglio o del flagello.



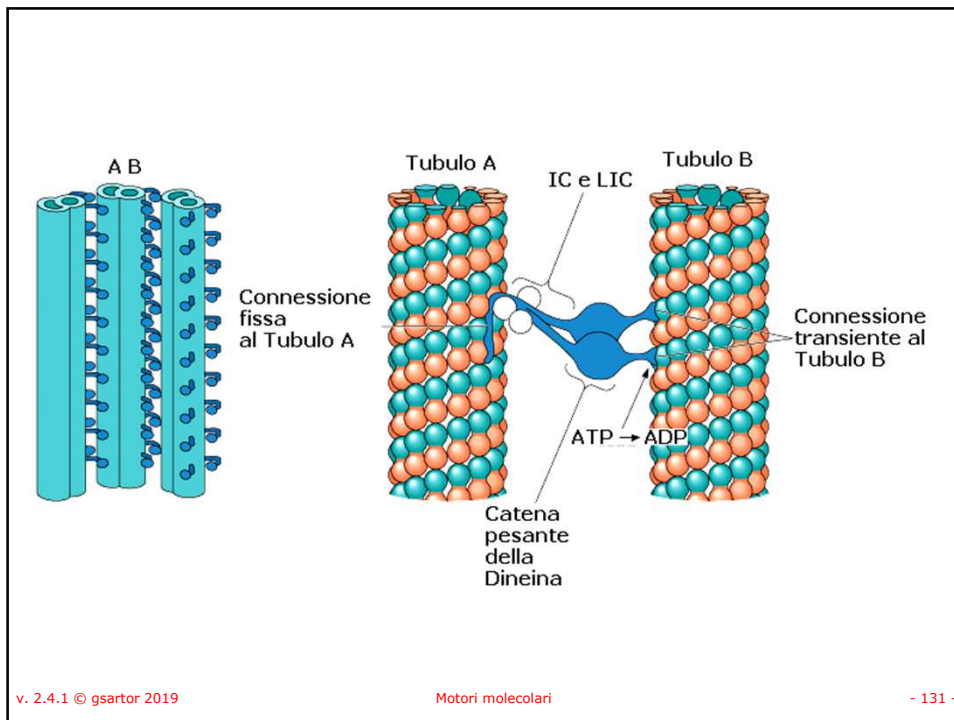
v. 2.4.1 © gsartor 2019

Motori molecolari

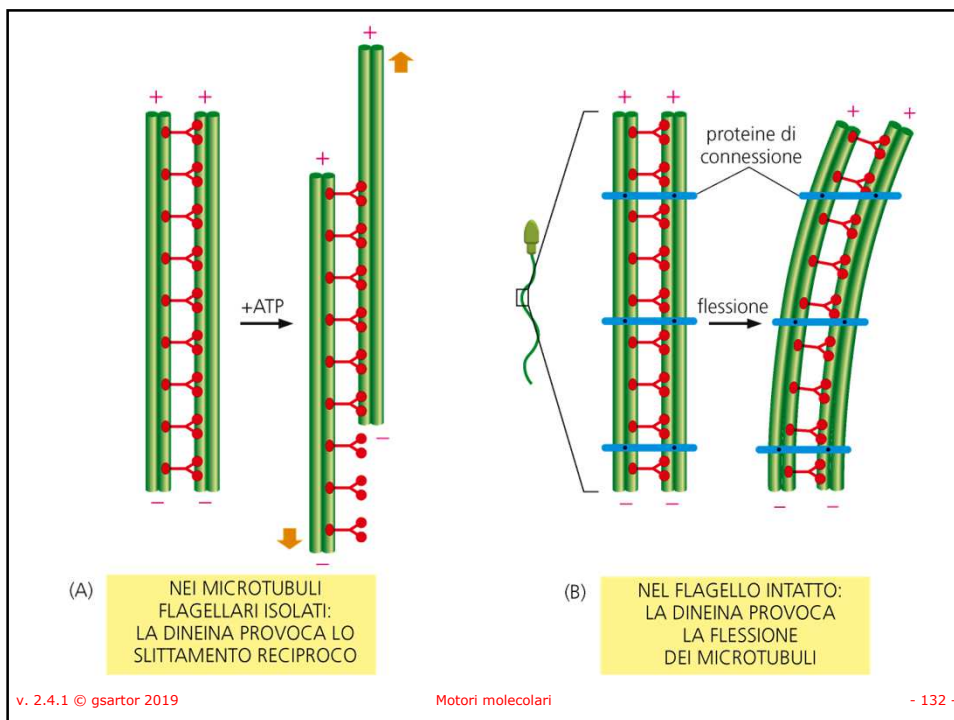
- 130 -

130

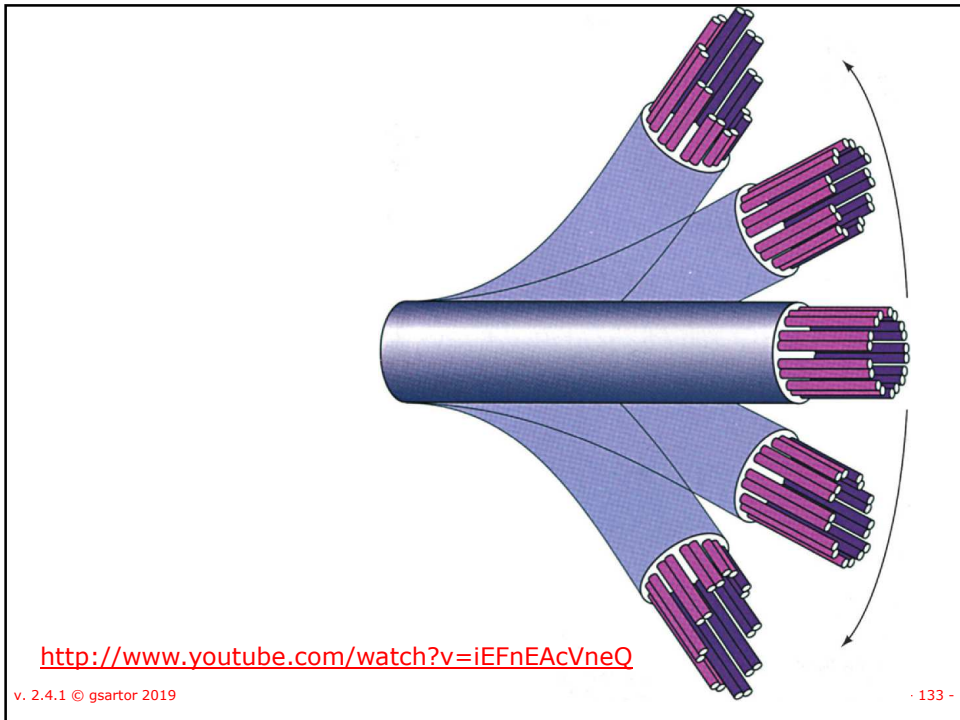




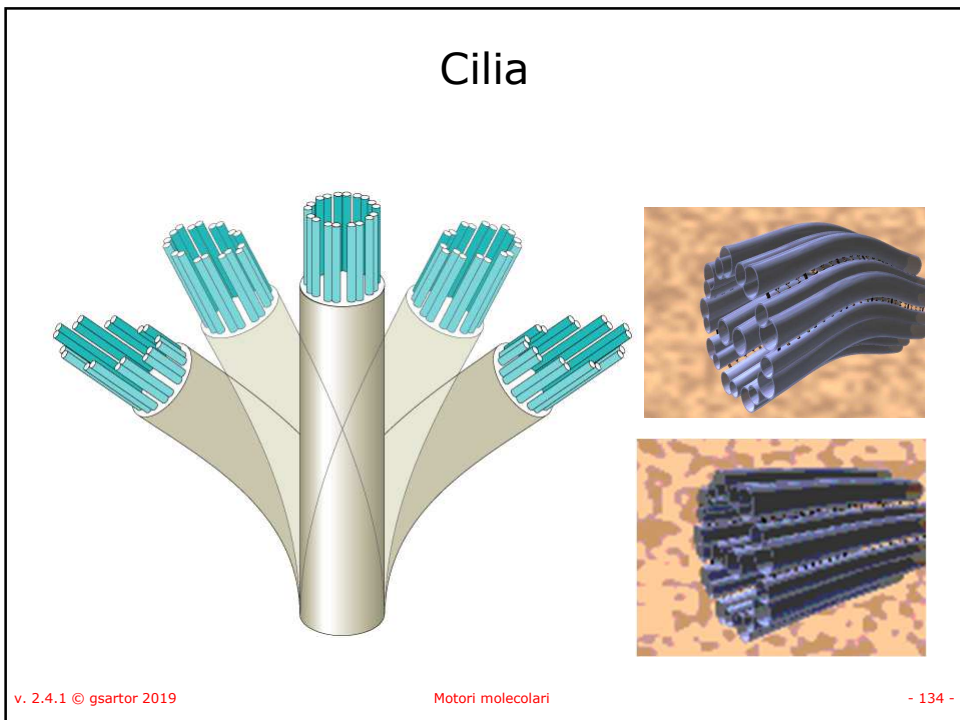
131



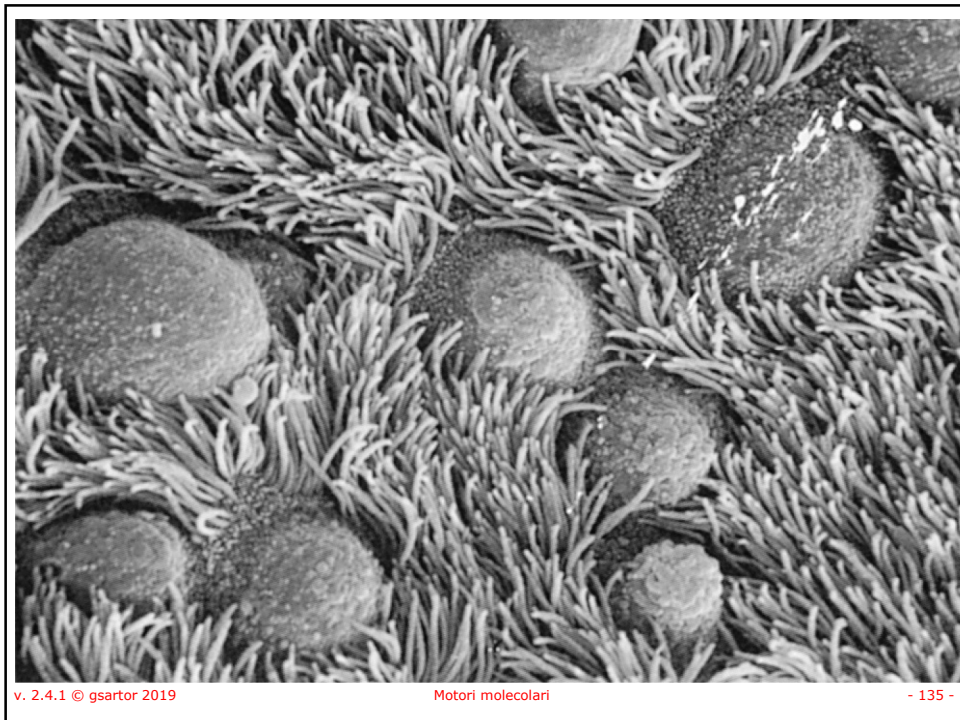
132



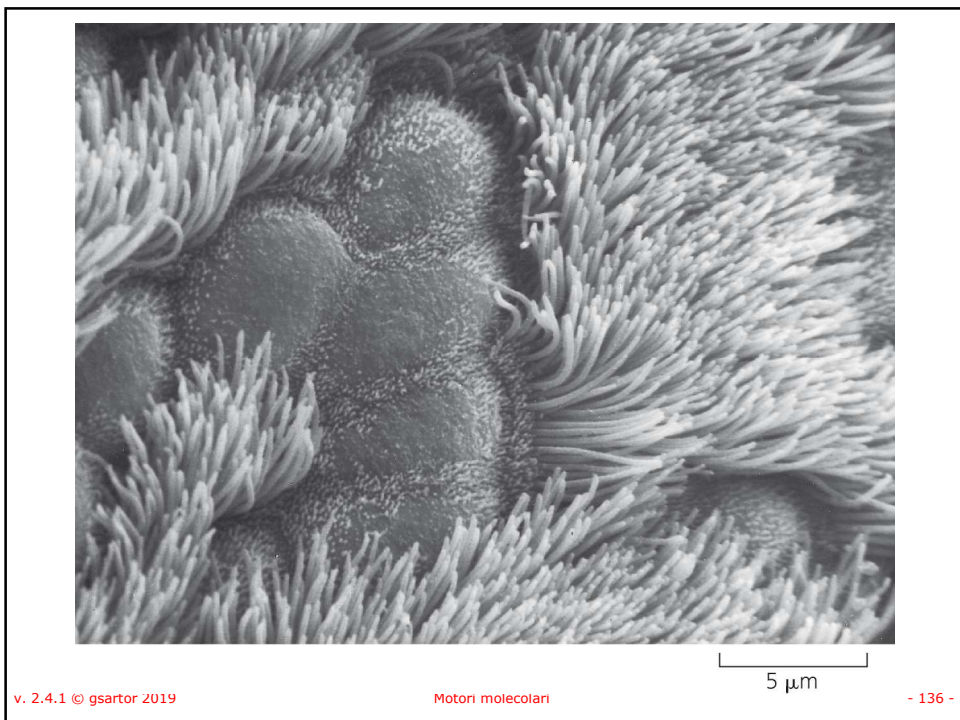
133



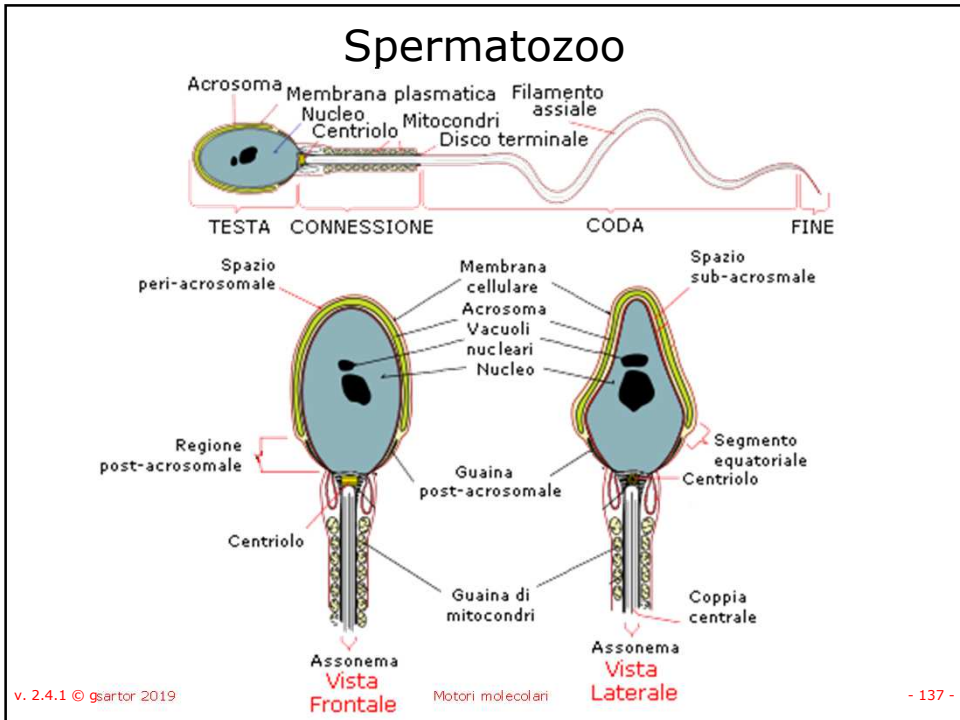
134



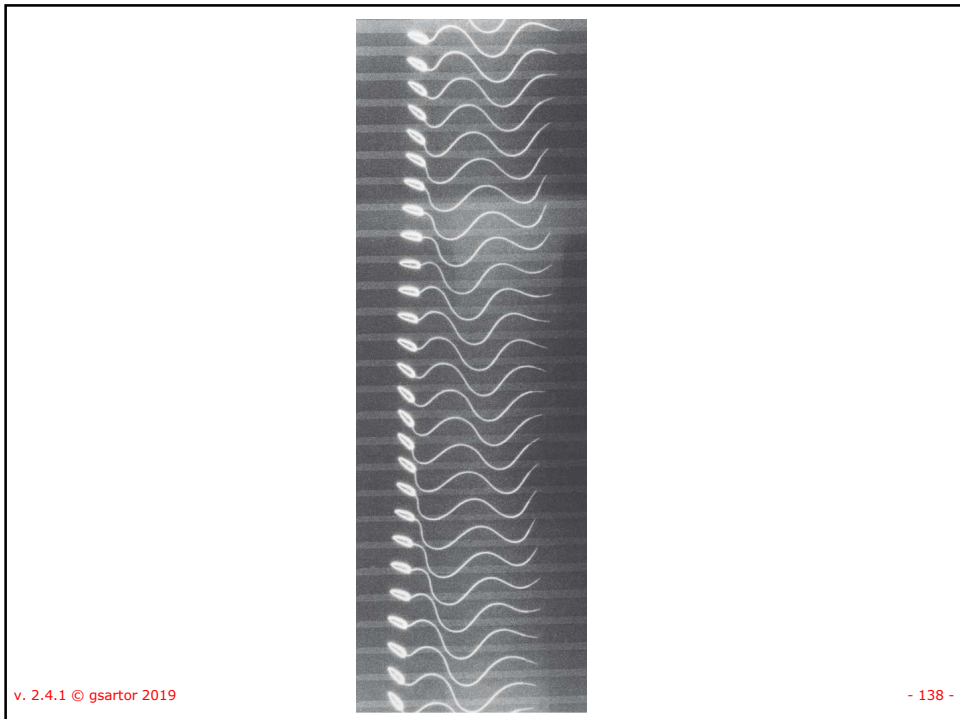
135



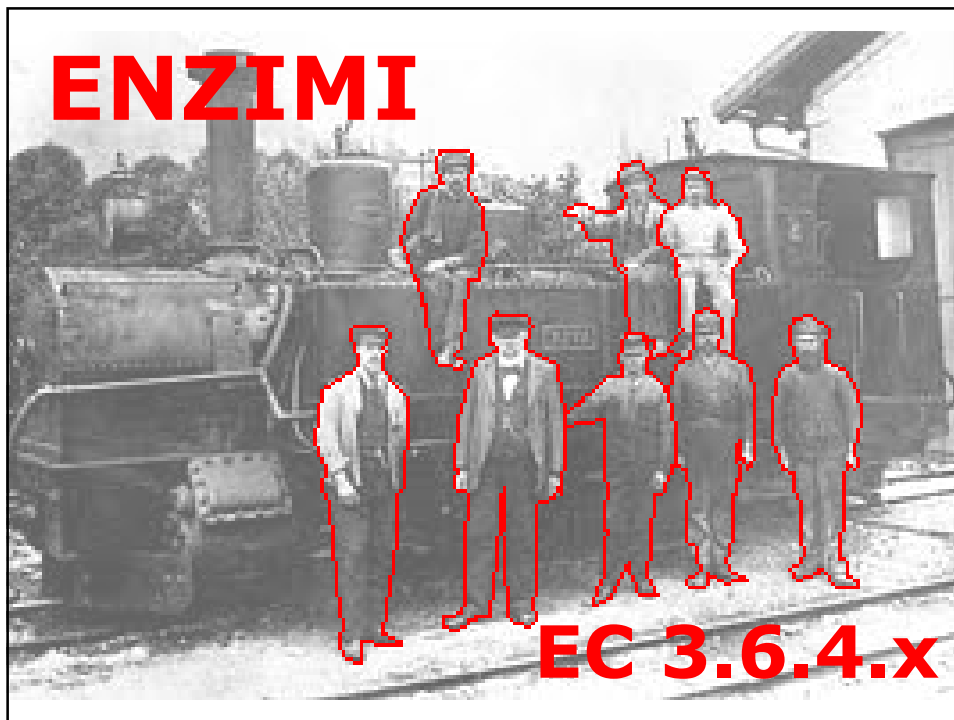
136



137



138



139

Acting on acid anhydrides to facilitate cellular and subcellular movement

- **EC 3.6.4.1 myosin ATPase**
- **EC 3.6.4.2 dynein ATPase**
- **EC 3.6.4.3 microtubule-severing ATPase**
- **EC 3.6.4.4 plus-end-directed kinesin ATPase**
- **EC 3.6.4.5 minus-end-directed kinesin ATPase**
- EC 3.6.4.6 vesicle-fusing ATPase
- EC 3.6.4.7 peroxisome-assembly ATPase
- EC 3.6.4.8 proteasome ATPase
- EC 3.6.4.9 chaperonin ATPase
- EC 3.6.4.10 non-chaperonin molecular chaperone ATPase
- EC 3.6.4.11 nucleoplasmin ATPase
- EC 3.6.4.12 DNA helicase
- EC 3.6.4.13 RNA helicase

v. 2.4.1 © gsartor 2019

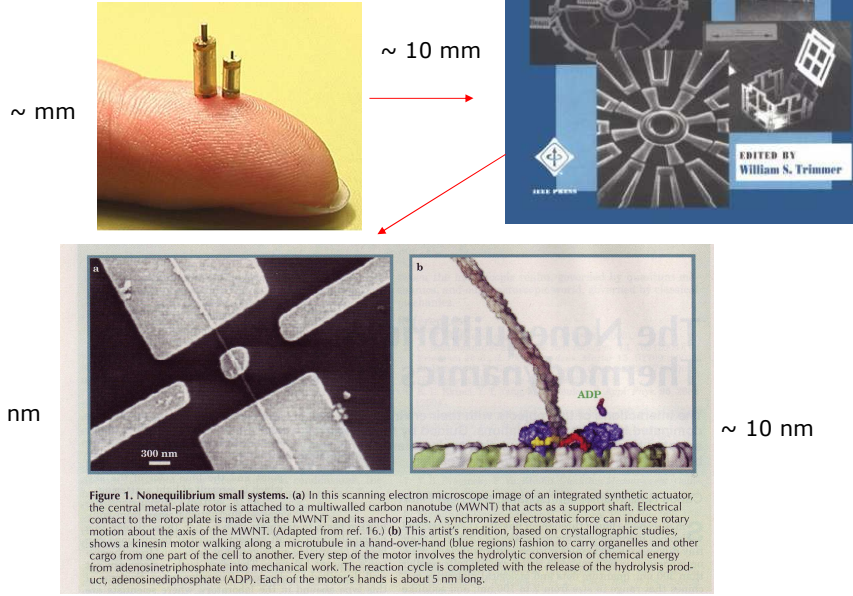
Motori molecolari

- 140 -

140



# Motori molecolari

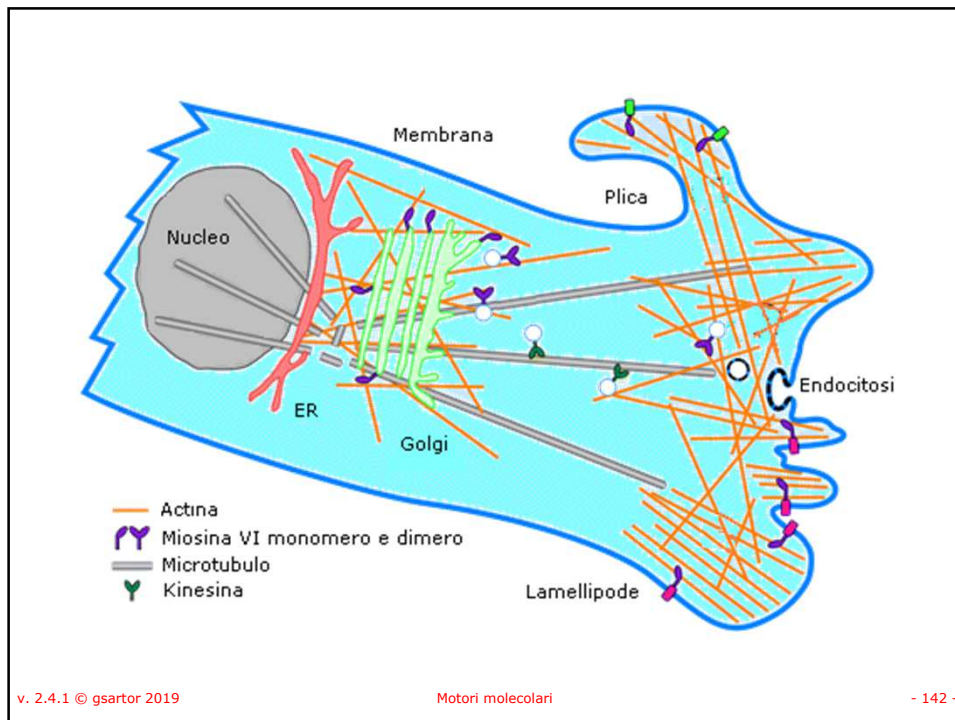


v. 2.4.1 © gsartor 2019

Motori molecolari

- 141 -

141



v. 2.4.1 © gsartor 2019

Motori molecolari

- 142 -

142

## Crediti e autorizzazioni all'utilizzo

- Questo materiale è stato assemblato da informazioni raccolte dai seguenti testi di Biochimica:
  - CHAMPE Pamela , HARVEY Richard , FERRIER Denise R. LE BASI DELLA BIOCHIMICA [ISBN 978-8808-17030-9] - Zanichelli
  - NELSON David L. , COX Michael M. I PRINCIPI DI BIOCHIMICA DI LEHNINGER - Zanichelli
  - GARRETT Reginald H., GRISHAM Charles M. BIOCHIMICA con aspetti molecolari della Biologia cellulare - Zanichelli
  - VOET Donald , VOET Judith G , PRATT Charlotte W FONDAMENTI DI BIOCHIMICA [ISBN 978-8808-06879-8] - Zanichelli
- E dalla consultazione di svariate risorse in rete, tra le quali:
  - Kegg: Kyoto Encyclopedia of Genes and Genomes <http://www.genome.ad.jp/kegg/>
  - Brenda: <http://www.brenda.uni-koeln.de/>
  - Protein Data Bank: <http://www.rcsb.org/pdb/>
  - Per il reperimento di alcune figure devo ringraziare la Studentessa (ora Dottoressa) Alessandra Ricotta.
  - Il materiale è stato inoltre rivisto e corretto dalla **Prof. Giancarla Orlandini** dell'Università di Parma alla quale va il mio sentito ringraziamento.

Questo ed altro materiale può essere reperito a partire da:

<http://www.gsartor.org/pro>

Il materiale di questa presentazione è di libero uso per didattica e ricerca e può essere usato senza limitazione, purché venga riconosciuto l'autore usando questa frase:

**Materiale ottenuto dal Prof. Giorgio Sartor**

Università di Bologna a Ravenna

Giorgio Sartor - [giorgio.sartor@unibo.it](mailto:giorgio.sartor@unibo.it)

v. 2.4.1 © gsartor 2019

Motori molecolari

143

143



144